

01102  
2ej.5

ALTA  
LIBRO  
DE  
ESTUDIOS  
DE  
INGENIERIA  
Y  
ARQUITECTURA

# ANALISIS ESPECTRAL DEL OLEAJE

MARIO TOSTADO BOJORQUEZ

## TESIS

PRESENTADA A LA DIVISION DE ESTUDIOS DE  
POSGRADO DE LA  
FACULTAD DE INGENIERIA  
DE LA  
UNIVERSIDAD AUTONOMA DE MEXICO  
COMO REQUISITO PARA OBTENER  
EL GRADO DE  
MAESTRO EN INGENIERIA  
( APROVECHAMIENTOS HIDRAULICOS )

CIUDAD UNIVERSITARIA, FEBRERO DE 1988

LIBRO CON  
FALLA DE CUBIERTA



Universidad Nacional  
Autónoma de México



**UNAM – Dirección General de Bibliotecas**  
**Tesis Digitales**  
**Restricciones de uso**

**DERECHOS RESERVADOS ©**  
**PROHIBIDA SU REPRODUCCIÓN TOTAL O PARCIAL**

Todo el material contenido en esta tesis esta protegido por la Ley Federal del Derecho de Autor (LFDA) de los Estados Unidos Mexicanos (México).

El uso de imágenes, fragmentos de videos, y demás material que sea objeto de protección de los derechos de autor, será exclusivamente para fines educativos e informativos y deberá citar la fuente donde la obtuvo mencionando el autor o autores. Cualquier uso distinto como el lucro, reproducción, edición o modificación, será perseguido y sancionado por el respectivo titular de los Derechos de Autor.

## RESUMEN

SE DESARROLLA UN PROCEDIMIENTO PARA DEFINIR LA FUNCION DE DENSIDAD ESPECTRAL  $S(F)$ , A PARTIR DE UN CONJUNTO DE DATOS DE UN REGISTRO DE ELEVACIONES DE SUPERFICIE LIBRE DEL MAR. CON EL ESPECTRO ES POSIBLE OBTENER LAS CARACTERISTICAS ALTURA Y PERIODO SIGNIFICANTES REPRESENTATIVAS DEL OLAJE EN ESTUDIO. EL METODO SE BASA EN EL ANALISIS DE FOURIER. CON LOS RESULTADOS DE ESTE TRABAJO SE CONOCEN LAS CARACTERISTICAS DEL OLAJE A QUE PUEDEN SOMETERSE ESTRUCTURAS EN INGENIERIA MARITIMA. EL PROCEDIMIENTO ES SIMPLE DE APLICAR Y REQUIERE DE POCO TIEMPO DE CALCULO EN MICROCOMPUTADORAS PERSONALES.

## CONTENIDO

|   |    |
|---|----|
| 1 INTRODUCCION  | 1  |
| 2 ANTECEDENTES DE ESTADISTICA                           | 5  |
| 2.1 Variable discreta y continua                        | 5  |
| 2,2 Funciones de densidad de probabilidad               | 6  |
| 2.2.1 Función Gauss                                     | 8  |
| 2.2.2 Función Rayleigh                                  | 10 |
| 2.2.3 Función $\chi^2$                                  | 10 |
| 2.3 Estimadores   | 14 |
| 2.4 Intervalo de confianza para la variancia            | 16 |
| 2.5 Funciones de correlación                            | 18 |
| 2.6 Función de convolución                              | 22 |
| 3 TRANSFORMADA DE FOURIER                               | 24 |
| 3.1 Series de Fourier                                   | 24 |
| 3.1.1 Funciones de periodo arbitrario                   | 25 |
| 3.1.2 Otras formas de presentar las series de Fourier   | 27 |
| 3.2 De la serie de Fourier a la transformada de Fourier | 28 |
| 3.3 Transformada discreta de Fourier                    | 31 |
| 3.4 Transformada rápida de Fourier                      | 33 |
| 4 FUNCION DE DENSIDAD ESPECTRAL                         | 50 |

|   |     |
|---|-----|
| 4.1 Definición  | 50  |
| 4.2 Cálculo a partir de la función de autocorrelación   | 50  |
| 4.3 Cálculo a partir de la transformada de Fourier de los datos   | 51  |
| 4.4 Aspectos de la transformada de Fourier discreta   | 54  |
| 4.5 Determinación de parámetros para la obtención de la función de densidad espectral ( $q$ , $T_m$ , $B_m$ , $e$ ) | 65  |
| 4.6 Estimación de la función de densidad espectral  | 74  |
| 4.7 Características de la función de densidad espectral   | 79  |
| <br>  |     |
| 5 OLEAJE  | 83  |
| <br>  |     |
| 5.1 Introducción  | 83  |
| 5.2 Características más importantes en una ola  | 85  |
| 5.3 Teorías del oleaje  | 87  |
| 5.3.1 Teoría lineal   | 87  |
| 5.3.2 Olas estacionarias  | 95  |
| 5.3.3 Teoría de amplitud finita   | 97  |
| 5.4 Olas oceánicas  | 101 |
| 5.4.1 Métodos para calcular alturas y periodos de ola   | 103 |
| 5.4.2 Estadísticas de las alturas de ola  | 104 |
| 5.4.3 Estadísticas de los periodos de ola   | 109 |
| <br>  |     |
| 6 ESPECTROS PROPUESTOS  | 112 |
| <br>  |     |
| 6.1 Espectro de Pierson-Moskoquitiz   | 112 |
| 6.2 Espectro de Bretschneider   | 114 |

|   |            |
|---|------------|
| 6.3 Espectro de mitsuyasu   | 115        |
| <b>7 APLICACIONES</b>   | <b>117</b> |
| 7.1 Análisis espectral  | 117        |
| 7.1.1 Obtención del registro de elevaciones de la<br>superficie libre del mar | 117        |
| 7.1.2 Cálculo de la función de densidad espectral                             | 122        |
| 7.2 Análisis estadístico  | 129        |
| 7.2.1 Ajuste de las altura de ola a una distribución<br>Rayleigh              | 129        |
| 7.2.2 Valores estadísticos de las alturas de ola                              | 137        |
| 7.2.3 Ajuste de los periodos de ola a una distribución<br>Rayleigh            | 143        |
| 7.2.4 Valores estadísticos de los periodos de ola                             | 148        |
| 7.2.5 Parámetro ancho de banda  | 152        |
| 7.3 Resumen   | 153        |
| <b>8 CONCLUSIONES Y RECOMENDACIONES</b>                                       | <b>157</b> |
| ANEXO A   | 160        |
| NOTACION  | <u>165</u> |
| REFERENCIAS   | 169        |

## 1. INTRODUCCION

Uno de los significados de la palabra espectro es el de la gráfica que resulta de pasar luz a través de un prisma. En forma más general, se tomó como el resultado que se obtiene cuando la energía radiante es dispersada quedando sus rayos arreglados o dispuestos en el orden de sus correspondientes longitudes de onda. Así el espectro ha venido a ser la separación por longitudes de onda (o lo que es lo mismo por frecuencias, si los datos son una función del tiempo) de cualquier señal no únicamente de la luz o energía radiante. Por otra parte la variación del nivel de la superficie libre del mar, se puede registrar mediante una señal eléctrica, de tal manera que de acuerdo a una transformación de esta señal, es posible estimar dicha variación y de ésta su espectro.

En ingeniería marítima, se ha utilizado el concepto de espectro de energía o potencia para referirse a la energía contenida en un conjunto o tren de olas. Como las características del oleaje tales como altura y periodo, principalmente, son función de esa energía, ello permite determinar la altura y periodo significativo del grupo

de olas de tal manera que si se cuenta con una colección de valores de alturas y periodos es posible escoger después de un análisis estadístico la de diseño, para estructuras marítimas sujetas a la acción del oleaje, de acuerdo a un periodo de retorno previamente seleccionado.

En ocasiones es difícil determinar el oleaje representativo que incide sobre un lugar de interés, sobre todo cuando no se cuenta con los datos necesarios. En este trabajo, se desarrolla un procedimiento que permite definir la función de densidad espectral  $s(f)$  o espectro, a partir de un conjunto de datos de un registro de elevaciones de superficie libre del mar en un punto fijo, el cual es una alternativa para definir las características representativas del oleaje en estudio. El método se basa en el análisis espectral y se apoya principalmente en el análisis de Fourier.

Hasta hace algún tiempo la transformada de Fourier requería de mucho tiempo de cálculo, por la gran cantidad de operaciones que se tienen que realizar, lo que hacía necesario recurrir al uso de computadoras a las cuales en la mayoría de las veces no se tenía fácil acceso. Sin embargo, hoy en día mediante el empleo de la transformada de Fourier en microcomputadoras de uso común en centros educativos, de investigación y en una gran mayoría de empresas, es posible realizar estos cálculos con mayor facilidad y, además, sin demasiado tiempo de cálculo. Lo anterior ha hecho que la idea del análisis espectral sea más atractiva y un mayor número de profesionales dediquen más atención a este tipo de



análisis como una alternativa más para la solución de problemas no solamente dentro de la Ingeniería Marítima sino también de otras especialidades que requieren el análisis de señales de tipo continuo.

Este trabajo tiene como objetivo describir el análisis espectral del oleaje. Para ello, en el capítulo 2, se hace una breve descripción de algunos conceptos de estadística que intervienen en el análisis de los datos de registro de oleaje considerado como aleatorio.

En el capítulo 3, se discuten las bases matemáticas que conducen a la obtención del espectro de energía del oleaje, función de densidad espectral. Se hace énfasis en el desarrollo de la transformada discreta de Fourier, por medio del algoritmo de la transformada rápida, lo cual reduce significativamente el tiempo de cálculo del espectro.

En el capítulo 4, se analiza la función de densidad espectral, obtenida por medio de la transformada de Fourier, a la vez que se describen y recomiendan algunos parámetros para su obtención. También se mencionan ciertas características que se deben tomar en cuenta en la aplicación de la misma.

En el capítulo 5, se presenta un resumen de las teorías del oleaje, recalcando la aplicación de la teoría lineal de Stokes primera aproximación, por la sencillez en su utilización a la vez que se obtienen resultados aceptables. Además se incluyen los

critérios que permiten obtener una colección de valores de altura y período de la ola, cuando se dispone de un registro de la elevación de la superficie libre del mar encima en un punto fijo y basándose en esta colección de valores, se discute el análisis estadístico que permite disponer de los valores representativos como son, por ejemplo, altura y período significantes.

En el capítulo 6, se describen las funciones de densidad espectral que tradicionalmente se emplean en el estudio del oleaje.

En el capítulo 7, se incluye un ejemplo completo donde se analiza, desde el punto de vista estadístico y espectral, un registro de una estación de mediciones de presión, siguiendo el procedimiento recomendado.

Por último, en el capítulo 8, se hace un resumen de resultados y se dan las conclusiones y recomendaciones, desde el punto de vista de la aplicación práctica en la obtención de las características significantes para el oleaje.

## 2. ANTECEDENTES DE ESTADISTICA

Al soplar el viento sobre la superficie del mar, tanto por las fluctuaciones de presión, como por la acción del esfuerzo cortante entre los dos fluidos, una parte de la energía del viento se transfiere al mar, dando lugar a la formación del oleaje. Las olas generadas son irregulares, de manera que solo un tratamiento estadístico permite conocer sus características. Debido a esto, es necesario mencionar algunos conceptos que se utilizan en el estudio estadístico del oleaje.

### 2.1 Variable aleatoria discreta y continua

Aquellos fenómenos que no siguen ninguna ley específica, de manera tal que no es posible predecir su comportamiento con una seguridad completa, se les conoce como fenómenos aleatorios. Su representación matemática se hace por medio de funciones que contienen variables aleatorias.

Una variable aleatoria que toma un número finito de valores se denomina "variable aleatoria discreta" mientras que una que toma

un número no contable de valores se llama "variable aleatoria continua".

Así por ejemplo, para obtener la media o valor medio,  $\bar{x}$ , de una variable discreta,  $x$ , simplemente se suman todos los valores  $x_1, x_2, x_3, \dots, x_N$  y se divide entre  $N$ , siendo  $N$  el número de valores de  $x$ , esto es

$$\bar{x} = \frac{1}{N} [x_1 + x_2 + x_3 + \dots + x_N] \quad (2.1)$$

$$\circ \quad \bar{x} = \frac{1}{N} \sum_{k=1}^N x_k = \sum_{k=1}^N \frac{x_k}{N} \quad (2.2)$$

en cambio, para una variable continua, la suma de la ec. (2.2) tendría que ser escrita como una integral o sea

$$\bar{x} = \frac{1}{T} \int_{t_0}^{t_0+T} x(t) dt \quad (2.3)$$

o bien si  $w(t) = 1/T$  y  $x(t) = 0$  para  $t_0 \leq t \leq t_0+T$ .

$$\bar{x} = \int_{-\infty}^{\infty} w(t) x(t) dt$$

Para calcular la media cuando se tienen valores discretos, se utilizan sumas y para valores continuos, se utilizan integrales.

## 2.2 Funciones de densidad de probabilidad

Cuando una variable aleatoria  $x$  toma valores infinitos en un intervalo,  $a \leq x \leq b$ , no es posible definir su distribución de

probabilidad en forma tabular. En este caso deberá definirse a ella forma gráfica o analítica.

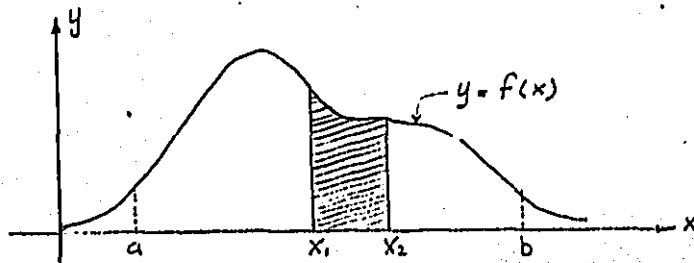


Fig. 2.1 Representación gráfica de la función de densidad de probabilidad

Por la continuidad de los valores de  $x$  en el intervalo, en este caso el polígono de probabilidad se convierte en una curva continua de ecuación  $y = f(x)$ , siendo  $f(x)$  una función real de la variable aleatoria  $x$  en su intervalo de definición  $a \leq x \leq b$ . A la función  $f(x)$  se le llama "función de densidad de probabilidad" de la variable aleatoria  $x$ . Su expresión algebraica constituye la representación analítica de la distribución de probabilidad de la variable.

Esta expresión analítica se determina de manera que la probabilidad  $p(x_1 \leq x \leq x_2)$ , sea igual al área bajo la curva de definición  $f(x)$  entre  $x = x_1$  y  $x = x_2$ , como se muestra en la figura 2.1. Entonces

$$p(x_1 < x < x_2) = \int_{x_1}^{x_2} f(x) dx \quad (2.4)$$

Para poder ser una función de densidad de probabilidad de una

variable aleatoria continua la función  $f(x)$  debe cumplir con dos condiciones

a) La función  $f(x)$  no es negativa para todo valor de  $x$

$$f(x) \geq 0 \text{ en } -\frac{T}{2} \leq x \leq \frac{T}{2} \quad (2.5)$$

b) El área bajo la curva de la función  $f(x)$  en el intervalo  $-\frac{T}{2} \leq x \leq \frac{T}{2}$  vale uno

$$\int_{-\frac{T}{2}}^{\frac{T}{2}} f(x) dx = 1 \quad (2.6)$$

Algunas funciones de densidad de probabilidad que se usan en el estudio del oleaje sson: función Gauss o Normal, función Rayleigh y la función  $\chi^2$ .

### 2.2.1 Función normal o de Gauss.

Se dice que la variable aleatoria continua  $x$  si sigue una distribución normal, si su función de densidad de probabilidad esta dada por

$$f(x) = \frac{1}{\sqrt{2\pi} d} e^{-\frac{(x-m)^2}{2d^2}}, \quad -\infty < x < \infty \quad (2.7)$$

en donde  $m$  y  $d$  son los parámetros.

Se puede demostrar que la media de la variable aleatoria  $x$  con distribución normal de probabilidad [14]

$$\mu_x = \int_{-\infty}^{\infty} x f(x) dx = \int_{-\infty}^{\infty} x \frac{1}{\sqrt{2\pi} d} e^{-(x-m)^2/2d^2} dx \quad (2.8)$$

es el parámetro  $m$ , es decir

$$\mu_x = m \quad (2.9)$$

Asimismo, si la variancia de la variable aleatoria con distribución normal de probabilidad es

$$\sigma_x^2 = \int_{-\infty}^{\infty} (x-\mu_x)^2 f(x) dx = \int_{-\infty}^{\infty} (x-m)^2 \frac{1}{\sqrt{2\pi} d} e^{-(x-m)^2/2d^2} dx$$

se obtiene al efectuar la integral que la desviación estándar de la distribución normal es el parámetro  $d$ , es decir

$$\sigma_x = d \quad (2.10)$$

Tomando en cuenta (2.9) y (2.10) en (2.7), se establece que la función de densidad de probabilidad de la variable aleatoria  $x$  con distribución normal o Gauss de media  $\mu_x$  y desviación estándar  $\sigma_x$  es

$$f(x) = \frac{1}{\sqrt{2\pi} \sigma_x} e^{-(x-\mu_x)^2/2\sigma_x^2}, \quad -\infty < x < \infty \quad (2.11)$$

Una simplificación de la función de distribución normal, se obtiene al realizar el siguiente cambio de variable

$$z = \frac{x - \mu_x}{\sigma_x} \quad (2.12)$$

donde  $z$  se llama variable normal estandarizada

por lo que al considerar (2.12) en (2.11) para media cero y desviación estándar uno

$$f(z) = \frac{1}{\sqrt{2\pi}} e^{-z^2/2}, \quad -\infty < z < \infty \quad (2.13)$$

la cual corresponde a la función de densidad de probabilidad normal estándar

### 2.2.2 Función Rayleigh

Cuando una variable continua  $x$  tiene una función de densidad de probabilidad de la forma

$$f(x) = \frac{x}{\sigma_x^2} e^{-x^2/2\sigma_x^2} \quad (2.14)$$

se dice que la variable  $x$  tiene una distribución Rayleigh, donde  $\sigma_x$  es la desviación estándar de la población y se obtiene como en el inciso 2.2.1.

### 2.2.3 Función $\chi^2$

La distribución  $\chi^2$  (léase ji cuadrada) es continua y se define para todo valor real mayor de cero de su variable aleatoria. Se utiliza para hacer pruebas estadísticas sobre la desviación estándar de poblaciones normalmente distribuidas y para investigar si resultados de experimentos aleatorios pueden representarse por



medio de alguna distribución teórica de probabilidad.

Sean  $x_1, x_2, x_3, \dots, x_\nu$ ,  $\nu$  variables aleatorias independientes, cada una con distribución normal estándar. La suma de los cuadrados de estas variables constituyen una nueva variable aleatoria que se representa por  $\chi^2$ .

$$\chi^2 = \sum_{i=1}^{\nu} x_i^2 \quad (2.15)$$

la cual tiene como función de densidad de probabilidad

$$f(\chi^2) = \frac{1}{2^{\nu/2} \Gamma(\nu/2)} (\chi^2)^{(\nu-2)/2} e^{-\chi^2/2} \quad (2.16)$$

donde  $\nu$  es el número de variables aleatorias en (2.15) y  $\Gamma(\nu/2)$  es la función gamma de parámetro  $\nu/2$ . La función (2.16) define la distribución  $\chi^2$  con  $\nu$  grados de libertad. una gráfica de distribución  $\chi^2$  para diferentes grados de libertad se presenta en la figura 2.2.

En la tabla 2.1, aparecen tabulados los valores de  $\chi^2$ , con diferentes grados de libertad, de manera que los valores de la función de distribución de probabilidad  $\chi^2$

$$F(\chi_p^2) = \int_0^{\chi_p^2} \frac{1}{2^{\nu/2} \Gamma(\nu/2)} (\chi^2)^{(\nu-2)/2} e^{-\chi^2/2} d\chi^2 \quad (2.17)$$

sean 0.5, 1, 2.5, 5, 10, 25, 50, 75, 90, 95, 97.5, 99, y 99.5 % del área total.

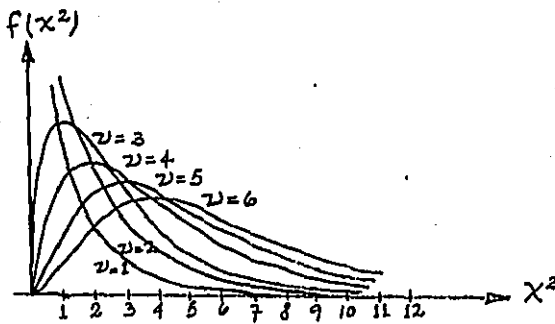


Fig.2.2 Gráfica de la distribución  $\chi^2$  para varios grados de libertad

Respecto a la función gamma de parámetro  $\nu$ , que aparece en (2.16) esta se define como el resultado de la integral impropia

$$\Gamma(\nu) = \int_0^{\infty} e^{-t} t^{\nu-1} dt \quad (2.18)$$

donde puede demostrarse, integrando por partes que

$$\Gamma(\nu) = (\nu-1) \Gamma(\nu-1) \quad (2.19)$$

De lo anterior puede decirse que basta con tener tablas de la función gamma para calcular cualquier valor real entre 1 y 2 para que pueda obtenerse el valor de la función gamma de cualquier parámetro.

Por otro lado la media y la variancia de la variable  $\chi^2$  con  $\nu$  grados de libertad son, respectivamente,

$$\mu_{\chi^2} = \nu \quad (2.20)$$

$$\sigma_{\chi^2}^2 = 2\nu \quad (2.21)$$

Para una aproximación a la normal, puede demostrarse que a medida que el número de grados de libertad  $\nu$  crece, la variable

$$z = \sqrt{2x} - \sqrt{2\nu-1} \quad (2.22)$$

tiende a la distribución normal estándar (de media cero y desviación estándar uno). Este resultado puede utilizarse adecuadamente siempre que  $\nu \geq 30$ .

### 2.3 Estimadores

Un estimador es un valor aproximado de un parámetro poblacional, determinado de los estadísticos muestrales

Los estimadores pueden ser "puntuales" o por "intervalos de confianza". Si la estimación de un parámetro se hace a través de un número simple, generalmente el estadístico correspondiente, se tendrá un estimador puntual. Por el contrario, si la estimación del parámetro se hace por medio de dos números entre los que se considere este ese parámetro, se tendrá una estimación por intervalo de confianza. En este caso, y asociado al intervalo de confianza que contiene al parámetro, se tiene la probabilidad de ocurrencia asociada a este evento.

A continuación se establecen algunos estimadores puntuales.

**Estimador insesgado.** Se dice que un estadístico es un estimador

insesgado, si el valor esperado de la distribución muestral del estadístico es igual al parámetro por estimar.

Así, el estadístico  $\hat{\theta} = \hat{\theta}(x_1, x_2, \dots, x_n)$  que depende de los valores observados de una muestra aleatoria de tamaño  $n$  de la población de valores de la variable aleatoria  $x$ , es un estimador insesgado del parámetro  $\theta$  asociado a la población, si

$$E\{\hat{\theta}\} = \theta \quad (2.23)$$

donde  $E\{\theta\}$  es la esperanza matemática de  $\hat{\theta}$ .

Si la expresión anterior no es cierta, se dice que el estimador  $\hat{\theta}$  es "sesgado" y se llama "sesgo" a la diferencia

$$\text{sesgo} = \theta - E\{\hat{\theta}\}. \quad (2.24)$$

Se puede demostrar [14] que la media una muestra de una población es un estimador insesgado de la media poblacional, es decir

$$E\{\bar{x}\} = \mu_x \quad (2.25)$$

donde  $\bar{x}$  es la media de la muestra,  $\mu_x$  es la media de la población y  $E(x)$  es la esperanza matemática de  $x$ .

Asimismo, la variancia de la muestra es un estimador sesgado de la variancia de la población, esto es

$$E(s_x^2) = \sigma_x^2 - \sigma_x^2/n$$

$$E(s_x^2) = \frac{n-1}{n} \sigma_x^2 \quad (2.26)$$

donde  $s_x^2$  es la variancia de la muestra,  $\sigma_x^2$  es la variancia de la población y  $E(s_x^2)$  es la esperanza matemática de  $s_x^2$ .

**Estimador eficiente.** Si las distribuciones muestrales de dos estimadores tienen el mismo valor esperado, es decir, los dos estimadores son insesgados, se preferirá al que tenga menor variancia, y se dirá que éste es "eficiente". De todos los estimadores posibles de un parámetro que tengan la misma media, se dice que es el "más eficiente" el que tiene la menor variancia.

La media y la mediana de la muestra son estimadores de la media de la población, y puede demostrarse que la variancia de la media de la muestra es menor que la variancia de la mediana de la misma. Por tanto, puede decirse que la media de la muestra es un estimador eficiente de la media de la población. Además, se demuestra [14] que la media de la muestra es el estimador insesgado más eficiente de la media de la población.

#### 2.4 Intervalo de confianza para la variancia

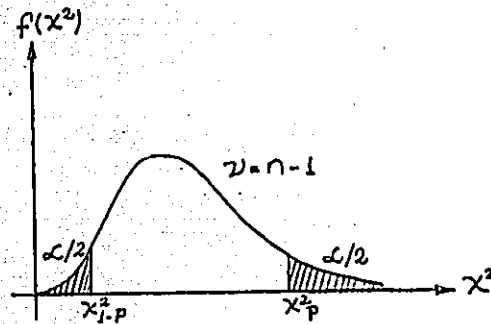
Sea una variable aleatoria normalmente distribuida con desviación estándar desconocida  $\sigma_x$ . De una muestra aleatoria de tamaño  $n$  se obtiene la desviación estándar muestral  $s_x$  a partir de la cual se trata de estimar  $\sigma_x$ .

En 2.2.3 se estableció que la suma de los cuadrados de  $\nu$  variables aleatorias independientes con distribución normal estándar tiene distribución  $\chi^2$  con  $\nu$  grados de libertad, por lo que puede afirmarse que la variable aleatoria

$$v^2 = \frac{n S_H^2}{\sigma_x^2} \quad (2.27)$$

tiene distribución  $\chi^2$  con  $n-1$  grados de libertad. Al saberlo se puede decir que los valores de  $v^2$  a un cierto nivel de confianza están en el intervalo de confianza.

$$\chi_{1-p}^2 \leq \frac{n S_H^2}{\sigma_x^2} \leq \chi_p^2$$



Despejando  $\sigma_x$  se obtiene el intervalo de confianza de la desviación estándar de una población con distribución normal

$$\frac{\sqrt{n S_x}}{\sqrt{\chi_p^2}} < \sigma_x < \frac{\sqrt{n S_x}}{\sqrt{\chi_{1-p}^2}} \quad (2.28)$$

Los valores críticos de  $\chi^2$  se obtienen de la tabla 2.1. Se recuerda que si  $n$  es grande, el estadístico

$$z = \sqrt{2\chi^2} - \sqrt{2\nu-1} \quad (2.29)$$

tiende a la distribución normal estándar, con el que se puede obtener los valores críticos de  $\chi^2$ . Así si  $\chi_p^2$  y  $z_p$  son los p-ésimos percentiles de las distribuciones  $\chi^2$  y normal estándar respectivamente, se obtiene

$$\chi_p^2 = \frac{1}{2} \left[ z_p + \sqrt{(2\nu-1)} \right]^2 \quad (2.30)$$

## 2.5 Funciones de correlación

La función

$$R_{xx}(\tau) = \int_{-\infty}^{\infty} x(t) x(t+\tau) dt \quad (2.31)$$

se conoce como "función de correlación" cruzada de x con y de orden  $\tau$ . Análogamente

$$R_{xy}(\tau) = \int_{-\infty}^{\infty} x(t) y(t+\tau) dt \quad (2.32)$$

La función de correlación cruzada  $R_{xy}(\tau)$  o  $R_{yx}(\tau)$  suministra una medida de la interdependencia lineal entre las funciones  $x(t)$  y  $y(t)$  en función del parámetro  $\tau$  (desplazamiento de una función respecto a la otra). Si la función de correlación es cercana a cero para cierto valor de  $\tau$ , entonces se dice que las funciones no están correlacionadas para tal valor de  $\tau$ .

Si  $x(t)$  y  $y(t)$  son idénticas, entonces la función de correlación

$$R_{yx}(\tau) = \int_{-\infty}^{\infty} (y) x(t+\tau) dt \quad (2.33)$$

se denomina "función de autocorrelación" de orden  $T$  de  $x(t)$ .

Un algoritmo del proceso de autocorrelación se puede representar gráficamente como se indica en la fig 2.3. Se acepta que inicialmente la función en el tiempo total a ser autocorrelacionada  $x(t)$ , se obtiene por observación (registros). Posteriormente la función  $x(t)$ , se analiza así misma en una muestra de duración,  $T$ . Se obtiene el valor de la integral y se anota como  $R_{xxx}(0)$ ; después la muestra de  $x(t)$  se repite para  $T$  segundos, por lo que  $x(t)$  se vuelve  $x(t+T)$  y de nuevo se calcula el valor de la integral para  $x(t+T)$ . El proceso se repite para todos los valores positivos y negativos de  $\tau$ . El resultado es la función de autocorrelación

$$R_{xx}(\tau) = \frac{1}{T} \int_{-T/2}^{T/2} x(t) x(t+\tau) dt \quad (2.34)$$

Se puede ver en la fig. 2.3 que cuando no hay desplazamiento esto es para  $\tau=0$ , la multiplicación de  $x(t)$  por sí misma tiende a reforzar los valores grandes o picos y minimizar los pequeños. Además éste proceso siempre produce valores positivos de la función por lo que el valor de la integral es máximo para  $\tau=0$ . Este valor de  $R_{xxx}(T)$  se conoce como la media cuadrática de  $x(t)$ , que por sustitución de  $\tau=0$  en la ec. (2.34) se obtiene

$$R_{xx}(0) = \frac{1}{T} \int_{-T/2}^{T/2} x^2(t) dt = \bar{x}^2 \quad (2.35)$$



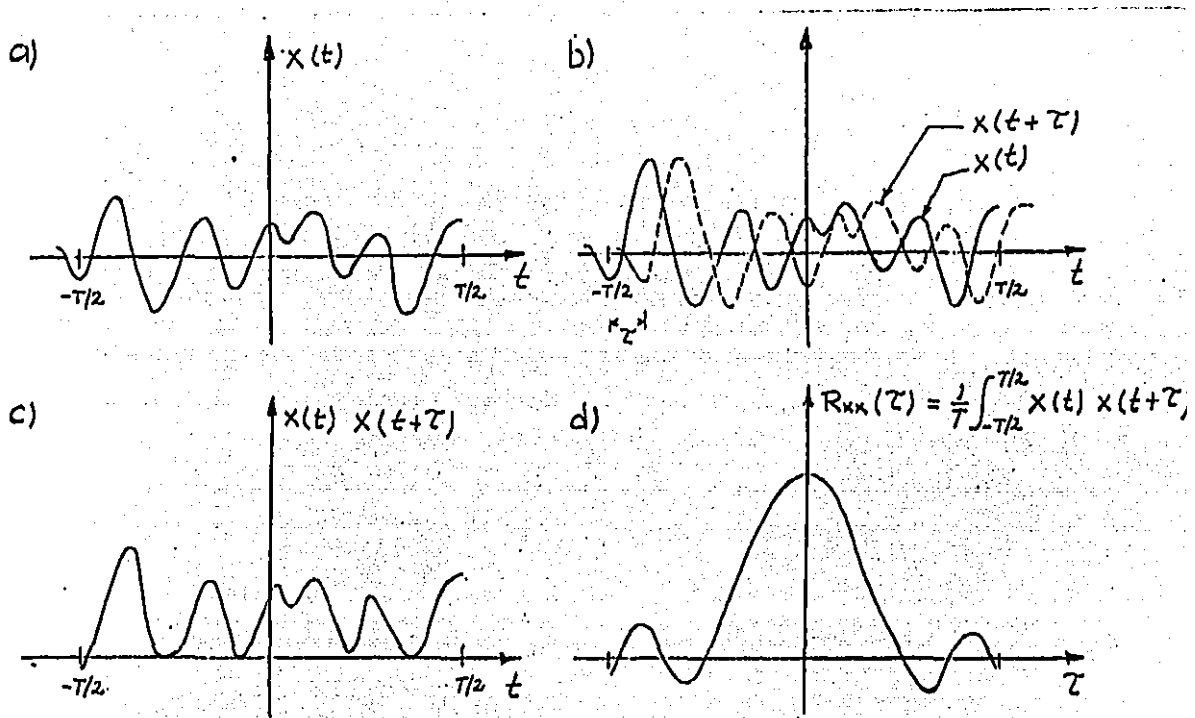


Fig. 2.3 Proceso de autocorrelación

que es una medida del promedio de la energía contenida en la serie del tiempo.

Para el caso discreto, la integral en la ecuación (2.31) se convierte en una suma, por lo que la función de correlación  $R_{xy}(\tau)$  queda

$$R_{xy}(\tau) = \frac{\frac{1}{N} \sum (x_i - \bar{x})(y_{i+\tau} - \bar{y})}{\frac{1}{N} \sum (x_i - \bar{x})(x_i - \bar{x})} \quad (2.36)$$

de igual manera  $R_{xx}(\tau)$  se transforma en

$$R_{xx}(\tau) = \frac{\frac{1}{N} \sum (x_i - \bar{x})(x_{i+\tau} - \bar{x})}{\frac{1}{N} \sum (x_i - \bar{x})(x_{i+\tau} - \bar{x})} \quad (2.37)$$

y cuando  $\tau=0$ , de la ecuación (2.37) se observa que

$$R_{xx}(0) = 1. \quad (2.38)$$

Otra manera de conocer si dos funciones tienen dependencia lineal entre sí, es a través de la covariancia ( $C_{xy}$ ). Por definición en cualquier literatura sobre estadística  $C_{xy}$  está definida por

$$C_{xy} = \frac{1}{N} \sum_{i=1}^N (x_i - \bar{x})(y_i - \bar{y}) \quad (2.39)$$

si las funciones  $x(t)$  y  $y(t)$  se analizan de acuerdo al parámetro  $\tau$

$$C_{xy} = \frac{1}{N} \sum_{i=1}^N (x_i - \bar{x})(y_{i+\tau} - \bar{y}) \quad (2.39)$$

y de igual manera que en la ec. (2.33), la (2.39) se convierte en

$$C_{xx} = \frac{1}{N} \sum_{i=1}^N (x_i - \bar{x})(x_{i+\tau} - \bar{x}) \quad (2.40)$$

cuando las dos funciones son iguales se les conoce como "autocovariancia" de  $x(t)$ . Además cuando la media  $\bar{x}$ , es cero, la autocovariancia de orden cero ( $\tau=0$ ) se escribe como

$$C_{xx} = \frac{1}{N} \sum_{i=1}^N x_i^2 \quad (2.41)$$

Si la variancia de  $x(t)$  se define como

$$V_x = \frac{1}{N} \sum_{l=1}^N (x_l - \bar{x})^2 \quad (2.42)$$

entonces la autocovariancia  $C_{xx}$ , se puede normalizar, dividiendo entre la variancia  $V_x$ , obteniendose así el "coeficiente de autocorrelación"  $r_{xx}$  de orden  $\tau$

$$r_{xx} = \frac{C_{xx}}{V_x} = \frac{\frac{1}{N} \sum (x_l - \bar{x}) (x_{l+\tau} - \bar{x})}{\frac{1}{N} \sum (x_l - \bar{x}) (x_l - \bar{x})} \quad (2.43)$$

Para el caso de  $x(t) = y(t)$  la ec. (2.43) se conoce como "coeficiente de correlación" de orden  $\tau$  entre  $x(t)$  y  $y(t)$

$$r_{xy} = \frac{C_{xy}}{V_x} = \frac{\frac{1}{N} \sum (x_l - \bar{x}) (y_{l+\tau} - \bar{y})}{\frac{1}{N} \sum (x_l - \bar{x}) (x_l - \bar{x})} \quad (2.44)$$

Se puede demostrar que este coeficiente tiene la interesante propiedad de que

$$-1 \leq r_{xy} \leq 1 \quad (2.45)$$

## 2.6 Función de convolución

sean  $f_1(t)$  y  $f_2(t)$  dos funciones dadas. La "convolución" de  $f_1(t)$  y  $f_2(t)$ , esta dada por la función

$$f(t) = \int_{-\infty}^{\infty} f_1(x) f_2(t-x) dx \quad (2.46)$$

la cual se expresa simbólicamente como

$$f(t) = f_1(t) * f_2(t) \quad (2.47)$$

Un caso especial importante es aquel en el cual

$$f_1(t) = 0 \quad \text{para } t < 0 \quad \text{y} \quad f_2(t) = 0 \quad \text{para } t < 0$$

Entonces, (2.46) se convierte en

$$f(t) = f_1(t) * f_2(t) = \int_0^t f_1(t-x) f_2(x) dx \quad (2.48)$$

se puede demostrar que la convolución cumple con las leyes conmutativa y asociativa [7]. Esto es

$$f_1(t) * f_2(t) = f_2(t) * f_1(t) \quad (2.49)$$

$$\left[ f_1(t) * f_2(t) \right] * f_3(t) = f_1(t) * \left[ f_2(t) * f_3(t) \right] \quad (2.50)$$

### 3. TRANSFORMADA DE FOURIER

El perfil de la superficie del mar puede considerarse como el resultado de una suma de ondas senoidales, las cuales tienen diferentes amplitudes y periodos. Como la serie de Fourier se puede expresar como una suma de senoides, resulta útil representar la superficie del mar por medio de esta serie.

#### 3.1 Series de Fourier

Una serie trigonométrica de la forma

$$\frac{1}{2} a_0 + a_1 \cos x + b_1 \operatorname{sen} x + a_2 \cos 2x + b_2 \operatorname{sen} 2x + \dots + a_n \cos nx + b_n \operatorname{sen} nx + \dots \quad (3.1)$$

en la cual los coeficientes  $a_n$  y  $b_n$  son constantes y se calculan a partir de una función  $f(x)$  mediante las fórmulas de Euler

$$a_n = \frac{1}{\pi} \int_{-\pi}^{\pi} f(x) \cos nx \, dx \quad (n = 0, 1, 2, \dots) \quad (3.2)$$

$$b_n = \frac{1}{\pi} \int_{-\pi}^{\pi} f(x) \operatorname{sen} nx \, dx \quad (n = 0, 1, 2, \dots) \quad (3.3)$$

se conoce como "serie de Fourier" de  $f(x)$ .

Estas se repiten con periodo  $2\pi/n$ , aunque también puede extenderse la teoría para cualquier periodo arbitrario.

### 3.1.1 Funciones de periodo arbitrario

Sea  $f(t)$  definida para toda  $t > 0$  y  $T > 0$ ,  $f$  es periódica con periodo  $T$  si  $f(t+T) = f(t)$ .

Una función periódica  $f(x)$  con periodo  $T$  también puede tener un desarrollo en series de Fourier. Para poder utilizar las fórmulas de Euler aplicables a funciones periódicas con periodo  $2\pi$  se introduce el siguiente cambio de variable

$$t = \frac{T}{2\pi} x \quad \text{de donde} \quad x = \frac{2\pi t}{T}$$

entonces la función  $f(2\pi t/T)$  es una función periódica de  $t$ , con periodo  $T$ .

La serie de Fourier correspondiente será

$$f\left(\frac{T}{2\pi} x\right) = a_0 + \sum (a_n \cos nt + b_n \operatorname{sen} nt)$$

con coeficientes

$$a_0 = \frac{1}{2\pi} \int_{-\pi}^{\pi} f\left(\frac{T}{2\pi} x\right) dx$$

$$a_n = \frac{1}{\pi} \int_{-\pi}^{\pi} f\left(-\frac{T}{2\pi} x\right) dx$$

$$b_n = \frac{1}{\pi} \int_{-\pi}^{\pi} f\left(-\frac{T}{2\pi} x\right) dx$$

Como  $x = 2\pi t/T$  entonces  $dx = 2\pi dt/T$ .

Además cuando  $x = -\pi$  resulta que  $t = -T/2$  y

si  $x = \pi$  se tiene que  $t = T/2$

por lo que los coeficientes serán

$$a_0 = \frac{1}{T} \int_{-T/2}^{T/2} f(t) dt$$

$$a_n = \frac{2}{T} \int_{-T/2}^{T/2} f(t) dt$$

$$b_n = \frac{2}{T} \int_{-T/2}^{T/2} f(t) dt$$

para  $n = 1, 2, 3, \dots$

y la serie queda

$$f(t) = a_0 + \sum_{n=1}^{\infty} \left( a_n \cos \frac{2n\pi}{T} t + b_n \sin \frac{2n\pi}{T} t \right)$$

El intervalo de integración de los coeficientes puede remplazarse

por cualquier intervalo de longitud  $T$ , por ejemplo,  $0 \leq t \leq T$ ,

$T/2 \leq t \leq 3T/2$ , etc.

si se hace  $\omega_1 = 2\pi/T$ , la serie de Fourier y los coeficientes quedan

$$f(t) = \frac{a_0}{2} + \sum_{n=1}^{\infty} (a_n \cos n\omega_1 t + b_n \sin n\omega_1 t) \quad (3.4)$$

$$a_n = \frac{2}{T} \int_{-T/2}^{T/2} f(t) \cos n\omega_1 t dt \quad (3.5)$$

$$b_n = \frac{2}{T} \int_{-T/2}^{T/2} f(t) \sin n\omega_1 t dt \quad (3.6)$$

### 3.1.2 Otras formas de representar a las series de Fourier

La serie (2.1) puede ser escrita en términos de la amplitud ( $A_n$ ) y ángulo de fase ( $\theta_n$ ).

$$f(t) = a_0 + \sum_{n=1}^{\infty} A_n \sin(n\omega_1 t + \theta_n) \quad (3.7)$$

donde  $\theta_n = \text{ang tan} \left[ \frac{b_n}{a_n} \right]$  (3.8)

$$A_n = \sqrt{a_n^2 + b_n^2} \quad (3.9)$$

También la ecuación (3.1) es equivalente a la llamada "forma compleja de la serie de Fourier". Como se recordará si  $z$  es un número complejo

$$a + bj = z$$

donde  $a$  representa la parte real,  $b$  la parte imaginaria y  $j = \sqrt{-1}$ .

Basándose en la identidad de Euler se puede escribir que

$$e^{\pm j\theta} = \cos \theta \pm j \sin \theta$$



el número complejo  $z$  se escribe como

$$z = r e^{j\theta}$$

en lo que  $r = \sqrt{a^2 + b^2}$  y  $\theta = \text{ang tan } b/a$  en (radianes)

De manera similar utilizando la identidad de Euler se expresa la serie de Fourier en términos de números complejos, haciendo

$\omega_1 = 2\pi f_1$ , es decir

$$f(t) = \sum_{n=-\infty}^{\infty} c_n e^{jn2\pi f_1 t} \quad (3.10)$$

$$\text{donde } c_n = \frac{1}{T} \int_{-T/2}^{T/2} f(t) e^{-jn2\pi f_1 t} dt \quad (3.11)$$

### 3.2 De la serie de Fourier a la transformada de Fourier

Sea  $f(t)$  una función periódica con periodo  $T$ ; cuando  $T$  se aproxima al infinito,  $f(t)$  se convierte en una función no periódica.

De acuerdo a la forma compleja de la serie de Fourier se tiene

$$f(t) = \sum_{n=-\infty}^{\infty} c_n e^{jn2\pi f_1 t} \quad (3.12)$$

$$\text{donde } c_n = \frac{1}{T} \int_{-T/2}^{T/2} f(t) e^{-jn2\pi f_1 t} dt \quad (3.13)$$

al sustituir (3.13) en (3.12) queda

$$f(t) = \sum_{n=-\infty}^{\infty} \left[ \frac{1}{T} \int_{-T/2}^{T/2} f(t) e^{-jn\pi f_1 t} dt \right] e^{jn\pi f_1 t} \quad (3.14)$$

puesto que  $f = 1/T$  la ecuación (3.14) se puede expresar como

$$f(t) = \sum_{n=-\infty}^{\infty} \left[ \int_{-T/2}^{T/2} f(t) e^{-jn2\pi f_1 t} dt \right] f e^{jn2\pi f_1 t} \quad (3.15)$$

Ahora se hace que  $T \rightarrow \infty$ , y así,  $f_1$  se anula. Sea  $f_1 = \Delta f$ ; entonces la frecuencia de cualquier armónico  $nf_1$  debe corresponder a la variable general de frecuencia. En otras palabras,  $n \rightarrow \infty$  a medida que  $f_1 = \Delta f \rightarrow 0$ , tal que el producto es finito; esto es

$$nf_1 = n \Delta f_1 \rightarrow f$$

de este modo (3.15) se convierte en

$$f(t) = \sum_{n=-\infty}^{\infty} \left[ \int_{-T/2}^{T/2} f(t) e^{-jn2\pi \Delta f t} dt \right] \Delta f e^{jn2\pi \Delta f t} \quad (3.16)$$

En el límite,  $T \rightarrow \infty$ ,  $f \rightarrow df$ , y la suma se convierte en la integral sobre  $f$ ; es decir la función periódica  $f(t)$  equivale a

$$f(t) = \int_{-\infty}^{\infty} \left[ \int_{-\infty}^{\infty} f(t) e^{-j2\pi f t} dt \right] e^{j2\pi f t} df \quad (3.17)$$

si se define

$$F(f) = \int_{-\infty}^{\infty} f(t) e^{-j2\pi f t} dt \quad (3.18)$$

entonces la ecuación (3.17) queda

$$f(t) = \frac{1}{2\pi} \int_{-\infty}^{\infty} F(f) e^{j2\pi ft} df \quad (3.19)$$

La función  $F(f)$  definida por (3.18) se conoce como "transformada de Fourier" de  $f(t)$  y la función (3.19) como la "antitransformada de Fourier" de  $F(f)$ , las cuales se designan con los símbolos  $\mathcal{E}$  y  $\mathcal{E}^{-1}$ , respectivamente; esto es las ecuaciones (3.18) y (3.19), se pueden representar como

$$F(f) = \mathcal{E}[f(t)] = \int_{-\infty}^{\infty} f(t) e^{-j2\pi ft} dt \quad (3.20)$$

$$f(t) = \mathcal{E}^{-1}[F(f)] = \int_{-\infty}^{\infty} F(f) e^{j2\pi ft} df \quad (3.21)$$

A las ecuaciones (3.20) y (3.21) a menudo se les conoce como un "par de transformadas de Fourier".

En lo sucesivo, para indicar la transformada de Fourier de una función también se utilizará una  $\rightarrow$  (flecha) es decir  $f(t) \rightarrow \mathcal{E}[f(t)]$  significa que  $f(t)$  tiene como transformada de Fourier a  $\mathcal{E}[f(t)]$ .

La condición para que exista  $F(f)$  esta dada por

$$\int_{-\infty}^{\infty} |f(t)| dt < \infty \quad (3.22)$$

En otros términos la integral del valor absoluto de  $f(t)$  debe ser finita.

Para calcular la transformada de Fourier de  $f(t)$ , expresada en  $318$  como  $F(f)$ , existen dos procedimientos, una es con la transformada

continua de Fourier y la otra con la transformada discreta de Fourier.

### 3.3 Transformada discreta de Fourier

En ocasiones es difícil obtener la transformada de Fourier de  $f(t)$ , utilizando la forma de la ecuación (3.18), por lo que es común recurrir a una manera más simplificada, esto se logra usando valores discretos de la variable en la función  $f(t)$ . La forma discretizada de la ecuación (3.18), se obtiene fácilmente al reemplazar la integral por una suma (ver subcap. 2.1), esto es, si se escoge una muestra de tamaño  $T$  de la función  $f(t)$  y se seleccionan puntos a cada  $\Delta t$ , se tiene

$$N = \frac{T}{\Delta t} \quad (3.23)$$

siendo  $N$  el número de puntos discretizados. Se recomienda que siempre sea un número tal que resulte de elevar 2 a una potencia entero positiva.

Si ahora

$$f(t_n) = f_n \quad (3.24)$$

$$w_k = k \Delta w \quad \text{para } k = 0, 1, 2, \dots, N-1 \quad (3.25)$$

$$\Delta w = 1/T \quad (3.26)$$

$$t_n = n \Delta t \quad \text{para } n = 0, 1, 2, \dots, N-1 \quad (3.27)$$

considerando lo anterior la ecuación (3.18) llega a ser

$$F(\omega) = \lim_{T \rightarrow \infty} \int_{-T/2}^{T/2} f(t) e^{-j\omega t} dt \quad (3.28)$$

Si no se considera el límite y pensando en que la integral se realice de 0 a T

$$F(\omega) = \int_0^T f(t) e^{-j\omega t} dt. \quad (3.29)$$

La ecuación (3.29) también se puede escribir

$$F(\omega) = \lim_{T \rightarrow \infty} F(\omega_k) \quad (3.30)$$

la cual en forma de suma resulta

$$F(\omega_k) = \sum_{n=0}^{N-1} f_n e^{-j\omega_k t_n} \Delta t \quad \text{para } k = 0, 1, 2, \dots, N-1 \quad (3.31)$$

de tal manera que al considerar (3.25) y (3.27)

$$\omega_k t_n = \frac{k}{\Delta \omega} n \Delta t = \frac{2\pi k}{N \Delta t} n \Delta t = \frac{2\pi k n}{N} \quad (3.32)$$

y sustituir en la ecuación (3.31), esta se transforma en

$$F(\omega_k) = \Delta t \sum_{n=0}^{N-1} f_n e^{-j2\pi k n / N} \quad \text{para } k = 0, 1, 2, \dots, N-1 \quad (3.33)$$

Sabiendo que  $f_k = W_k / (2\pi)$  la ec. (3.33), también se puede escribir

como

$$F(f_k) = \frac{\Delta t}{2\pi} \sum_{n=0}^{N-1} f_n e^{-j2\pi kn/N} \quad \text{para } k = 0, 1, 2, \dots, N-1 \quad (3.34)$$

La función  $F(f_k)$  definida por (3.34) es llamada "transformada discreta de Fourier".

Del mismo modo la "antitransformada discreta de Fourier" de  $F(f_k)$  está dada por la inversa de la ec.(3.34)

$$f(t) = \sum_{n=0}^{N-1} F(f_k) e^{j2\pi kn/N} \quad n = 0, 1, 2, \dots, N-1 \quad (3.35)$$

### 3.4 Transformada Rápida de Fourier

La transformada rápida de Fourier es simplemente un algoritmo que puede calcular la transformada discreta de Fourier mucho más rápidamente que cualquier otro algoritmo disponible.

A continuación se presenta el desarrollo de este algoritmo.

Considere que se desea calcular la transformada de Fourier discreta para  $N = 8$ . Es decir, se quiere obtener

$$F(f_k) = \frac{\Delta t}{2\pi} \sum_{n=0}^7 f_n e^{-j2\pi kn/8} \quad (3.36)$$

Sean  $w = e^{-j2\pi/8}$ ,  $F(k) = F(f_k) \frac{2\pi}{\Delta t}$ ,  $f_n = f_0(n)$  así

$$F(k) = \sum_{n=0}^7 f_0(n) w^{nk} \quad (3.37)$$

si  $k$  y  $n$  se escriben en sistema binario, es decir si

$$k = 2^2 k_2 + 2^1 k_1 + k_0$$

$$n = 2^2 n_2 + 2^1 n_1 + n_0$$

de manera que  $F(k) = F(k_2, k_1, k_0)$  y  $f_0(n) = f_0(n_2, n_1, n_0)$  por lo que la suma de la ec. (3.37) queda

$$F(k_2, k_1, k_0) = \sum_{n_0=0}^1 \sum_{n_1=0}^1 \sum_{n_2=0}^1 f_0(n_2, n_1, n_0) W^{(4n_2+2n_1+n_0)(4k_2+2k_1+k_0)}$$

Por otro lado la exponencial se puede escribir como

$$\begin{aligned} W^{(4n_2+2n_1+n_0)(4k_2+2k_1+k_0)} &= W^{(4k_2+2k_1+k_0)4n_2 + (4k_2+2k_1+k_0)2n_1 + (4k_2+2k_1+k_0)n_0} \\ &= W^{(4k_2+2k_1+k_0)4n_2} W^{(4k_2+2k_1+k_0)2n_1} W^{(4k_2+2k_1+k_0)n_0} \end{aligned}$$

siendo

$$\begin{aligned} W^{(4k_2+2k_1+k_0)4n_2} &= \underbrace{W^{8(2k_2n_2)}}_1 \underbrace{W^{8k_1n_2}}_1 W^{4k_0n_2} = W^{4k_0n_2} \\ W^{(4k_2+2k_1+k_0)2n_1} &= \underbrace{W^{8(k_2n_1)}}_1 W^{(2k_1+k_0)2n_1} = W^{(2k_1+k_0)2n_1} \end{aligned}$$

por lo que

$$F(k_2, k_1, k_0) = \sum_{n_0=0}^1 \sum_{n_1=0}^1 \sum_{n_2=0}^1 f_0(n_2, n_1, n_0) W^{4k_0n_2} W^{(2k_1+k_0)2n_1} W^{(4k_2+2k_1+k_0)n_0}$$

la cual es equivalente

$$F(k_2, k_1, k_0) = \sum_{n_0=0}^1 w^{(4k_2+2k_1+k_0)n_0} \left[ \sum_{n_1=0}^1 w^{(2k_1+k_0)2n_1} \left[ \sum_{n_2=0}^1 f_0(n_2, n_1, n_0) w^{4k_0 n_2} \right] \right]$$

Haciendo

$$f_1(k_0, n_1, n_0) = \sum_{n_2=0}^1 f_0(n_2, n_1, n_0) w^{4k_0 n_2}$$

$$f_2(k_0, k_1, n_0) = \sum_{n_1=0}^1 f_1(k_0, n_1, n_0) w^{(2k_1+k_0)2n_1}$$

$$f_3(k_0, k_1, k_2) = \sum_{n_0=0}^1 f_2(k_0, k_1, n_0) w^{(4k_2+2k_1+k_0)n_0}$$

$$F(k_2, k_1, k_0) = f_3(k_0, k_1, k_2)$$

a) Cálculo de  $f_1(k_0, n_1, n_0)$ . El índice  $n_2$  de  $f_0(n_2, n_1, n_0)$  varía de 0 a 1

|                    | $n_2=0$       | $n_2=1$       |                    |
|--------------------|---------------|---------------|--------------------|
|                    | $n_2 n_1 n_0$ | $n_2 n_1 n_0$ | $n_2 n_1 n_0$      |
| $f_0 = f_0(0,0,0)$ | $f_0(0,0,0)$  | $f_0(1,0,0)$  | $w^0 = f_1(0,0,0)$ |
| $f_1 = f_0(0,0,1)$ | $f_0(0,0,1)$  | $f_0(1,0,1)$  | $w^0 = f_1(0,0,1)$ |
| $f_2 = f_0(0,1,0)$ | $f_0(0,1,0)$  | $f_0(1,1,0)$  | $w^0 = f_1(0,1,0)$ |
| $f_3 = f_0(0,1,1)$ | $f_0(0,1,1)$  | $f_0(1,1,1)$  | $w^0 = f_1(0,1,1)$ |
| $f_4 = f_0(1,0,0)$ | $f_0(0,0,0)$  | $f_0(1,0,0)$  | $w^4 = f_1(1,0,0)$ |
| $f_5 = f_0(1,0,1)$ | $f_0(0,0,1)$  | $f_0(1,0,1)$  | $w^4 = f_1(1,0,1)$ |
| $f_6 = f_0(1,1,0)$ | $f_0(0,1,0)$  | $f_0(1,1,0)$  | $w^4 = f_1(1,1,0)$ |
| $f_7 = f_0(1,1,1)$ | $f_0(0,1,1)$  | $f_0(1,1,1)$  | $w^4 = f_1(1,1,1)$ |



Con la primer columna se define  $n_1$  y  $n_0$ .  $k_0$  se determinó de manera que se tengan 8 elementos distintos. Para seguir un orden se prefirió tener 4 valores con  $k_0 = 0$  y luego otros 4 con  $k_0 = 1$ .

b) Cálculo de  $f_2(k_0, k_1, n_0)$ . El índice  $n_1$  de  $f_1(k_0, n_1, n_0)$  varia de 0 a 1.

| $k_0 n_1 n_0$ | $n_1=0$       | $n_1=1$        | $k_0 k_1 n_0$      |
|---------------|---------------|----------------|--------------------|
| $k_0 n_1 n_0$ | $k_0 n_1 n_0$ | $k_0 n_1 n_0$  | $k_0 k_1 n_0$      |
| $f_1(0,0,0)$  | $f_1(0,0,0)$  | $+ f_1(0,1,0)$ | $w^0 = f_2(0,0,0)$ |
| $f_1(0,0,1)$  | $f_1(0,0,1)$  | $+ f_1(0,1,1)$ | $w^0 = f_2(0,0,1)$ |
| $f_1(0,1,0)$  | $f_1(0,0,0)$  | $+ f_1(0,1,0)$ | $w^4 = f_2(0,1,0)$ |
| $f_1(0,1,1)$  | $f_1(0,0,1)$  | $+ f_1(0,1,1)$ | $w^4 = f_2(0,1,1)$ |
| $f_1(1,0,0)$  | $f_1(1,0,0)$  | $+ f_1(1,1,0)$ | $w^2 = f_2(1,0,0)$ |
| $f_1(1,0,1)$  | $f_1(1,0,1)$  | $+ f_1(1,1,1)$ | $w^2 = f_2(1,0,1)$ |
| $f_1(1,1,0)$  | $f_1(1,0,0)$  | $+ f_1(1,1,0)$ | $w^d = f_2(1,1,0)$ |
| $f_1(1,1,1)$  | $f_1(1,0,1)$  | $+ f_1(1,1,1)$ | $w^d = f_2(1,1,1)$ |

En la primera columna, se define  $k_0$  y en  $n_0$ .  $k_1$  se determinó de manera que se tengan 8 elementos distintos. Para seguir un orden se alternaron de dos en dos los valores de  $k_0 = 0$  y  $k_0 = 1$ .

c) Cálculo de  $f_3(k_0, k_1, k_2)$ . El índice  $n_0$  de  $f_2(k_0, k_1, n_2)$  varia de 0 a 1.

| $k_0 k_1 n_0$ | $n_0=0$<br>$k_0 k_1 n_0$ | $n_0=1$<br>$k_0 k_1 n_0$ | $k_0 k_1 k_2$      |
|---------------|--------------------------|--------------------------|--------------------|
| $f_2(0,0,0)$  | $f_2(0,0,0)$             | $+ f_2(0,0,1)$           | $w^0 = f_3(0,0,0)$ |
| $f_2(0,0,1)$  | $f_2(0,0,0)$             | $+ f_2(0,0,1)$           | $w^4 = f_3(0,0,1)$ |
| $f_2(0,1,0)$  | $f_2(0,1,0)$             | $+ f_2(0,1,1)$           | $w^2 = f_3(0,1,0)$ |
| $f_2(0,1,1)$  | $f_2(0,1,0)$             | $+ f_2(0,1,1)$           | $w^6 = f_3(0,1,1)$ |
| $f_2(1,0,0)$  | $f_2(1,0,0)$             | $+ f_2(1,0,1)$           | $w^1 = f_3(1,0,0)$ |
| $f_2(1,0,1)$  | $f_2(1,0,0)$             | $+ f_2(1,0,1)$           | $w^5 = f_3(1,0,1)$ |
| $f_2(1,1,0)$  | $f_2(1,1,0)$             | $+ f_2(1,1,1)$           | $w^3 = f_3(1,1,0)$ |
| $f_2(1,1,1)$  | $f_2(1,1,0)$             | $+ f_2(1,1,1)$           | $w^7 = f_3(1,1,1)$ |

En la primera columna, se define  $k_0$  y  $k_1$ .  $k_2$  se determinó de manera que se tengan 8 elementos distintos.

d) Por último como  $F(k_2, k_1, k_0) = f_3(k_0, k_1, k_2)$ .

$$f_3(0,0,0) = F(0,0,0) = F(0)$$

$$f_3(0,0,1) = F(1,0,0) = F(4)$$

$$f_3(0,1,0) = F(0,1,0) = F(2)$$

$$f_3(0,1,1) = F(1,1,0) = F(6)$$

$$f_3(1,0,0) = F(0,0,1) = F(1)$$

$$f_3(1,0,1) = F(1,0,1) = F(5)$$

$$f_3(1,1,0) = F(0,1,1) = F(3)$$

$$f_3(1,1,1) = F(1,1,1) = F(7)$$

El desarrollo anterior se puede generalizar para un número  $N$  tal que  $N = 2^l$  siendo,  $l$  un número entero positivo (se dirá que  $N$  es potencia entera de dos). La validez de este desarrollo es demostrada en la ref. 7 .

Para aplicar el desarrollo generalizado (o sea a un número  $N$  que es potencia entera de dos), se utilizan las ecuaciones

$$F_{\ell}(k + N/2^{\ell}) = F_{\ell-1}(k) - w^p F_{\ell-1}(k + N/2^{\ell-1}) \quad (\text{I})$$

$$F_{\ell}(k) = F_{\ell-1}(k) + w^p F_{\ell-1}(k + N/2^{\ell}) \quad (\text{II})$$

las cuales se usan de acuerdo al cuadro 3.1.

#### COMENTARIOS

Se entiende por distorsionar el número binario  $n_0, n_1, n_2, n_3$  el expresarlo como  $n_3, n_2, n_1, n_0$ .

La secuela de cálculo se realizó siguiendo los pasos

- 1, 2, 3, 4, 5, 6, 7, 8, 9    primer columna del ejemplo
- 2, 3, 4, 5, 6, 7, 8, 9    segunda columna del ejemplo
- 2, 3, 4, 5, 6, 7, 8, 9, 10    tercer columna del ejemplo.

Para ilustrar aún más el procedimiento de cálculo de la transformada rápida de Fourier, considérese la siguiente función  $f(t)$

Cuadro 3.1. PROCEDIMIENTO PARA LA APLICACION DE LA TRANSFORMADA RAPIDA DE FOURIER

| PASO  | DESCRIPCION   | TRANSFORMADA RAPIDA DE FOURIER<br>(EJEMPLO)  |   |   |         |       |      |     |       |      |     |       |      |     |       |      |     |  |  |       |         |       |      |     |       |      |     |  |       |         |       |      |     |       |      |     |   |
|-------|---|--|---|---|---------|-------|------|-----|-------|------|-----|-------|------|-----|-------|------|-----|--|--|-------|---------|-------|------|-----|-------|------|-----|--|-------|---------|-------|------|-----|-------|------|-----|---|
| 1     | Cálculo del número de bits (Y) de $N = 2^Y$   | Sea $N = 8$ entonces $Y = 3$ (habrá Y etapas)  |   |   |         |       |      |     |       |      |     |       |      |     |       |      |     |  |  |       |         |       |      |     |       |      |     |  |       |         |       |      |     |       |      |     |   |
| 2     | $l$   | $l = 1$  | $l = 2$   | $l = 3$   |         |       |      |     |       |      |     |       |      |     |       |      |     |  |  |       |         |       |      |     |       |      |     |  |       |         |       |      |     |       |      |     |   |
| 3     | Calcular el número de veces (rebote) en que se usará la fórmula I y II, es $N/2^l$  | rebote $\frac{N}{2^l} = \frac{8}{2^1} = 4$   | rebote $\frac{N}{2^2} = 2$  | rebote $\frac{N}{2^3} = 1$  |         |       |      |     |       |      |     |       |      |     |       |      |     |  |  |       |         |       |      |     |       |      |     |  |       |         |       |      |     |       |      |     |   |
| 4     | <p>Usar las fórmulas I, <math>N/2^l</math> veces consecutivas y <math>N/2^l</math> veces la fórmula II para definir <math>N/2^{l+1}</math> valores sucesivos de <math>k</math>.</p> <p>Los valores de <math>k</math> son seleccionados de manera que se definan sucesivamente los valores <math>f_e(0), f_e(1), \dots, f_e(N-1)</math>, para lo cual se pueden usar otra vez la fórmula I <math>N/2^l</math> veces y luego <math>N/2^l</math> la fórmula II</p> | <p>FOR I</p> $\begin{cases} k=0 & f_1(0) = f_0(0) + f_0(4) W^0 \\ k=1 & f_1(1) = f_0(1) + f_0(5) W^1 \\ k=2 & f_1(2) = f_0(2) + f_0(6) W^2 \\ k=3 & f_1(3) = f_0(3) + f_0(7) W^3 \end{cases}$ <p>FOR II</p> $\begin{cases} k=0 & f_1(4) = f_0(0) - f_0(4) W^0 \\ k=1 & f_1(5) = f_0(1) - f_0(5) W^1 \\ k=2 & f_1(6) = f_0(2) - f_0(6) W^2 \\ k=3 & f_1(7) = f_0(3) - f_0(7) W^3 \end{cases}$                 | <p>FOR I</p> $\begin{cases} k=0 & f_2(0) = f_1(0) + f_1(2) W^0 \\ k=1 & f_2(1) = f_1(1) + f_1(3) W^1 \end{cases}$ <p>FOR I</p> $\begin{cases} k=0 & f_2(2) = f_1(0) - f_1(2) W^0 \\ k=1 & f_2(3) = f_1(1) - f_1(3) W^1 \end{cases}$ <p>FOR II</p> $\begin{cases} k=4 & f_2(4) = f_1(4) + f_1(6) W^0 \\ k=5 & f_2(5) = f_1(5) + f_1(7) W^1 \end{cases}$ <p>FOR II</p> $\begin{cases} k=4 & f_2(6) = f_1(4) - f_1(6) W^0 \\ k=5 & f_2(7) = f_1(5) - f_1(7) W^1 \end{cases}$ | <p>I</p> $\begin{cases} k=0 & f_3(0) = f_2(0) + f_2(1) W^0 \\ k=0 & f_3(1) = f_2(0) - f_2(1) W^1 \end{cases}$ <p>II</p> $\begin{cases} k=2 & f_3(2) = f_2(2) + f_2(3) W^0 \\ k=2 & f_3(3) = f_2(2) - f_2(3) W^1 \end{cases}$ <p>I</p> $\begin{cases} k=4 & f_3(4) = f_2(4) + f_2(5) W^0 \\ k=4 & f_3(5) = f_2(4) - f_2(5) W^1 \end{cases}$ <p>II</p> $\begin{cases} k=6 & f_3(6) = f_2(6) + f_2(7) W^0 \\ k=6 & f_3(7) = f_2(6) - f_2(7) W^1 \end{cases}$ |         |       |      |     |       |      |     |       |      |     |       |      |     |  |  |       |         |       |      |     |       |      |     |  |       |         |       |      |     |       |      |     |   |
| 5     | Escribir los valores de $k$ en sistema binario  | <p>FOR I</p> $\begin{cases} k=0 & 000 \\ k=1 & 001 \\ k=2 & 010 \\ k=3 & 011 \end{cases}$ <p>REBOTE</p> <p>FOR II</p> $\begin{cases} k=0 & 000 \\ k=1 & 001 \\ k=2 & 010 \\ k=3 & 011 \end{cases}$   | <p>FOR I</p> $\begin{cases} k=0 & 000 \\ k=1 & 001 \end{cases}$ <p>FOR II</p> $\begin{cases} k=0 & 000 \\ k=1 & 001 \end{cases}$ <p>FOR I</p> $\begin{cases} k=4 & 100 \\ k=5 & 101 \end{cases}$ <p>FOR II</p> $\begin{cases} k=4 & 100 \\ k=5 & 101 \end{cases}$   | <p>I</p> $\begin{cases} k=0 & 000 \\ k=0 & 000 \end{cases}$ <p>II</p> $\begin{cases} k=2 & 010 \\ k=2 & 010 \end{cases}$ <p>I</p> $\begin{cases} k=4 & 100 \\ k=4 & 100 \end{cases}$ <p>II</p> $\begin{cases} k=6 & 110 \\ k=6 & 110 \end{cases}$   |         |       |      |     |       |      |     |       |      |     |       |      |     |  |  |       |         |       |      |     |       |      |     |  |       |         |       |      |     |       |      |     |   |
| 6     | Desplazar los valores de $k$ binarios $Y-l$ cifras a la DERECHA y rellenar con CEROS los lugares que quedaron a la izquierda  | <p>FOR I</p> <table border="0"> <tr> <td></td> <td>DESP.</td> <td>RELLENO</td> </tr> <tr> <td><math>k=0</math></td> <td>0010</td> <td>000</td> </tr> <tr> <td><math>k=1</math></td> <td>0011</td> <td>000</td> </tr> <tr> <td><math>k=2</math></td> <td>0100</td> <td>000</td> </tr> <tr> <td><math>k=3</math></td> <td>0101</td> <td>000</td> </tr> </table> <p><math>Y-l = 3-1 = 2</math> (dos cifras)</p> |   | DESP.   | RELLENO | $k=0$ | 0010 | 000 | $k=1$ | 0011 | 000 | $k=2$ | 0100 | 000 | $k=3$ | 0101 | 000 | <p>FOR I</p> <table border="0"> <tr> <td></td> <td>DESP.</td> <td>RELLENO</td> </tr> <tr> <td><math>k=0</math></td> <td>0000</td> <td>000</td> </tr> <tr> <td><math>k=1</math></td> <td>0001</td> <td>000</td> </tr> </table> <p>FOR II</p> <table border="0"> <tr> <td></td> <td>DESP.</td> <td>RELLENO</td> </tr> <tr> <td><math>k=0</math></td> <td>0000</td> <td>000</td> </tr> <tr> <td><math>k=1</math></td> <td>0001</td> <td>000</td> </tr> </table> <p><math>Y-l = 3-2 = 1</math> (una cifra)</p> |  | DESP. | RELLENO | $k=0$ | 0000 | 000 | $k=1$ | 0001 | 000 |  | DESP. | RELLENO | $k=0$ | 0000 | 000 | $k=1$ | 0001 | 000 | <p>I</p> $\begin{cases} k=0 & 000 \\ k=0 & 000 \end{cases}$ <p>II</p> $\begin{cases} k=2 & 010 \\ k=2 & 010 \end{cases}$ <p>I</p> $\begin{cases} k=4 & 100 \\ k=4 & 100 \end{cases}$ <p>II</p> $\begin{cases} k=6 & 110 \\ k=6 & 110 \end{cases}$ <p>No se desp. y no rellena</p> |
|       | DESP.   | RELLENO  |   |   |         |       |      |     |       |      |     |       |      |     |       |      |     |  |  |       |         |       |      |     |       |      |     |  |       |         |       |      |     |       |      |     |   |
| $k=0$ | 0010  | 000  |   |   |         |       |      |     |       |      |     |       |      |     |       |      |     |  |  |       |         |       |      |     |       |      |     |  |       |         |       |      |     |       |      |     |   |
| $k=1$ | 0011  | 000  |   |   |         |       |      |     |       |      |     |       |      |     |       |      |     |  |  |       |         |       |      |     |       |      |     |  |       |         |       |      |     |       |      |     |   |
| $k=2$ | 0100  | 000  |   |   |         |       |      |     |       |      |     |       |      |     |       |      |     |  |  |       |         |       |      |     |       |      |     |  |       |         |       |      |     |       |      |     |   |
| $k=3$ | 0101  | 000  |   |   |         |       |      |     |       |      |     |       |      |     |       |      |     |  |  |       |         |       |      |     |       |      |     |  |       |         |       |      |     |       |      |     |   |
|       | DESP.   | RELLENO  |   |   |         |       |      |     |       |      |     |       |      |     |       |      |     |  |  |       |         |       |      |     |       |      |     |  |       |         |       |      |     |       |      |     |   |
| $k=0$ | 0000  | 000  |   |   |         |       |      |     |       |      |     |       |      |     |       |      |     |  |  |       |         |       |      |     |       |      |     |  |       |         |       |      |     |       |      |     |   |
| $k=1$ | 0001  | 000  |   |   |         |       |      |     |       |      |     |       |      |     |       |      |     |  |  |       |         |       |      |     |       |      |     |  |       |         |       |      |     |       |      |     |   |
|       | DESP.   | RELLENO  |   |   |         |       |      |     |       |      |     |       |      |     |       |      |     |  |  |       |         |       |      |     |       |      |     |  |       |         |       |      |     |       |      |     |   |
| $k=0$ | 0000  | 000  |   |   |         |       |      |     |       |      |     |       |      |     |       |      |     |  |  |       |         |       |      |     |       |      |     |  |       |         |       |      |     |       |      |     |   |
| $k=1$ | 0001  | 000  |   |   |         |       |      |     |       |      |     |       |      |     |       |      |     |  |  |       |         |       |      |     |       |      |     |  |       |         |       |      |     |       |      |     |   |

|    | DESCRIPCION   | EJEMPLO  |   |  |
|----|---|--|---|--|
|    | continua paso 6   | $\begin{matrix} \text{FOR II} \\ k=0 & 0 & 0 & 0 & 0 \\ k=1 & 0 & 0 & 0 & 0 \\ k=2 & 0 & 1 & 0 & 0 \\ k=3 & 0 & 1 & 1 & 0 \end{matrix}$  | $\begin{matrix} \text{FOR I} \\ k=4 & 1 & 0 & 0 & 1 \\ k=5 & 1 & 0 & 1 & 0 \\ k=4 & 1 & 0 & 0 & 1 \\ k=5 & 1 & 0 & 1 & 0 \end{matrix}$  | $\begin{matrix} \text{I} \\ k=4 & 1 & 0 & 0 \\ k=4 & 1 & 0 & 0 \\ k=6 & 1 & 1 & 0 \\ k=6 & 1 & 1 & 0 \end{matrix}$   |
| 7  | <p>"DISTORSIONAR" los valores binarios y reconvertir a decimales identificando así los valores del exponente P de la W.</p> <p>Se puede tomar en cuenta que <math>-W^P = W^P + N/2</math></p>                                 | $\begin{matrix} \text{FOR I} \\ k=0 & 0 & 0 & 0 & P=0 \\ k=1 & 0 & 0 & 0 & P=0 \\ k=2 & 0 & 0 & 0 & P=0 \\ k=3 & 0 & 0 & 0 & P=0 \end{matrix}$<br>$\begin{matrix} \text{FOR II} \\ k=0 & 0 & 0 & 0 & P=0 \\ k=1 & 0 & 0 & 0 & P=0 \\ k=2 & 0 & 0 & 0 & P=0 \\ k=3 & 0 & 0 & 0 & P=0 \end{matrix}$  | $\begin{matrix} \text{FOR I} \\ k=0 & 0 & 0 & 0 & P=0 \\ k=1 & 0 & 0 & 0 & P=0 \\ k=0 & 0 & 0 & 0 & P=0 \\ k=1 & 0 & 0 & 0 & P=0 \\ k=4 & 0 & 1 & 0 & P=2 \\ k=5 & 0 & 1 & 0 & P=2 \end{matrix}$<br>$\begin{matrix} \text{FOR II} \\ k=4 & 0 & 1 & 0 & P=2 \\ k=5 & 0 & 1 & 0 & P=2 \\ k=4 & 0 & 1 & 0 & P=2 \\ k=5 & 0 & 1 & 0 & P=2 \end{matrix}$ | $\begin{matrix} \text{I} \\ k=0 & 0 & 0 & 0 & P=0 \\ k=0 & 0 & 0 & 0 & P=0 \\ k=2 & 0 & 1 & 0 & P=2 \\ k=2 & 0 & 1 & 0 & P=2 \\ k=4 & 1 & 0 & 0 & P=1 \\ k=4 & 1 & 0 & 0 & P=1 \\ k=6 & 1 & 1 & 0 & P=3 \\ k=6 & 1 & 1 & 0 & P=3 \end{matrix}$   |
| 8  | <p>Sustituir valores y determinar <math>f_e(0), f_e(1), f_e(2), \dots, f_e</math></p>   | $\begin{aligned} f_1(0) &= f_0(0) + f_0(4)W^0 \\ f_1(1) &= f_0(1) + f_0(5)W^0 \\ f_1(2) &= f_0(2) + f_0(6)W^0 \\ f_1(3) &= f_0(3) + f_0(7)W^0 \\ f_1(4) &= f_0(0) - f_0(4)W^0 \\ f_1(5) &= f_0(1) - f_0(5)W^0 \\ f_1(6) &= f_0(2) - f_0(6)W^0 \\ f_1(7) &= f_0(3) - f_0(7)W^0 \end{aligned}$   | $\begin{aligned} f_2(0) &= f_1(0) + f_1(2)W^0 \\ f_2(1) &= f_1(1) + f_1(3)W^0 \\ f_2(2) &= f_1(0) - f_1(2)W^0 \\ f_2(3) &= f_1(1) - f_1(3)W^0 \\ f_2(4) &= f_1(4) + f_1(6)W^2 \\ f_2(5) &= f_1(5) + f_1(7)W^2 \\ f_2(6) &= f_1(4) - f_1(6)W^2 \\ f_2(7) &= f_1(5) - f_1(7)W^2 \end{aligned}$  | $\begin{aligned} f_3(0) &= f_2(0) + f_2(1)W^0 \\ f_3(1) &= f_2(0) - f_2(1)W^0 \\ f_3(2) &= f_2(2) + f_2(3)W^2 \\ f_3(3) &= f_2(2) - f_2(3)W^2 \\ f_3(4) &= f_2(4) + f_2(5)W^1 \\ f_3(5) &= f_2(4) - f_2(5)W^1 \\ f_3(6) &= f_2(6) + f_2(7)W^3 \\ f_3(7) &= f_2(6) - f_2(7)W^3 \end{aligned}$ |
| 9  | <p>Hacer <math>l = l + 1</math> y si <math>l</math> es mayor que <math>Y</math> ir al Paso 10, en caso contrario ir al paso 3</p>   | <p><math>l = 1 + 1</math><br/><math>l = 2</math><br/>como <math>l \leq Y</math> va al Paso 3</p>   | <p><math>l = 2 + 1</math><br/><math>l = 3</math><br/>como <math>l \leq Y</math> va al Paso 2</p>  | <p><math>l = 3 + 1</math><br/><math>l = 4</math><br/>como <math>l &gt; Y</math> va al Paso 10</p>  |
| 10 | <p>Escribir las <math>k</math> de <math>f_x(k)</math> en binario, distorsionarlos y reconvertir a decimal <math>k</math> estableciendo la correspondencia entre <math>k</math> originales y las <math>k'</math> decimales</p> | $\begin{matrix} f_0(0) & 0 & 0 & 0 & 0 & \rightarrow & 0 & 0 & 0 & \rightarrow & 0 \\ f_0(1) & 0 & 0 & 1 & 0 & \rightarrow & 1 & 0 & 0 & \rightarrow & 4 \\ f_0(2) & 0 & 1 & 0 & 0 & \rightarrow & 0 & 1 & 0 & \rightarrow & 2 \\ f_0(3) & 0 & 1 & 1 & 0 & \rightarrow & 1 & 1 & 0 & \rightarrow & 6 \\ f_0(4) & 1 & 0 & 0 & 0 & \rightarrow & 0 & 0 & 1 & \rightarrow & 1 \\ f_0(5) & 1 & 0 & 1 & 0 & \rightarrow & 1 & 0 & 1 & \rightarrow & 5 \\ f_0(6) & 1 & 1 & 0 & 0 & \rightarrow & 1 & 1 & 0 & \rightarrow & 3 \\ f_0(7) & 1 & 1 & 1 & 0 & \rightarrow & 1 & 1 & 1 & \rightarrow & 7 \end{matrix}$ | $\begin{matrix} 0 & \rightarrow & F(0) & = & f_3(0) \\ 4 & \rightarrow & F(4) & = & f_3(1) \\ 2 & \rightarrow & F(2) & = & f_3(2) \\ 6 & \rightarrow & F(6) & = & f_3(3) \\ 1 & \rightarrow & F(1) & = & f_3(4) \\ 5 & \rightarrow & F(5) & = & f_3(5) \\ 3 & \rightarrow & F(3) & = & f_3(6) \\ 7 & \rightarrow & F(7) & = & f_3(7) \end{matrix}$  |  |

$$f(t) = 3 \operatorname{sen} \left( \frac{\pi}{4} t + \frac{\pi}{8} \right) + 5 \operatorname{sen} \left( \frac{\pi}{2} t + \frac{\pi}{6} \right)$$

de la cual se desea obtener su transformada de Fourier discreta, para los 8 primeros segundos ( $N=8$ ).

Utilizando el procedimiento descrito en el cuadro 3.1, se tiene.

Escogiendo  $\Delta t = 1$  seg, los primeros 8 valores de  $f(t)$  (usando la simbología indicada) serán;

$$f_0(0) = 3.6481$$

$$f_0(4) = 1.3520$$

$$f_0(1) = 7.1018$$

$$f_0(5) = 1.5585$$

$$f_0(2) = 0.2716$$

$$f_0(6) = - 5.2716$$

$$f_0(3) = - 3.1821$$

$$f_0(7) = - 5.4782$$

Paso 1

para  $N = 8$  ; de  $N = 2^l$  y  $l = 3$ , habrá 3 etapas

Paso 2

Para la etapa 1 ;  $l = 1$  (primer columna del cuadro 3.1)

Paso 3

El número de veces (rebote) en que se usará la fórmula I y II serán

$$N/2^L = 8/2^1 = 4$$

Paso 4

Usando las fórmulas I y II,  $N/2^L = 4$  veces consecutivas, para definir los valores sucesivos de k.

$$k = 0 \quad f_1(0) = 3.6481 + 1.3520 w^p$$

$$k = 1 \quad f_1(1) = 7.1018 + 1.5585 w^p$$

$$k = 2 \quad f_1(2) = 0.2716 - 5.2716 w^p$$

$$k = 3 \quad f_1(3) = - 3.1821 - 5.4782 w^p$$

$$k = 4 \quad f_1(4) = 3.6481 - 1.3520 w^p$$

$$k = 5 \quad f_1(5) = 7.1018 - 1.5585 w^p$$

$$k = 6 \quad f_1(6) = 0.2716 + 5.2716 w^p$$

$$k = 7 \quad f_1(7) = - 3.1821 + 5.4782 w^p$$

Paso 5, 6 y 7

En el cuadro 3.1, se desarrollaron estos pasos, encontrándose que p toma los siguientes valores

$$\text{para } k = 0 \quad p = 0$$

$$k = 1 \quad p = 0$$

$$k = 2 \quad p = 0$$

$$k = 3 \quad p = 3$$

$$k = 0 \quad p = 0$$

$$k = 1 \quad p = 0$$

$$k = 2 \quad p = 0$$

$$k = 3 \quad p = 0$$

Paso 8

Sustituyendo los valores de  $p$  en el paso 4, se tiene

$$\text{si } w = e^{-j2\pi/8} \quad \text{entonces } w^0 = e^{-j2\pi/8} = 1$$

$$f_1(0) = 3.6481 + 1.3520 (1) = 5.0001$$

$$f_1(1) = 7.1018 + 1.5585 (1) = 8.6603$$

$$f_1(2) = 0.2716 - 5.2716 (1) = -5.0000$$

$$f_1(3) = -3.1821 - 5.4782 (1) = -8.6603$$

$$f_1(4) = 3.6481 - 1.3520 (1) = 2.2961$$

$$f_1(5) = 7.1018 - 1.5585 (1) = 5.5433$$

$$f_1(6) = 0.2716 + 5.2716 (1) = 5.5433$$

$$f_1(7) = -3.1821 + 5.4782 (1) = 2.2961$$



Paso 9

como  $(l=1+1=2) < (Y=3)$ , regresamos al paso 2

Paso 2

Para la etapa 2 ;  $l = 2$  (segunda etapa del cuadro 3.1)

Paso 3

El número de veces (rebote) en que se usará la fórmula I y II, será

$$N/2^l = 8/2^2 = 2$$

Paso 4

Usando las fórmulas I y II 2 veces consecutivas

$$k = 0 \quad f_1(0) = 5.0001 - 5.0000 w^P$$

$$k = 1 \quad f_1(1) = 8.6603 - 8.6603 w^P$$

$$k = 0 \quad f_1(2) = 5.0001 + 5.0000 w^P$$

$$k = 1 \quad f_1(3) = 8.6603 + 8.6603 w^P$$

$$k = 4 \quad f_1(4) = 2.2961 + 5.5433 w^P$$

$$k = 5 \quad f_1(5) = 5.5433 + 2.2961 w^P$$

$$k = 4 \quad f_1(6) = 2.2961 - 5.5433 w^P$$

$$k = 5 \quad f_1(7) = 5.5433 - 2.2961 w^P$$

Paso 5, 6 y 7

En el cuadro 3.1, para  $\ell = 2$ , se obtuvieron los valores de p

$$\text{para } k = 0 \quad p = 0$$

$$k = 1 \quad p = 0$$

$$k = 0 \quad p = 0$$

$$k = 1 \quad p = 0$$

$$k = 4 \quad p = 2$$

$$k = 5 \quad p = 2$$

$$k = 4 \quad p = 2$$

$$k = 5 \quad p = 2$$

Paso 8

Sustituyendo valores de p en el paso 4, se tiene

$$\text{para } p = 0 ; w^0 = 1$$

$$p = 2 ; w^2 = (e^{-j2\pi/8})^2 = e^{-j\pi/2}$$

al utilizar la identidad de Euler (ec.3.9)

$$e^{-j\pi/2} = \cos \pi/2 - j \operatorname{sen} \pi/2 = 0 - j * 1$$

Por lo que

$$f_2(0) = 5.0001 - 5.0000 (1) = 0$$

$$f_2(1) = 8.6603 - 8.6603 (1) = 0$$

$$f_2(2) = 5.0001 + 5.0000 (1) = 10.0001$$

$$f_2(3) = 8.6603 + 8.6603 (1) = 17.3206$$

$$f_2(4) = 2.2961 + 5.5433 (0 - j * 1) = 2.2961 - j * 5.5433$$

$$f_2(5) = 5.5433 + 2.2961 (0 - j * 1) = 5.5433 - j * 2.2961$$

$$f_2(6) = 2.2961 - 5.5433 (0 - j * 1) = 2.2961 + j * 5.5433$$

$$f_2(7) = 5.5433 - 2.2961 (0 - j * 1) = 5.5433 + j * 2.2961$$

Paso 9

Como ( $l = 2 + 1 = 3$ ) = ( $\gamma = 3$ ), regresamos al paso 2

Paso 2

Para la etapa 3 ;  $l = 3$  (tercer columna del cuadro 3.1)

Paso 3

El número de veces que se usará la fórmula I y II será

$$N/2^L = 8/2^3 = 1$$

Paso 4

Usando las fórmulas I y II, una vez

$$k = 0 \quad f_g(0) = 0$$

$$k = 0 \quad f_g(1) = 0$$

$$k = 2 \quad f_g(2) = 10.0000 + 17.3206 w^p$$

$$k = 2 \quad f_g(3) = 10.0000 - 17.3206 w^p$$

$$k = 4 \quad f_g(4) = (2.2961 - j * 5.5433) + (5.5433 - j * 2.2961) w^p$$

$$k = 4 \quad f_g(5) = (2.2961 - j * 5.5433) - (5.5433 - j * 2.2961) w^p$$

$$k = 6 \quad f_g(6) = (2.2961 + j * 5.5433) + (5.5433 + j * 2.2961) w^p$$

$$k = 6 \quad f_g(6) = (2.2961 - j * 5.5433) - (5.5433 + j * 2.2961) w^p$$

Paso 5, 6 y 7

Los valores de p obtenidos en el cuadro 3.1 fueron

$$\text{para } k = 0 \quad p = 0$$

$$k = 0 \quad p = 0$$

$$k = 2 \quad p = 2$$

$$k = 2 \quad p = 2$$

$$k = 4 \quad p = 1$$

$$k = 4 \quad p = 1$$

$$k = 6 \quad p = 3$$

$$k = 6 \quad p = 3$$

Paso 8

$$\text{para } w^0 = (e^{-j2\pi/8})^0 = 1$$

$$w^2 = (e^{-j2\pi/8})^2 = 0 - j * 1$$

$$w^4 = (e^{-j2\pi/8})^4 = e^{-j\pi/4} = \cos \pi/4 - j \operatorname{sen} \pi/4 = \\ 0.7071 - j * 0.7071$$

$$w^6 = (e^{-j2\pi/8})^6 = \cos 3/4 \pi - j \operatorname{sen} 3/4 \pi = \\ - 0.7071 - j * 0.7071$$

.Al considerar lo anterior en el paso 4, se tiene

$$f_g(0) = 0$$

$$f_g(1) = 0$$

$$f_g(2) = 10.0001 - j * 17.3206$$

$$f_g(3) = 10.0001 + j * 17.3206$$

$$f_g(4) = 4.5922 - j * 11.0866$$

$$f_g(5) = 0$$

$$f_g(6) = 0$$

$$f_g(7) = 4.5922 + j * 11.0866$$

Paso 9

Como  $(\ell = 3 + 1 = 4) > (\gamma = 3)$ , se sigue al paso 10

$$F(0) = f_g(0) = 0 + j * 0$$

$$F(4) = f_g(1) = 0 + j * 0$$

$$F(2) = f_g(2) = 10.0001 - j * 17.3206$$

$$F(6) = f_g(3) = 10.0001 + j * 17.3206$$

$$F(1) = f_g(4) = 4.5922 - j * 11.0866$$

$$F(5) = f_g(5) = 0 + j * 0$$

$$F(6) = f_g(6) = 0 + j * 0$$

$$F(7) = f_g(7) = 4.5922 + j * 11.0866$$

Los valores anteriores corresponden a la transformada de Fourier de la función

$$f(t) = 3 \operatorname{sen} \left[ \frac{3}{4} t + \frac{\pi}{8} \right] + 5 \operatorname{sen} \left[ \frac{\pi}{2} t + \frac{\pi}{8} \right]$$

#### 4. FUNCION DE DENSIDAD ESPECTRAL

Las diferentes frecuencias que ocurren dentro de un registro de elevaciones de superficie libre, pueden ser usadas para describir el comportamiento de dicho registro si, por ejemplo, el registro puede ser representado por una función aleatoria en el tiempo  $f(t)$ , ello permite obtener la función de densidad espectral  $s(f)$  de la función  $f(t)$ .

##### 4.1 Definición

La función de densidad espectral  $s(f)$  para  $f(t)$  está definida por el teorema de Wiener-Khintchine el cual establece que  $s(f)$  es la transformada de Fourier de la función de autocorrelación.

##### 4.2 Cálculo a partir de la función de autocorrelación

Una manera de obtener la función de densidad espectral  $s(f)$  es partiendo de la definición anterior. Habiendo establecido la función de autocorrelación como (ec. 2.34).

$$R(\tau) = \lim_{T \rightarrow \infty} \frac{1}{T} \int_{-T/2}^{T/2} f(t) f(t+\tau) dt \quad (4.1)$$

por lo tanto al obtener su transformada de Fourier,  $s(f)$  se expresa

$$s(f) = \int_{-\infty}^{\infty} R(\tau) e^{-j2\pi f\tau} d\tau \quad (4.2)$$

y su antitransformada queda

$$R(\tau) = \int_{-\infty}^{\infty} s(f) e^{j2\pi f\tau} df \quad (4.3)$$

#### 4.3 Cálculo a partir de la transformada de Fourier de los datos

Otra forma de calcular la función de densidad espectral  $s(f)$  es la que a continuación se desarrolla.

Sea  $s(f)$  de la ec. (4.2), la transformada de Fourier de  $f(t)$  de la ec. (3.18) y la función de autocorrelación de la ec. (4.1).

$$s(f) = \int_{-\infty}^{\infty} R(\tau) e^{-j2\pi f\tau} d\tau \quad (4.4)$$

$$F(f) = \int_{-\infty}^{\infty} f(t) e^{-j2\pi ft} dt \quad (4.5)$$

$$R(\tau) = \lim_{T \rightarrow \infty} \frac{1}{T} \int_{-T/2}^{T/2} f(t) f(t+\tau) dt \quad (4.6)$$

Considerando la ec. (4.6) en la (4.4) se tiene

$$s(f) = \int_{-\infty}^{\infty} \left\{ \lim_{T \rightarrow \infty} \frac{1}{T} \int_{-T/2}^{T/2} f(t) f(t+\tau) dt \right\} e^{-j2\pi f\tau} d\tau$$



la que también se puede escribir como

$$s(f) = \int_{-\infty}^{\infty} \left\{ \lim_{T \rightarrow \infty} \int_{-\infty}^{\infty} f(t) f(t+\tau) dt \right\} e^{-j2\pi f\tau} d\tau$$

intercambiando el orden de integración y poniendo fuera de la integral al límite y al recíproco de T

$$s(f) = \lim_{T \rightarrow \infty} \frac{1}{T} \left\{ \int_{-\infty}^{\infty} f(t) \int_{-\infty}^{\infty} f(t+\tau) e^{-j2\pi f\tau} d\tau \right\} dt$$

si hacemos  $t' = t + \tau$  entonces  $dt' = dt$

$$s(f) = \lim_{T \rightarrow \infty} \frac{1}{T} \int_{-\infty}^{\infty} f(t) \left\{ \int_{-\infty}^{\infty} f(t') e^{-j2\pi f(t'-t)} dt' \right\} dt$$

Descomponiendo en dos factores la exponencial y ordenando

$$s(f) = \lim_{T \rightarrow \infty} \frac{1}{T} \int_{-\infty}^{\infty} f(t) e^{j2\pi ft} dt \int_{-\infty}^{\infty} f(t') e^{-j2\pi ft'} dt' \quad (4.7)$$

Por otro lado de la identidad de Euler, se tiene

$$e^{-j2\pi ft} = \cos 2\pi ft - j \operatorname{sen} 2\pi ft \quad (4.8)$$

Sustituyendo la ec. (4.8) en la (4.5)

$$F(f) = \int_{-\infty}^{\infty} f(t) \cos 2\pi ft dt - j \int_{-\infty}^{\infty} f(t) \operatorname{sen} 2\pi ft dt$$

siendo su conjugado complejo

$$\tilde{F}(f) = \int_{-\infty}^{\infty} f(t) \cos 2\pi ft \, dt + j \int_{-\infty}^{\infty} f(t) \sin 2\pi ft \, dt$$

que también se puede escribir (el símbolo  $\approx$  indica conjugado complejo de  $F(f)$ ), como

$$\tilde{F}(f) = \int_{-\infty}^{\infty} f(t) e^{j2\pi ft} \, dt \quad (4.9)$$

Por lo que al tomar en cuenta las ecs. (4.9) y (4.5) en la (4.7), se tiene

$$s(f) = \lim_{T \rightarrow \infty} \frac{1}{T} \tilde{F}(f) F(f) \quad (4.10)$$

O bien dado que  $F(f) F(f)$  es el cuadrado del módulo del número complejo  $F(f)$ ,

$$|F(f)| = \sqrt{R_{\bullet}(F(f))^2 + (Im\{F(f)\})^2} = \tilde{F}(f) F(f)$$

donde  $R_{\bullet}(F(f))$  e  $Im\{F(f)\}$  son la parte real e imaginaria, respectivamente de  $F(f)$ , resulta que

$$s(f) = \lim_{T \rightarrow \infty} \frac{1}{T} |F(f)|^2 \quad (4.11)$$

La ec. (4.11) es la función de densidad espectral  $s(f)$  de la función  $f(t)$ , la cual demuestra que no es necesario calcular la función de autocorrelación para obtener la función de densidad espectral sino que se puede realizar calculando de  $f(t)$  la transformada de Fourier de los datos. †

A la gráfica que relaciona  $s(f)$  contra  $f$  se le llama "espectro" de  $f(t)$ .

#### 4.4 Aspectos de la transformada discreta de Fourier

Para obtener la transformada de Fourier de funciones del tiempo obtenidas por mediciones, como en el caso de los registros de la elevaciones de la superficie libre del mar, se utiliza la versión discreta. Esto se hace por la dificultad de precisar la ecuación del tiempo que se requiere para que la transformada continua pueda ser calculada.

Cuando se procede con la versión discreta de la transformada de Fourier resultan varios aspectos que deben tomarse en cuenta; ellos se listan a continuación.

- a) Transformación de una secuencia de valores
- b) Intervalo de integración finito
- c) Intervalo de integración igual al periodo
- d) Intervalo de integración diferente al periodo

- a) Transformación de una secuencia de valores

Se debe tener cuidado al obtener la transformada de una función  $f(t)$ , ya que puede suceder que los resultados se superpongan.

Para encontrar la transformada de Fourier continua de una secuencia de valores de la función  $f(t)$ , es puede emplear el

teorema de convolución en la frecuencia (inciso 2.6), aplicado al producto de  $f(t)$  por un tren de impulsos unitarios  $\delta_T(t)$  (donde entre un pulso y otro existe una distancia  $\Delta t$ ), esto es

$$\int_{-\infty}^{\infty} f(t) \delta_T(t) e^{-j2\pi ft} dt = \int_{-\infty}^{\infty} \Delta(f) F(f - l) dl \quad (4.12)$$

Por ejemplo, para el caso de tres impulsos

$$\Delta(f) = \frac{1}{\Delta t} \left\{ \delta\left(f - \frac{1}{\Delta t}\right) + \delta(f) + \delta\left(f - \frac{1}{\Delta t}\right) \right\}$$

y si la transformada inversa de Fourier es

$$F(f) = \frac{1}{2} + \frac{1}{2} \cos\left(\frac{\pi f}{f_c}\right) \quad \text{para } |f| \leq f_c$$

Resulta que la convolución de  $\Delta(f) * F(f)$  de acuerdo a la ecuación (2.49), es igual a

$$\Delta(f) * F(f) = F\left(f - \frac{1}{\Delta t}\right) + F(f) + F\left(f + \frac{1}{\Delta t}\right) \quad (4.13)$$

Si en la ecuación (4.13) se considera  $1/\Delta t > 2f_c$  se obtiene la gráfica de la figura 4.1 a). En cambio, para  $1/\Delta t < 2f_c$  sucede lo que se indica en la figura 4.1 b), esto es, los lóbulos en esta última figura se enciman provocando lo que se llama "alisamiento" (distorsión de resultados).

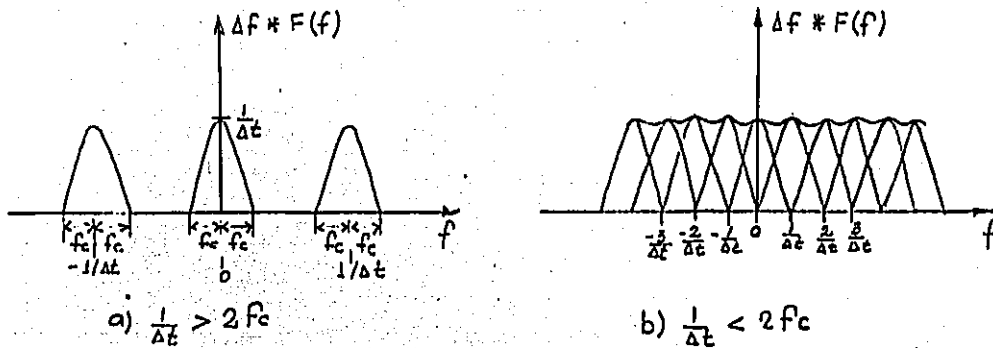


Fig. 4.1 Transformada de Fourier de  $f(t) \delta_T(t)$

Para garantizar que no exista la superposición de resultados, como se puede observar en la fig. 4.1b, es necesario que  $\Delta t \leq 1/2 f_m$ , donde  $f_m$  es la frecuencia más grande de la componente de la transformada de  $f(t)$ . Ya que la transformada de  $f(t)$  es igual al lóbulo central de la figura, se afirma que para evitar los lóbulos en la frecuencia  $-1/\Delta t$  y  $1/\Delta t$ , se considere, en general que

$$F(f) = 0 \quad \text{si } |f| > f_c \quad (4.14)$$

Con  $\Delta t < 1/2 f_m$  y lo mencionado anteriormente se evita el alisamiento en la frecuencia.

En forma análoga, para la transformada inversa de Fourier, se considera  $f \leq 1/2 T_m$ , donde  $T_m$  es el tiempo más grande de la antitransformada de  $f(t)$ . Para eliminar el alisamiento en el tiempo además se considera que

$$f(t) = 0 \quad \text{si } |t| > T_c \quad (4.15)$$

Con respecto al alisamiento en la frecuencia se tiene que el par

de transformadas continuas estan definidas en las frecuencias positivas y negativas, pero en el caso discreto (ec. 3.34) solo aparecen frecuencias positivas por lo que en este último, se considera

$$F(-f) = F(2f_c - f) \quad (4.16)$$

Así las ordenadas en frecuencia 0 a  $-f_c$  son iguales a las de las frecuencias positivas entre  $f_c$  y  $2f_c$  con lo cual se cumple la ec. (3.18).

#### b) Intervalo de integración finito

Como en la práctica no se cuenta con frecuencias de tiempo de duración infinita, es necesario tomar en cuenta que la integral que aparece en la definición de la transformada de Fourier no sea desde  $-\infty$  a  $\infty$  sino desde  $-T_c/2$  a  $T_c/2$ .

Además, cuando se procede con la transformada discreta, para evitar el alisamiento en el tiempo, se debe cumplir la ec. 4.14. Sucede que en realidad se maneja a la función  $f(t)$  (de duración infinita) multiplicada por una función  $h(t)$ , llamada ventana, con cierto valor entre  $t \in T_c/2$  y cero para  $t > T_c/2$ .

En otras palabras, en la práctica se maneja una transformada de Fourier de  $-T_c/2$  a  $T_c/2$ , por lo que conviene saber como cambian los resultados al manejar la transformada de  $f(t)h(t)$  en lugar de  $f(t)$ . Para ello considérese el siguiente ejemplo.

Encontrar la transformada de Fourier de  $y(t) = f(t) h(t)$ , siendo  $f(t) = e^{j2\pi f_1 t}$  y  $h(t) = 1$  si  $t \in [-T_c/2, T_c/2]$  y  $h(t) = 0$  si  $t \notin [-T_c/2, T_c/2]$

Solución

$$\begin{aligned}
 Y(f) &= \int_{-\infty}^{\infty} (e^{j2\pi f_1 t} h(t) e^{-j2\pi f t}) dt = \int_{-T_c/2}^{T_c/2} e^{j2\pi f_1 t} e^{-j2\pi f t} dt \\
 &= \int_{-T_c/2}^{T_c/2} e^{-j2\pi(f-f_1)t} dt = -\frac{1}{j2\pi(f-f_1)} \left| e^{-j2\pi(f-f_1)t} \right|_{-T_c/2}^{T_c/2} \\
 &= \frac{1}{\pi(f-f_1)} \operatorname{sen}(\pi(f-f_1)T_c) = T_c \frac{\operatorname{sen}(\pi(f-f_1)T_c)}{\pi(f-f_1)T_c} \quad (4.17)
 \end{aligned}$$

Por otro lado, al obtener la transformada de Fourier para  $f(t)$  (para límites de integración de  $-\infty$  a  $\infty$ ) resulta que es  $\delta(f-f_1)$  [7] de modo que en la fig. 4.2 se muestran los resultados de las transformadas de Fourier, tanto para el límite de integración  $-T_c$  a  $T_c$  (finito) como de  $-\infty$  a  $\infty$ .

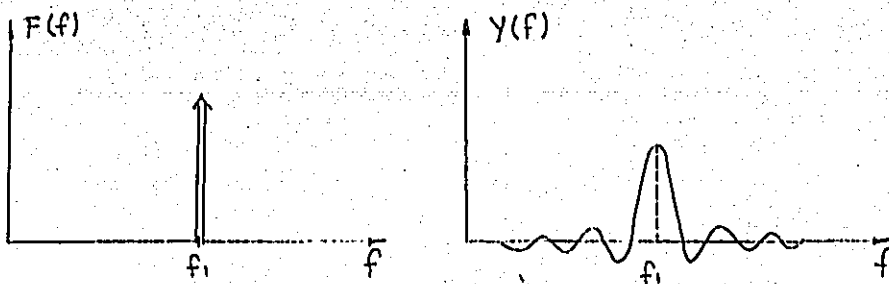


Fig. 4.2 Transformada de Fourier de  $f(t) = e^{j2\pi f_1 t}$  para límites de integración diferentes

La función  $\Theta$  que aparece en la ec. 4.17, se encuentra representada en la fig. 4.3, en la que se puede hacer notar que al multiplicarla por  $T_c$ , se obtiene sobre todo que el lóbulo de  $\Theta$  es más estrecho y muy alto conforme es mayor el valor de  $T_c$ , por lo que tiende a parecerse a la función impulso

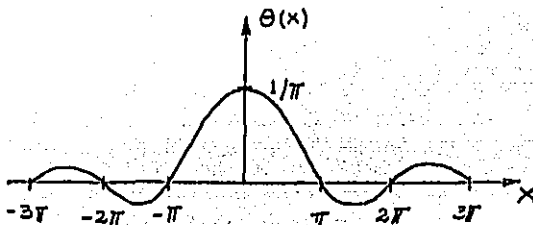


Fig. 4.3 Función  $\Theta(x) = \text{sen } x/x$

Debido a lo anterior, se puede afirmar, que por utilizar la función  $\Theta$  en lugar de  $\delta$ , la función ventana tiene el efecto de esparcir el resultado en el dominio de la frecuencia esto corresponde a una falta en la representación en la frecuencia de  $f(t)$ .

c) Intervalo de integración igual (o múltiplo) al periodo

Cuando el tiempo  $T$  que aparece en los límites de integración de la transformada de Fourier (ec. 3.16) es igual o múltiplo del periodo de la función  $f(t)$  por transformar resultan algunas simplificaciones en su cálculo, para ciertas funciones de  $f(t)$ ; algunas de ellas se indican a continuación.

1) Para obtener la transformada discreta de Fourier de la función  $f(t) = e^{j2\pi f_m t}$  cuando  $f_m = m/T$ , siendo  $m$  un número entero; se



propone la versión discreta de  $f(t)$  como  $f_n = e^{-j2\pi m/N}$  ya que  $T = N\Delta t$ .

De acuerdo a la ec. (3.34), la transformada discreta de Fourier es

$$F_k = \frac{T}{N} \sum_{n=0}^{N-1} (e^{j2\pi m/n}) e^{-j2\pi kn/N} \quad \text{par } k = 0, 1, 2, \dots, N-1$$

que también se puede escribir como

$$F_k = \frac{T}{N} \sum_{n=0}^{N-1} e^{-j2\pi n(k-m)/N}$$

Para el caso en el cual  $k = m$ , la exponencial es igual a la unidad y por lo tanto  $F_k = T$ . Para  $k \neq m$ , la suma es cero como puede verificarse para el caso particular en el que  $N = 8$ ,  $k = 1$  y  $N = 4$ . En la fig. 4.4, se ha representado en el plano de Argand a  $e^{-j2\pi n(k-m)/N}$  para  $n = 0, 1, \dots, N-1$ .

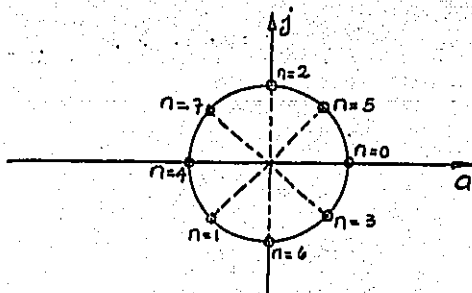


Fig. 4.4 Representación de  $e^{-j2\pi n(1-4)/8}$

En la figura anterior se aprecia que

$$\sum_{n=0}^7 e^{-j2\pi n(1-4)/8} = 0$$

En general se tiene que si  $m$  es un entero

$$\sum_{n=0}^{N-1} e^{-j2\pi n(k-m)/N} = \begin{cases} N & \text{si } k = m \\ 0 & \text{si } k \neq m \end{cases} \quad (4.18)$$

En la figura 4.5, se muestra la transformada discreta de Fourier de esta función  $f(t)$  la cual es equivalente al presentado en la figura 4.2a

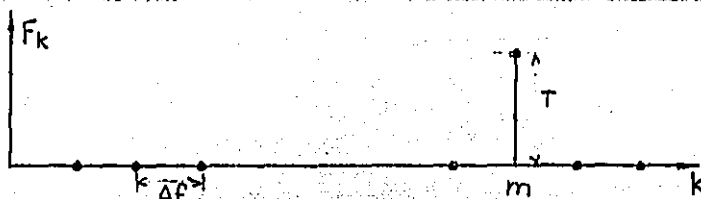


Fig. 4.5 Transformada discreta de Fourier de  $e^{j2\pi f m t}$

2) La transformada discreta de Fourier de  $f(t) = \text{sen}(2\pi f m t)$  siendo  $f m = m/T$  y  $m$  un entero, se puede deducir a partir del resultado del ejemplo anterior al considerar  $\text{sen}(2\pi f m t) = j/2 e^{-j2\pi f m t} - j/2 e^{j2\pi f m t}$  la cual resulta ser

$$S(f_k) = \begin{cases} \frac{jt}{2} & \text{si } k = -m \text{ o } k = N/2 - m \\ -\frac{jt}{2} & \text{si } k = m \\ 0 & \text{de otro modo} \end{cases}$$

En esas condiciones la función de densidad espectral (ec. 3.10) resulta ser

$$s(f_k) = \begin{cases} \frac{T}{4} & \text{si } k = -m \text{ o } k = N/2 - m \\ -\frac{T}{4} & \text{si } k = m \\ 0 & \text{de otro modo} \end{cases}$$

la cual se muestra en la figura 4.6

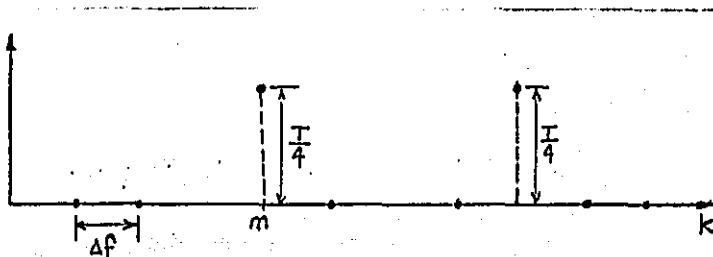


Fig. 4.6 Función de densidad espectral de  $\sin(2\pi f m t)$

#### d) Intervalo de integración diferente al periodo

Para el tiempo  $T$  de los límites de integración de la transformada de Fourier (ec. 3.18) no igual ni múltiplo del periodo de la función  $f(t)$  por transformar, no se cumple la ec. 4.18 y se tiene que para  $k = m$  esta suma es cercana a  $N$  y para no tan parecida a  $m$  es prácticamente cero.

Para la transformada discreta de Fourier de  $f(t) = e^{j2\pi f m t}$  cuando  $f m = m/T$  donde  $m$  no es un entero, para el caso  $N = 8$ ,  $k = 1$  y  $m = 1.5$ , se tiene al representar en el plano de Argand a  $e^{j2\pi n(k-m)/N}$ , para  $n = 0, 1, \dots, N-1$  que

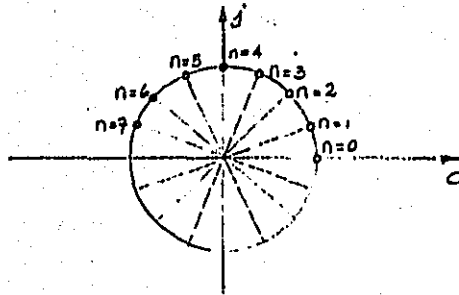


Fig. 4.7 Representación de  $e^{-j2\pi(1-1.5)/8}$

Se calculó la transformada de Fourier conjuntamente con su función de densidad espectral de  $f(t) = \text{sen}(2\pi f_m t)$  para dos casos; 1) tomando un intervalo de integración igual al periodo esto es  $T = 32$  seg.,  $N = 32$  y  $f_m = 1/8$  y 2) para un intervalo de integración diferente al periodo o sea para  $T = 32$  seg.,  $N = 32$  y  $f_m = 1/9.143$ .

Al comparar los resultados en los dos casos anteriores, se puede observar que para el segundo caso (intervalo de integración diferente al periodo) la transformada tiene valores diferentes de cero para toda  $k$  y que no coincide ninguna de las frecuencias discretas con la señal  $f_m = 1/9.143 = 0.109944$ . Los valores de la función de densidad espectral son grandes cerca de esta frecuencia.

Los resultados muestran que una pequeña diferencia entre el periodo de función y el tiempo  $T$  considerado en la transformada de Fourier da lugar a valores prácticamente en toda la frecuencia.

En la práctica es difícil que se conozca el periodo de la función de tiempo por transformar. Esto es, dado un registro de elevaciones de superficie libre, existe una diferencia entre el periodo de la función y el tiempo de longitud del registro.

Con el objeto de destacar los valores de la transformada discreta de Fourier cercanos a la frecuencia de la función del tiempo y disminuir aquellos valores distantes a tal frecuencia, es recomendable utilizar una función que multiplique a  $f(t)$  antes de efectuar la transformada discreta de Fourier. Esta función se conoce como función ventana o filtro.

Se probaron varias funciones ventana y se encontró que con la siguiente función se obtienen buenos resultados

$$h(t) = \begin{cases} \text{sen}(4\pi t/T) & \text{para } 0 \leq t \leq T/8 \\ 1 & \text{para } T/8 \leq t \leq 7/8 T \\ \text{sen}(4\pi/T(T-t)) & \text{para } 7/8 T \leq t \leq T \end{cases} \quad (4.19)$$

En la figura 4.9, se muestra la gráfica de esta función

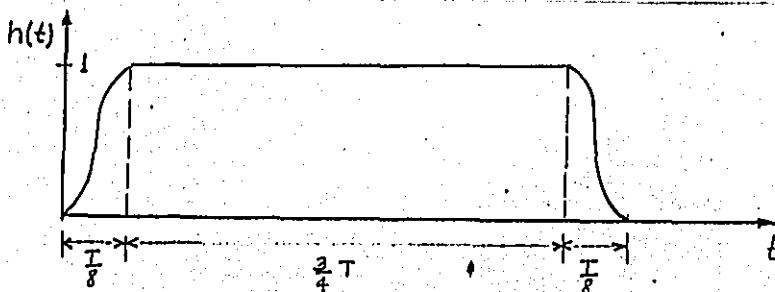


Fig. 4.9 Función ventana  $h(t)$

Como la variancia de la señal original  $f(t)$ , es alterada por multiplicarse por la función  $h(t)$ , a la función de densidad espectral se le afecta por el producto de la constante  $1/0.875$  para que, el área bajo la curva de esta función corresponda a la variancia de  $f(t)$ .

#### 4.5 Determinación de parámetros para la obtención de la función de densidad espectral ( $q$ , $T_e$ , $B_e$ , $e_r$ )

La definición de la función de densidad espectral considera que los límites de integración en la transformada de Fourier de la función de autocorrelación es de  $-\infty$  a  $\infty$ . Sin embargo, los registros de mediciones de cierto parámetro, por ejemplo, la elevación de la superficie libre del mar, tienen una longitud finita y al considerar esto en la integral de la transformada de Fourier da lugar a resultados diferentes.

Ahora bien considere que el registro descrito está dado en términos de la función  $f(t)$  tal que

$$f(t) \neq 0 \text{ para } |t| \leq T/2$$

$$f(t) = 0 \text{ para } |t| > T/2$$

donde  $T$  es la duración total del registro (longitud finita).

En estas condiciones la ec. (4.10) resulta ser

$$\hat{S}(f) = \frac{1}{T} \overset{\approx}{F}(f) F(f) \quad (4.20)$$

la testa  $\wedge$  indica que  $f(t)$  no tiene duración infinita

Por otro lado para la función  $f(t)$  se tiene que

$$F(f) = \int_{-\infty}^{\infty} f(t) e^{-j2\pi ft} dt = \int_{-T/2}^{T/2} f(t) e^{-j2\pi ft} dt \quad (4.21)$$

y por la ec. (4.9), se tiene

$$\overset{\approx}{F}(f) = \int_{-\infty}^{\infty} f(t) e^{j2\pi ft} dt = \int_{-T/2}^{T/2} f(t) e^{j2\pi ft} dt \quad (4.22)$$

por lo que al sustituir las ecs. (4.21) y (4.22) en la (4.20)

$$\hat{S}(f) = \frac{1}{T} \int_{-T/2}^{T/2} f(t) e^{-j2\pi ft} dt \int_{-T/2}^{T/2} f(t) e^{j2\pi ft} dt \quad (4.23)$$

Esto cambia los límites de integración como se muestra en la fig.

4.10.

Para obtener el área de la región de interés, se propone dividir el área de la región  $(\alpha, \tau)$  en las partes abajo y arriba del eje horizontal, por lo que

$$\int_{-T/2}^{T/2} \int_{-T/2}^{T/2} d\alpha d\beta = \int_{-T}^0 \int_{-\frac{T}{2}}^{T/2} d\alpha d\tau + \int_{-T}^0 \int_{\frac{T}{2}}^{T-T} d\alpha d\beta \quad (4.24)$$

Con base en la ecuación anterior la ec. (4.23) se escribe como

$$\begin{aligned} \widehat{S}(f) = & \int_{-T}^0 \frac{1}{T} \int_{-\frac{T}{2}}^{\frac{T}{2}} \left[ f(\alpha) f(\alpha+\tau) d\alpha \right] e^{-j2\pi f t} d\tau + \\ & + \int_0^T \frac{1}{T} \int_{-\frac{T}{2}}^{\frac{T}{2}} \left[ f(\alpha) f(\alpha+\tau) d\alpha \right] e^{-j2\pi f t} d\tau \end{aligned} \quad (4.25)$$

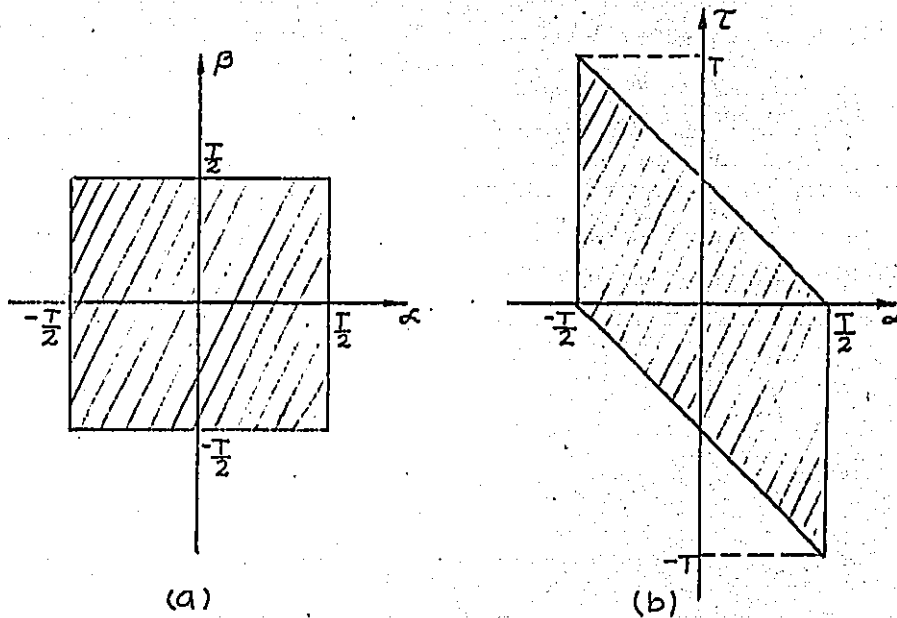


FIG. 4. Regiones de integración

Por definición la función de autocorrelación  $R(\tau)$  esta dada por el valor esperado

$$R(\tau) = E [f(\alpha) f(\alpha+\tau)]. \quad (4.26)$$

Al tomar el valor esperado en ambos miembros de la ec. (4.25) y dado que este operador puede entrar a la integral sin alterar la igualdad, se tiene



$$E[\hat{S}(f)] = \int_{-T}^0 \frac{1}{T} \int_{-\frac{T}{2}-\tau}^{\frac{T}{2}} E[f(\alpha) f(\alpha+\beta)] d\alpha e^{-j2\pi f\tau} d\tau + \int_0^T \frac{1}{T} \int_{\frac{T}{2}-\tau}^{\frac{T}{2}} E[f(\alpha) f(\alpha+\tau)] d\alpha e^{-j2\pi f\tau} d\tau \quad (4.27)$$

O sea al sustituir la ec. (4.26)

$$E[\hat{S}(f)] = \int_{-T}^0 \frac{1}{T} \int_{-\frac{T}{2}-\tau}^{\frac{T}{2}} R(\tau) e^{-j2\pi f\tau} d\tau + \int_0^T \frac{1}{T} \int_{\frac{T}{2}-\tau}^{\frac{T}{2}} R(\tau) d\alpha e^{-j2\pi f\tau} d\tau \quad (4.28)$$

Como  $R(\tau)$  no cambia respecto a  $\alpha$ , al integrar respecto a  $\alpha$

$$E[\hat{S}(f)] = \int_{-T}^0 R(\tau) (1+\tau/T) e^{-j2\pi f\tau} d\tau + \int_0^T R(\tau) (1+\tau/T) e^{-2\pi f\tau} d\tau$$

$$E[\hat{S}(f)] = \int_{-T}^T (1 - \frac{|\tau|}{T}) R(\tau) e^{-j2\pi f\tau} d\tau \quad (4.29)$$

En el límite cuando  $T$  tiende a infinito, se sigue que

$$\lim_{T \rightarrow \infty} E[\hat{S}(f)] = \int_{-\infty}^{\infty} R(\tau) e^{-j2\pi f\tau} d\tau \quad (4.30)$$

El segundo miembro de la ec. corresponde a la función de densidad espectral, por lo que

$$\lim_{T \rightarrow \infty} E[\hat{S}(f)] = s(f) \quad (4.31)$$

considerar que el tiempo  $T$  es grande

$$E[\hat{S}(f)] = s(f) \quad (4.32)$$

y al tomar en cuenta la ec. (4.20).

$$E \left[ \frac{1}{T} \tilde{F}(f) F(f) \right] = s(f) \quad (4.33)$$

De la ec. anterior se afirma que para conocer la función de densidad espectral  $s(f)$ , se requiere calcular el promedio de  $1/T \tilde{F}(f) F(f)$ . En la ref. 14, se muestra que  $\hat{s}(f)$  es un estimador sesgado de  $s(f)$  por lo que para calcular  $s(f)$  se debe utilizar la ec. (4.33).

Para utilizar la ec. (4.33), se recomiendan dos procedimientos equivalentes que implican un promedio, a saber

a) Promedio de varias funciones de densidad espectral

Este proceso consiste en dividir el tiempo  $T$  que dura la función del tiempo (registro) en  $q$  intervalos de tiempo de duración  $T_q$ , por lo que

$$T = q T_q \quad (4.34)$$

A partir de  $f(t)$  en cada intervalo de tiempo  $T_q$ , se calcula  $\hat{s}(f)$  (fig.4.11) y luego para cada frecuencia  $f$  se toma el promedio de los valores de  $\hat{s}(f)$ , es decir

$$s(f) = \frac{1}{q} \left[ \hat{s}_1(f) + \hat{s}_2(f) + \dots + \hat{s}_q(f) \right] \quad (4.35)$$

donde  $\hat{S}_i(f)$  corresponde a la función de densidad espectral del intervalo de tiempo  $T_{e_i}$  de  $f(t)$

Como en el cálculo de  $\hat{S}(f)$ , se toma al tiempo de registro a  $T_e$ , esto significa que las frecuencias en  $s(f)$  estarán espaciadas en  $B_e$  donde

$$B_e = \frac{1}{T_e} \quad (4.36)$$

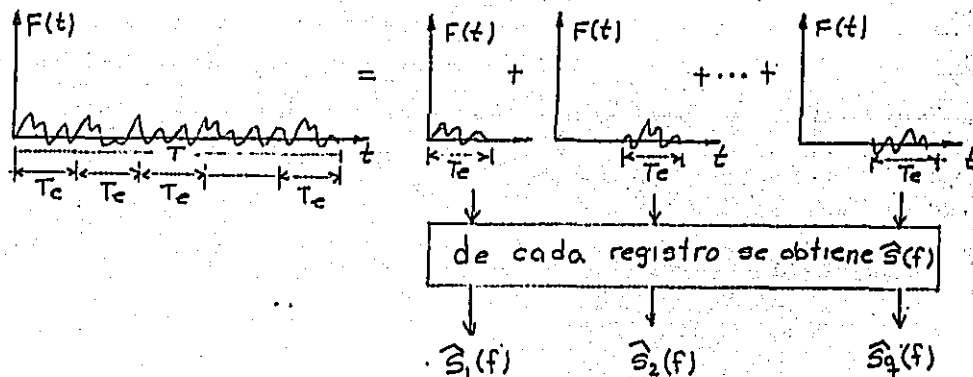


Fig. 4.11 Registro dividido en  $q$  intervalos de duración  $T_e$

a) Promedio de ordenadas de una función de densidad espectral muestral

El otro camino para calcular  $s(f)$ , se basa en obtener  $\hat{S}(f)$  para todo el registro de  $f(t)$ , es decir, sin dividir el registro en  $q$  partes

Una vez conocida  $\hat{s}(f)$ , se promedian sus ordenadas asociada a varias frecuencias, y se escoge el promedio como el valor de  $s(f)$  para las frecuencias involucradas. En este caso se establece que al juntar  $q$  ordenadas de  $\hat{s}(f)$  el espaciamiento de frecuencia en  $s(f)$  es  $q$  veces el de  $\hat{s}(f)$  e igual a  $1/T$ ; de modo que para  $s(f)$ , se tiene

$$\Delta f = \frac{q}{T} = B. \quad (4.37)$$

nótese que es igual a la ec. (4.36) por lo que se puede decir

$$s(f_c) = \frac{1}{q} \left[ \hat{s}(f) + \hat{s}(f+1/T) + \hat{s}(f+2/T) + \dots + \hat{s}(f+\frac{q-1}{T}) \right] \quad (4.38)$$

$$\text{donde } f_c = \frac{f + (f+q-1)/T}{2} = f + \frac{q-1}{2T} \quad (4.39)$$

En la fig. 4.12, se muestra este proceso

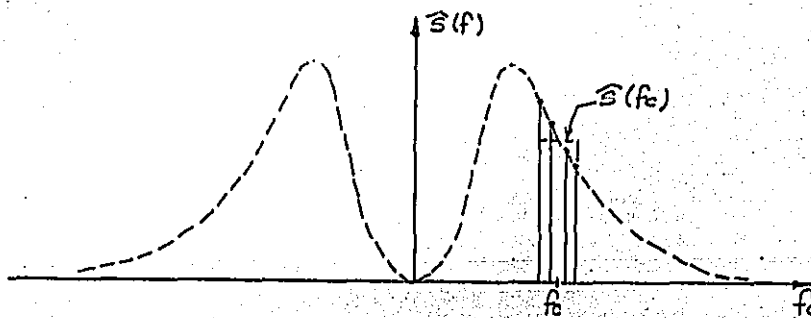


Fig. 4.12 Promedio de ordenadas en una función de densidad espectral muestral

De una manera similar a lo que sucede entre la variancia poblacional ( $\sigma_x^2$ ) y la muestral ( $s_x^2$ ) que están relacionadas con

una  $\chi^2$  de  $N-1$  grados de libertad (inciso 2.2.3) mediante

$$\frac{n s^2}{\sigma_x^2} = \chi_n^2 \quad (4.40)$$

siendo  $n = N-1$

Se tiene una asociación entre  $s(f)$  y  $\hat{s}(f)$ , toda vez que al considerar  $s(f) \Delta f = \sigma_x^2$  y  $\hat{s}(f) \Delta f = s_x^2$ , se encuentra

$$\frac{n \hat{s}(f)}{s(f)} = \chi_n \quad (4.41)$$

Cuando no se considera el promedio de  $\hat{s}(f)$  comentado en los incisos a) y b), se tiene que  $n = 2$  apoyándose en que  $\hat{s}(f) = 1/T \{R_m(F(f)^2) + 1/T I_m(F(f)^2)\}$  porque son dos sumandos. En estas condiciones

$$\frac{\hat{s}(f)}{s(f)} = \frac{\chi_2^2}{2} \quad (4.42)$$

se llama error normal estándar  $\epsilon_r$ , a la desviación estándar de  $\hat{s}(f)$  entre  $s(f)$ , es decir

$$\epsilon_r = \frac{\sigma[\hat{s}(f)]}{s(f)} \quad (4.43)$$

y se considera igual a  $\sqrt{\frac{2n}{n}}$ , por lo que

$$\epsilon_r = \frac{\sigma[\hat{s}(f)]}{s(f)} = \sqrt{\frac{2n}{n}} \quad (4.44)$$

Si no se toma en cuenta el promedio de  $\hat{s}(f)$ ,  $n = 2$  y por lo tanto

$\epsilon_r = 1$ , queriendo esto decir que el cambio aceptable en la cantidad estimada es igual a esta cantidad, lo cual no se puede aceptar. Por ello es conveniente tomar el promedio para que  $n$  sea mayor a 2 y se reduzca el error.

Usando la ec. (4.44), el error normal estándar es

$$\epsilon_r = \frac{1}{\sqrt{B_0 T}} \quad (4.45)$$

siendo  $n = 2B_0 T$

Cuando se toma en cuenta el promedio resulta

$$\frac{\widehat{S}(f)}{S(f)} = \frac{\chi_n}{n} \quad (4.46)$$

$$\text{donde } n = 2q = 2B_0 T \quad (4.47)$$

Así las cosas, la distribución muestral de  $\widehat{S}(f)$  promedio es apróximadamente  $\chi^2$  con  $n = 2B_0 T$  grados de libertad.

El intervalo de confianza  $1-\alpha$  para la función de densidad espectral  $s(f)$  está basado en la estimación de  $\widehat{S}(f)$  medidas con frecuencias espaciadas en  $B_0$  y longitud de registro  $T$ , resulta ser

$$\frac{n \widehat{S}(f)}{\chi_{n;\alpha/2}^2} \leq s(f) \leq \frac{n \widehat{S}(f)}{\chi_{n;1-\alpha/2}^2} \quad (4.48)$$

con  $n = 2B_0 T$

Se recomienda que el número de valores discretos de la función por transformar, al utilizar el algoritmo de la transformada rápida de Fourier, se requiere que  $N$  sea un número igual a una potencia entera de 2, es decir  $N = 2^Y$  donde  $Y$  es un número entero positivo

Cuando se dispone de menos datos que  $N$ , se recomienda agregar ceros del orden de un 10 %, sin alterar sustancialmente los resultados

#### 4.6 Estimación de la función de densidad espectral

Con base en los distintos aspectos que se han considerado respecto a la transformada de Fourier discreta, intervalos de estimación, estimadores, alisamiento y error normal estándar para obtener la función de densidad espectral, es conveniente en su estimación definir  $\Delta t$  y  $T$ .

##### selección de $\Delta t$ y $T$

Para evitar el alisamiento (inciso 4.4)  $\Delta t$  es fijado de manera que

$$\Delta t \leq \frac{1}{2f_m} \quad (4.49)$$

donde  $f_m$  es la frecuencia más grande hasta donde interesa calcular  $S(f)$ .

En algunos casos, las frecuencias no deseadas de una señal  $f(t)$ , pueden ser eliminadas con un filtro antes de ser registradas. Si

un registro con frecuencia de corte  $f_c$  es usado, es recomendable que el intervalo de tiempo de muestreo sea igual a

$$\Delta t \leq \frac{1}{4f_c} \quad (4.50)$$

o al menos

$$\Delta t = \frac{1}{2f_c} \quad (4.51)$$

Por otra parte, con base en el error normal estándar que se desea admitir, se encuentra  $T$ . Usualmente errores  $\epsilon$  entre 0.01 y 0.1, son considerados como adecuados. por ello, de la ec. (4.34) y (4.45)

$$q = \frac{1}{\sqrt{\epsilon}} \quad (4.52)$$

De la ec. (4.34) y (4.36)

$$T = T_c q = \frac{q}{B_e} \quad (4.52)$$

$B_e$ , es el intervalo de frecuencia en la función de densidad espectral.

$B_e$ , se selecciona a partir de la importancia de la función de densidad espectral y el grado de precisión deseados en ella.

Con  $B_e$  se encuentra  $T_e$ .

Una vez que se define  $\Delta t$  y  $T_e$ , se puede seguir cualquiera de los



dos procedimientos que se describen a continuación, para estimar la función de densidad espectral.

a) Procedimiento basado en varios registros de duración  $T_m$

Para obtener la función de densidad espectral  $s(f)$  a partir de varios registros de duración  $T_m$ , primeramente se ajusta el valor de  $\Delta t$  o  $N$  para que

$$T_m = N \Delta t \quad (4.53)$$

donde  $N = 2^Y$  siendo  $Y$  un entero positivo

Para cada registro de duración  $T_m$ , se siguen estos pasos

a.1) Multiplicar  $f_i(t)$  por una función ventana

Los valores discretos de  $f_i(t)$ , se multiplican por una función ventana  $h(t)$  para que resalten las ordenadas de  $s(f)$ , para las frecuencias importantes (inciso 4.4),  $y(t) = f_i(t) h(t)$ .

a.2) Obtener la transformada de Fourier discreta  $y(t)$ .

Es recomendable utilizar la transformada rápida de Fourier, para obtener  $y(f_k)$ , donde  $f_k = k/T_m$ .

a.3) Obtener  $\hat{s}_i(f_k)$

Se calcula  $\hat{S}_1(f_k) = 1/T \bar{Y}_k Y_k$ .

a.4) Se ajusta  $\hat{S}_1(f_k)$

Para reducir la alteración en la variancia de  $f(t)$  por usar la función ventana, se considera

$$\hat{S}_i(f_k) = F \hat{S}'_i(f_k)$$

donde  $F$ , es un factor correctivo.

En caso de usar la ec. (4.19),  $F$  es igual a  $1/0.875$ .

a.5) Calcular  $s(f)$

Los pasos 1 a 4 se aplican a cada secuencia  $f_i(t)$ , ( $i = 1, 2, \dots, q$ ) y posteriormente se obtiene.

$$s(f_k) = \frac{1}{q} \left[ \hat{S}_1(f_k) + \hat{S}_2(f_k) + \dots + \hat{S}_q(f_k) \right]$$

donde  $f_k = \frac{k}{T_e}$  ;  $k = 0, 1, \dots, N-1$  .

b) Procedimiento basado en un registro de duración  $T$

La función de densidad espectral es obtenida a partir de la transformada de Fourier de todo el registro de  $f(t)$ , sin necesidad de separarlo en varios registros.

En este caso para calcular  $s(f)$ , se siguen los siguientes pasos

b.1) Multiplicar  $f(t)$  por una función ventana

Los valores discretos de  $f(t)$ , se multiplican por  $h(t)$  por las razones discutidas en el inciso 4.4. Así se encuentra

$$y(t) = f(t) h(t)$$

b.2) Calcular la transformada de Fourier discreta  $Y(f_k)$

Se obtiene la transformada de Fourier discreta de  $y(t)$  la cual es  $Y(f_k)$ , donde  $f_k = k/T$ . Es aconsejable utilizar la transformada rápida de Fourier.

b.3) Obtener  $\hat{S}(f)$

Se determina  $\hat{S}(f_k) = 1/T \sum_{k=-\infty}^{\infty} Y_k$

b.4) Se ajusta  $\hat{S}(f_k)$  como

$$\hat{S}(f_k) = F \hat{S}'(f_k)$$

donde  $F$  es un factor para que la variancia del registro  $f(t)$  no se altere. Para la ec. (4.19)  $F = 1/0.875$

b.5) Se obtiene  $s(f)$  a partir de  $\hat{S}(f)$

ESTA TESIS NO DEBE  
SALIR DE LA BIBLIOTECA

Se utiliza la ec. (4.38), es decir

$$s(f) = s\left(f_k + \frac{q-1}{2T}\right) = \frac{1}{q} \left[ \hat{s}(f_k) + \hat{s}\left(f_k + \frac{1}{T}\right) + \hat{s}\left(f_k + \frac{2}{T}\right) + \dots + \hat{s}\left(f_k + \frac{q-1}{T}\right) \right] \quad \text{para } k = 0, q, 2q, \dots, N-1$$

#### 4.7 Características de la función de densidad

El área bajo el espectro es igual a la variancia

Al comparar la ec. (4.1) y (4.3) con la (2.42), se encuentra que cuando la media  $\bar{x}$  es nula la correlación de orden cero de  $f(t)$  (ec. 2.35), es igual a la variancia, es decir

$$\bar{\sigma}_x^2 = \int_{-\infty}^{\infty} s(f) df \quad (4.54)$$

Esto significa que el área bajo el espectro es igual a la variancia.

#### Espectro de uno y dos lados

El espectro tal y como se ha definido, resulta de los valores que se dibujan de  $s(f)$  contra  $f$  de tal manera que se obtiene una curva simétrica lo cual se puede decir que se tiene un espectro de dos lados (fig. 4.13), por tanto se escribe

$$s(f) = s(-f) \quad (4.55)$$

de manera que al dibujar  $\theta(f) = 2s(f)$ , se obtiene el espectro de

un solo lado

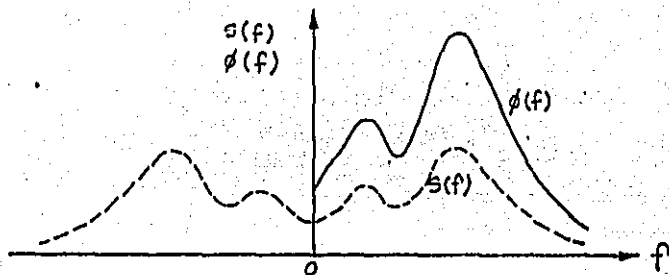


Fig. 4.13 Función de densidad espectral de uno y dos lados

#### Parámetro ancho de banda espectral

La apariencia del perfil de las elevaciones de la superficie libre del mar, esta relacionado con la forma que tiene el espectro. Cuando el perfil tiene muy pocos mínimos positivos o máximos negativos (ver fig. 5.9), es parecido a una onda senoidal modulada, el espectro es alargado y angosto, concentrándose su área (energía) en un intervalo de frecuencia corto, se dice en este caso que se trata de un espectro de banda angosta (fig. 4.14a)). Del mismo modo cuando el registro posee una gran cantidad de mínimos positivos o máximos negativos, su espectro se extiende sobre un intervalo de frecuencia grande con una ordenada menor. En este caso se dice que se trata de un espectro de banda ancha (fig. 4.14b).

Para estimar que tan ancho o que tan angosto es el espectro, se

utiliza el parámetro llamado "ancho de banda espectral".

$$\epsilon^2 = 1 - \frac{m_2}{m_0 m_4} \quad (4.56)$$

donde

$$m_n = \int_0^{\infty} f^n \phi(f) df \quad (4.57)$$

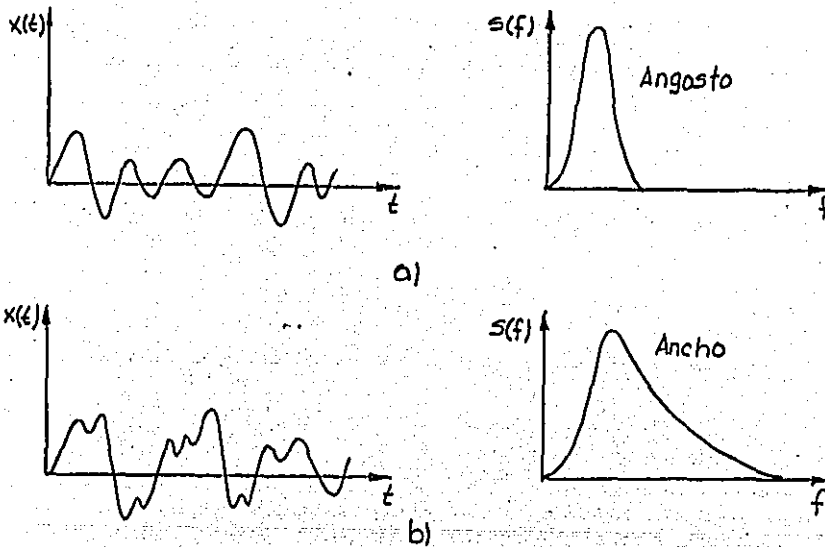


Fig. 4.14 Registro de elevaciones de la superficie libre del mar y su espectro correspondiente

siendo  $\phi(f)$  la función de densidad espectral de las elevaciones de la superficie libre (de un solo lado), es decir  $\phi(f) = 2 s(f)$  para  $f \geq 0$ .

Cuando  $\epsilon$  es cercano a cero se tiene un espectro de banda angosto y

si es próximo a uno el espectro es de banda ancha.

Cartwright y Longuet-Higgins [6], mediante un argumento geométrico encontraron una relación entre  $\epsilon$  y el número de máximos positivos y negativos. Por medio de ellos se puede estimar el parámetro  $\epsilon$  sin conocer el espectro, es decir se tiene que

$$\epsilon^2 = 1 - (1 - 2r)^2 \quad (4.58)$$

donde

$$r = \frac{1}{2} \left[ 1 - \frac{NMP - NMN}{NMP + NMN} \right] \quad (4.59)$$

siendo

NMP número de máximos positivos en el registro

NMN número de máximos negativos en el registro

De esta manera, por medio de las ecuaciones (4.58) y (4.59) contando en el registro a los máximos positivos (NMP) y máximos negativos (NMN), se calcula  $\epsilon$ . La variable  $r$  se conoce como "proporción de máximos negativos".

## 5. OLEAJE

### 5.1. Introducción

Las olas se generan por la transferencia de energía del movimiento del aire a la superficie del agua, además de la variación en el nivel del agua por la diferencia de presión del aire en movimiento, el esfuerzo tangencial entre el viento y el agua permite que gran parte de la energía sea transmitida al agua. El lugar donde ocurre esta transferencia se llama "zona de generación" del oleaje (sea) y en ella, la configuración de las olas es irregular. Después, el oleaje engendrado puede viajar grandes distancias, a lo largo de la cual tiende a hacerse regular, disminuye la altura de las olas y se incrementa su periodo. El tramo donde esto ocurre se llama zona de propagación o "decaimiento" (swell). Finalmente, en la cercanía de la costa las olas sufren transformaciones por la presencia de obstáculos, y/o fondo del mar, disipando su energía, llamándose "zona de rompiente" al lugar donde esto sucede. La fig. 5.1 muestra un croquis indicando desde la zona de generación de la ola hasta donde rompe.



Deben distinguirse dos tipos de olas producidas por el viento y generadas mar adentro. El primero está formado por las olas "ordinarias", que son las que ocurren en un sitio a lo largo del año y son más o menos persistentes, variando su dirección, altura y periodo. El segundo tipo está constituido por las olas "extraordinarias", que en México, generalmente, son producidas por ciclones. Estas olas duran relativamente poco, pero tienen una energía muy superior al de las olas ordinarias, y son por tanto mucho más destructivas.

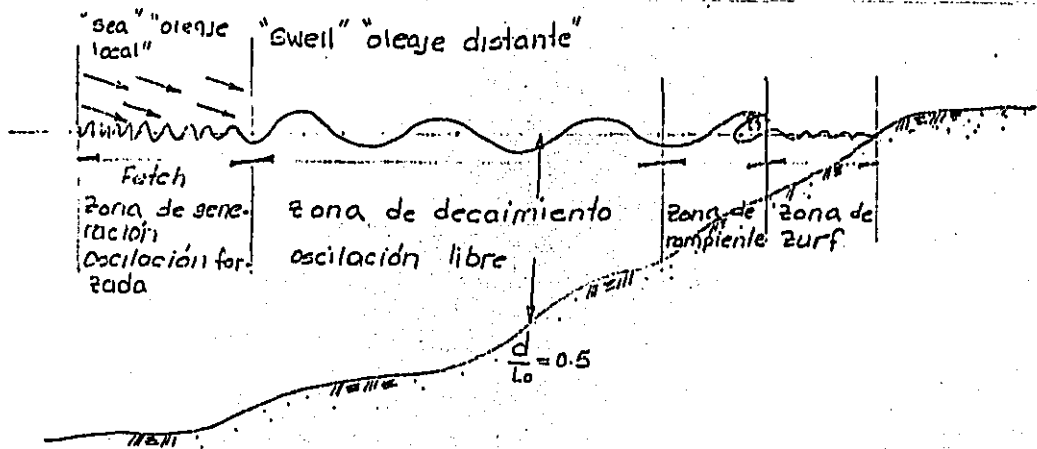


Fig. 5.1 Esquema general del oleaje por viento

En este trabajo solo se tratará el estudio del oleaje ordinario a menos que se especifique lo contrario.

Como a menudo se hará mención de algunos conceptos y vocablos

propios del lenguaje marítimo es conveniente que se den algunas definiciones las cuales se describen a continuación.

## 5.2 Características más importantes de una ola

Se conoce como oleaje al movimiento alternativo de ascenso y descenso de la superficie del mar. La figura 5.2 muestra una ola y sus características más comúnmente usadas.

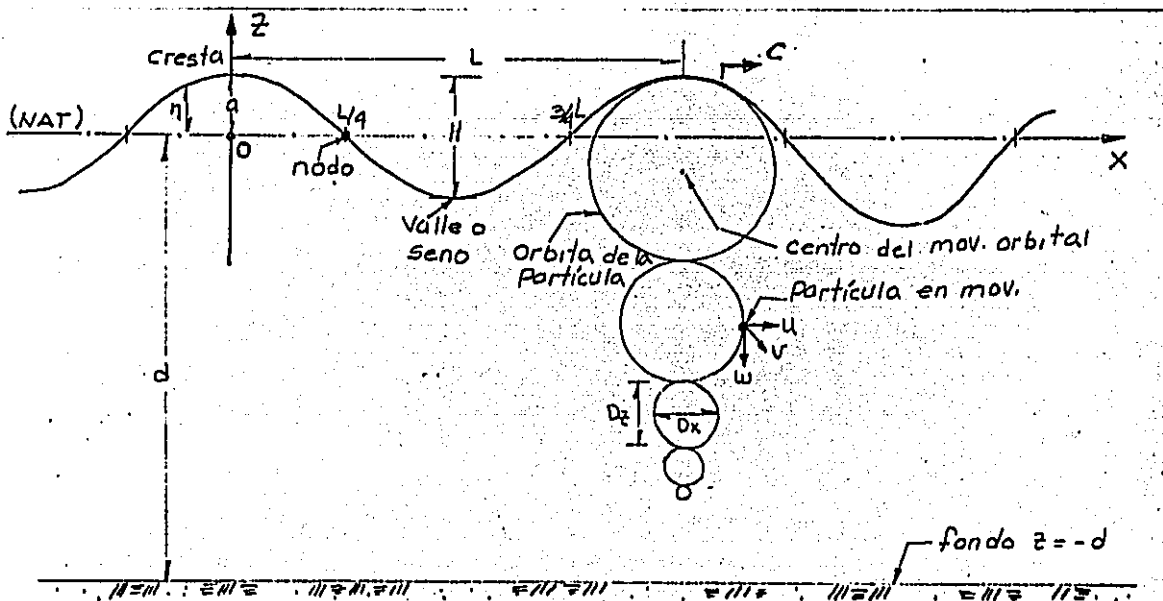


Fig. 5.2 Representación esquemática de una ola

Con referencia a la fig. 5.2 se presentan algunas definiciones de las características de una ola.

**Cresta.**— Punto donde el perfil de la ola tiene la mayor altura.

Valle.- Punto donde el perfil de la ola tiene el nivel más bajo.

Altura de la ola (H).- Distancia vertical medida entre una cresta y un valle.

Amplitud de la ola (a).- Distancia vertical entre la cresta y el nivel de aguas tranquilas.

Nivel de aguas tranquilas (N.A.T.).- Nivel del agua en ausencia del oleaje.

Elevación de la superficie libre ( $\eta$ ).- Es la distancia vertical a cualquier punto de la superficie libre medida a partir de N.A.T. .

Periodo (T).- Es el tiempo que transcurre para que pasen dos crestas o dos valles consecutivos por un mismo punto.

Longitud (L).- Es la distancia horizontal que existe entre dos crestas o dos valles consecutivos.

Celeridad (c).- Velocidad de desplazamiento de la ola a través de la superficie del líquido. Es igual al cociente de la longitud entre el periodo ( $C = L/T$ ).

Frecuencia angular ( $\sigma$ ).- Es el recíproco del periodo multiplicado por dos veces  $\pi$ .

Frecuencia cíclica ( $f$ ).- Es el recíproco del periodo; es el número de olas que pasan por un punto fijo por unidad de tiempo.

Número de ola ( $k$ ).- Es el recíproco de la longitud multiplicado por dos veces  $\pi$ .

Profundidad del agua ( $d$ ).- Es la distancia vertical entre el fondo del mar y el N.A.T. (en el fondo,  $z = -d$ ).

Orbita de la partícula .- Es la trayectoria que describe una partícula de agua con el oleaje.

Velocidad orbital de las partículas ( $v$ ).- Desplazamiento de las partículas respecto al centro de su movimiento orbital.

### 5.3 Teorías del oleaje

Para obtener las características del oleaje, no se dispone de una solución matemática única sino que se han elaborado diversas teorías que permiten obtener respuestas adecuadas dentro de rangos acotados de aplicación entre las que se pueden mencionar la teoría lineal de Airy (1845) sobre ondas de pequeña amplitud y la de Stokes (1847) que se refiere a ondas de amplitud finita.

#### 5.3.1 Teoría lineal del oleaje

Esta teoría considera que en la ecuación de Bernoulli, el término

de la carga de velocidad es despreciable, la pendiente de la superficie del agua es muy pequeña y que la amplitud es mucho menor que la longitud de ola y su profundidad. Desarrollada inicialmente por Airy en 1845, esta teoría también se conoce como teoría de Airy, teoría de olas de pequeña amplitud o primera aproximación.

La teoría lineal es de gran utilidad, tanto porque su exactitud es adecuada para muchos problemas de ingeniería, como porque es fácil de aplicar.

Las olas que resultan de la teoría lineal son olas cuyas fases se presentan alternativamente en un mismo sitio sin que exista ningún transporte de masa con la ola. Esto es las partículas de agua no viajan con la ola, pero tienden a oscilar respecto a una posición media cuando la ola pasa por ella, resultando con esto movimientos orbitales cerrados.

Se presentan a continuación las expresiones que permiten obtener las características del oleaje según la teoría lineal, la demostración de estas se puede ver en la Ref.20, dejando para el lector interesado su estudio.

a).- Período de la ola,  $T$ .

El período de la ola permanece constante al trasladarse ésta a otras profundidades.

b).- Longitud de la ola, L.

Esta dada por la relación

$$L = \frac{g T^2}{2\pi} \tanh (2\pi d/L) \quad (5.1)$$

c).- Celeridad de la ola, C

La velocidad con que se traslada la ola se obtiene de

$$C = \frac{L}{T} = \left[ \frac{gL}{2\pi} \tanh (2\pi d/L) \right]^{1/2} = \frac{gT}{2\pi} \tanh (kd) \quad (5.2)$$

donde k se conoce como el número de ola y es igual a  $2\pi/L$ .

d).- Perfil de la superficie libre,

Una ecuación simple para representar el oleaje pprogresivo (cuando la cresta se desplaza horizontalmente) como el mostrado en la fig. 5.1 es mediante la ecuación

$$\eta = a \cos (kx - \sigma t) \quad (5.3)$$

donde  $\sigma$ , se conoce como la frecuencia angular del oleaje y es igual a  $(2\pi/T)$ .

e).- Velocidades orbitales de las partículas (v).

Las componentes horizontal y vertical de la velocidad de las partículas de agua,  $u$  y  $w$ , (ver fig. 5.1) son

$$u = \frac{kga}{\sigma} \frac{\cosh k(z+d)}{\cosh kd} \cos(kx - \sigma t) \quad (5.4)$$

$$w = \frac{kga}{\sigma} \frac{\sinh k(z+d)}{\cosh kd} \sin(kx - \sigma t) \quad (5.5)$$

f).- Aceleraciones de las partículas en sus movimientos orbitales

$$a_x = \frac{\partial u}{\partial t} = (kga) \frac{\cosh k(z+d)}{\cosh kd} \sin(kx - \sigma t) \quad (5.6)$$

$$a_z = \frac{\partial w}{\partial t} = -kga \frac{\sinh k(z+d)}{\cosh kd} \cos(kx - \sigma t) \quad (5.7)$$

g).- Desplazamiento de las partículas respecto al centro de sus movimientos orbitales.

De un modo general, dichos desplazamientos se pueden esquematizar de la siguiente manera:

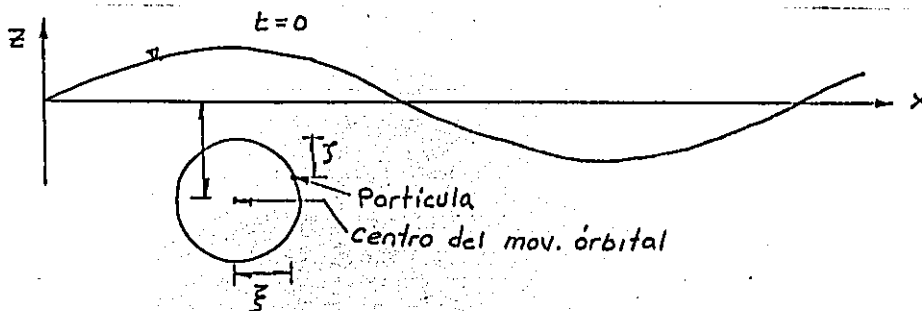


Fig. 5.3 Desplazamiento horizontal y vertical de la partícula

$\xi$  , desplazamiento horizontal

$\zeta$  , desplazamiento vertical

y están dados por

$$\xi = \int u dt = -a \frac{\cosh k(z+d)}{\cosh kd} \sin (kx - \sigma t) \quad (5.8)$$

$$\zeta = \int w dt = a \frac{\sinh k(z+d)}{\sinh kd} \cos (kx - \sigma t) \quad (5.9)$$

h).- Presión abajo de la superficie libre.

La presión está dada por

$$P = -\gamma z + \gamma a k \cos (kx - \sigma t) \quad (5.10)$$

siendo k el factor de respuesta de presión dado por

$$K = \frac{\cosh k(z+d)}{\cosh kd} \quad (5.11)$$

Gráficamente, al inspeccionar las ecuaciones anteriores, se obtiene la siguiente distribución de presión



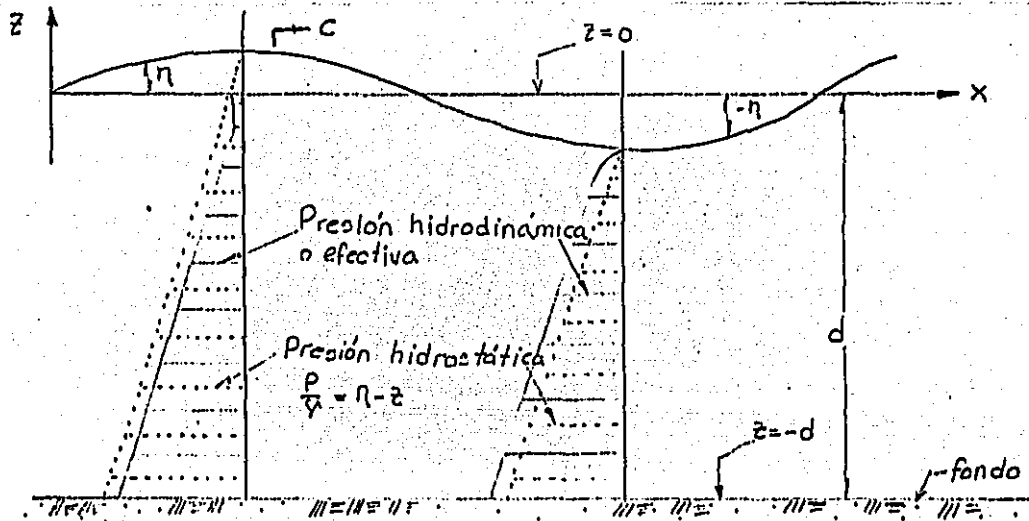


Fig. 5.4 Distribución de presiones bajo la ola

i).- Energía y potencia del oleaje.

La energía cinética (por unidad de longitud), resultado del movimiento de las partículas de fluido por efecto del oleaje es

$$E_c = \frac{\gamma a^2 L}{4} \quad (5.12)$$

La energía potencial (por unidad de longitud de cresta), debida a la diferencia de elevaciones de la superficie del agua es

$$E_p = \frac{\gamma a^2 L}{4} \quad (5.13)$$

La energía del oleaje (por unidad de longitud de cresta), es igual a la suma de la energía cinética y potencial, de modo que

$$E_T = E_c + E_p = \frac{\gamma a^2 L}{B} \quad (5.14)$$

La razón por la cual la energía es transmitida en la dirección de propagación del oleaje a través de un plano vertical, es la potencia del oleaje, la cual resulta ser

$$p = \frac{\gamma a^2 L \cos^2 (kx - \sigma t)}{2\sigma \cosh^2 kd} \left( kd + \frac{\sinh 2kd}{2} \right) \quad (5.15)$$

La potencia promedio (temporal) durante un periodo es

$$\bar{p} = \frac{1}{T} \int_0^T p \, dt = \frac{n E_T}{T} \quad (5.16)$$

$$\text{donde } n = \frac{1}{2} \left( 1 + \frac{2kd}{\sinh 2kd} \right) \quad (5.17)$$

j).- Velocidad de grupo.

Cuando dos o más olas de periodo o longitud similares se suman, dan lugar a un conjunto de olas tales que sus amplitudes entre olas consecutivas disminuyen y aumentan desde un máximo hasta un mínimo, dando con ello una apariencia de grupos o trenes de olas (Fig. 5.5)

La velocidad con que se desplaza el centroide del grupo o bien la envolvente del tren de olas se conoce como velocidad de grupo. La velocidad de grupo es menor o igual a la celeridad de las olas que forman el grupo. En la Ref. 20 se demuestra que la velocidad de grupo está dada por

$$c_g = cn \quad (5.18)$$

$$\text{donde } n = \frac{1}{2} \frac{2kd}{2 \operatorname{senh} 2kd} \quad (5.19)$$

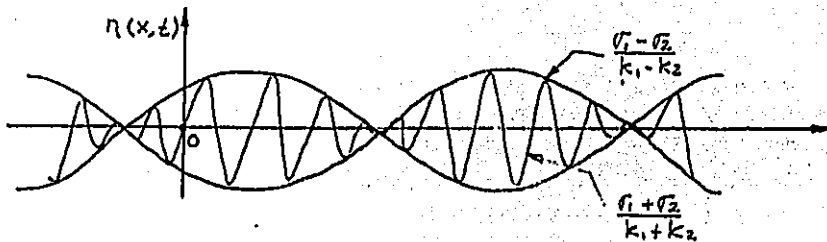


Fig. 5.5 Suma de dos olas senoidales de igual amplitud

Las expresiones indicadas anteriormente son de caracter general y sirven tanto en aguas profundas, como en intermedias y someras; sin embargo, en aguas profundas y someras, las funciones hiperbolicas alcanzan valores límites lo que permite expresar las ecuaciones generales en forma más simple

#### Aguas profundas

Se cumple para esta condición que  $(d/L) > 0.5$ . Por tanto  $\operatorname{senh}(kd) \approx \cosh(kd)$ ,  $\tanh(kd) = 1$ ;  $\operatorname{senh}(kd) = (1/2) e^{kd}$  y  $\operatorname{senh} k(z+d) = (1/2) e^{k(z+d)}$ . Por tanto

$$\frac{\operatorname{senh} k(z+d)}{\operatorname{senh} kd} = e^{kz} \quad (5.20)$$

En ésta última relación puede haber función cosh en el numerador y/o denominador

### Aguas someras

Para esta condición se cumple que  $(d/L) \leq 0.5$ , por lo que  $kd$  tiende a cero. Por tanto  $\sinh(kd) = \tanh kd = kd$  y  $\cosh(kd)$  tiende a uno.

En la tabla 5.1, se presentan las características del oleaje, según la teoría lineal, para aguas profundas intermedias y someras[4]. En lo sucesivo el subíndice  $\alpha$  indicará aguas profundas y  $\beta$  en aguas someras.

### 5.3.2 Onda estacionaria

Las ondas estacionarias son aquellas donde las crestas no se mueven horizontalmente aunque si cambian periódicamente, formándose y desapareciendo, (Fig. 5.6). Esta clase de ondas se generan cuando se suman dos olas progresivas de igual amplitud que viajan en sentidos opuestos en la misma dirección y con igual celeridad (en valor absoluto), lo que ocurre, por ejemplo, cuando una ola progresiva choca con una pared vertical impermeable sin disipar energía. Esto último se conoce como "clapotis".

En función de los potenciales de velocidad de las olas progresivas anteriores, se puede encontrar el de las olas estacionarias y con éste definir algunos de los parámetros del oleaje.

Tabla 5.1 Comparación de ecuaciones de la teoría lineal [4]

| Característica de la cresta                          | No. de eq. del Apéndice A | Expresión general (aguas intermedias)                                    | Aguas profundas ( $d/L > 1/2$ )                   | Aguas poco profundas ( $d/L < 1/25$ )                          |
|--|---------------------------|--|---|--|
| Forma de la superficie ( $\eta$ )                    | A.3.11                    | $\eta = a \cos (\omega t - kt) = a \cos \theta$                          |   |  |
| Celeridad ( $C = \omega/C$ )                         | A.3.23                    | $C = \sqrt{\frac{g}{k}} \tanh kd$  | $C = \sqrt{\frac{g}{k}}$                          | $C = \sqrt{gd}$  |
| Longitud ( $L$ )                                     | A.3.25                    | $L = \frac{g}{\omega^2} \tanh kd$  | $L = \frac{g}{\omega^2} = 1.57 \lambda^2$         | $L = \lambda/\sqrt{3}$   |
| Velocidad de grupo ( $C_g$ )                         | A.3.62                    | $C_g = \frac{C}{2} \left[ 1 + \frac{2kd}{\sinh 2kd} \right]$             | $C_g = C/2$                                       | $C_g = \sqrt{3} C$   |
| Velocidad horizontal de la partícula ( $u$ )         | A.3.26                    | $u = \frac{\gamma a}{\rho} \frac{\cosh k(z+d)}{\cosh kd} \cos \theta$    | $u = \frac{a}{\rho} e^{kz} \cos \theta$           | $u = \sqrt{\frac{g}{d}} a \cos \theta$                         |
| Velocidad vertical de la partícula ( $w$ )           | A.3.27                    | $w = \frac{\gamma a}{\rho} \frac{\sinh k(z+d)}{\cosh kd} \sin \theta$    | $w = \frac{a}{\rho} e^{kz} \sin \theta$           | $w = a \left( 1 + \frac{z}{d} \right) \sin \theta$             |
| Aceleración horizontal de la partícula ( $a_x$ )     | A.3.28                    | $a_x = -\gamma a \frac{\cosh k(z+d)}{\cosh kd} \sin \theta$              | $a_x = -a \omega^2 e^{kz} \sin \theta$            | $a_x = a \omega \sqrt{\frac{g}{d}} \sin \theta$                |
| Aceleración vertical de la partícula ( $a_z$ )       | A.3.29                    | $a_z = -\gamma a \frac{\sinh k(z+d)}{\cosh kd} \cos \theta$              | $a_z = -a \omega^2 e^{kz} \cos \theta$            | $a_z = -a \omega^2 \left( 1 + \frac{z}{d} \right) \cos \theta$ |
| Desplazamiento horizontal de la partícula ( $\xi$ )  | A.3.35                    | $\xi = -a \frac{\cosh k(z+d)}{\sinh kd} \sin \theta$                     | $\xi = -a e^{kz} \sin \theta$                     | $\xi = -\frac{a}{\rho} \sqrt{\frac{g}{d}} \sin \theta$         |
| Desplazamiento vertical de la partícula ( $\zeta$ )  | A.3.36                    | $\zeta = a \frac{\sinh k(z+d)}{\sinh kd} \cos \theta$                    | $\zeta = a e^{kz} \cos \theta$                    | $\zeta = a \left( 1 + \frac{z}{d} \right) \cos \theta$         |
| Presión abajo de la superficie ( $p$ )               | A.3.40                    | $p = \gamma \eta \frac{\cosh k(z+d)}{\cosh kd} - \gamma z$               | $p = \gamma \eta e^{kz} - \gamma z$               | $p = \gamma (\eta - z)$  |
| Energía total por unidad de cresta ( $E_T$ )         | A.3.49                    | $E_T = \frac{\gamma a^2}{2} L$   | $E_T = \frac{\gamma \rho a^2}{4}$                 | $E_T = \frac{\gamma a^2}{2} T \sqrt{gd}$                       |
| Potencia por unidad de cresta promedio ( $\bar{P}$ ) | A.3.55                    | $\bar{P} = \frac{\gamma E_T}{T}$   | $\bar{P} = \frac{\gamma \rho a^2}{8\pi}$          | $\bar{P} = \frac{\gamma a^2}{2} \sqrt{gd}$                     |
| Potencial de velocidad ( $\phi$ )                    | A.3.20                    | $\phi = \frac{\gamma a}{\rho} \frac{\cosh k(z+d)}{\cosh kd} \sin \theta$ | $\phi = \frac{\gamma a}{\rho} e^{kz} \sin \theta$ | $\phi = \frac{\gamma a}{\rho} \sin \theta$                     |

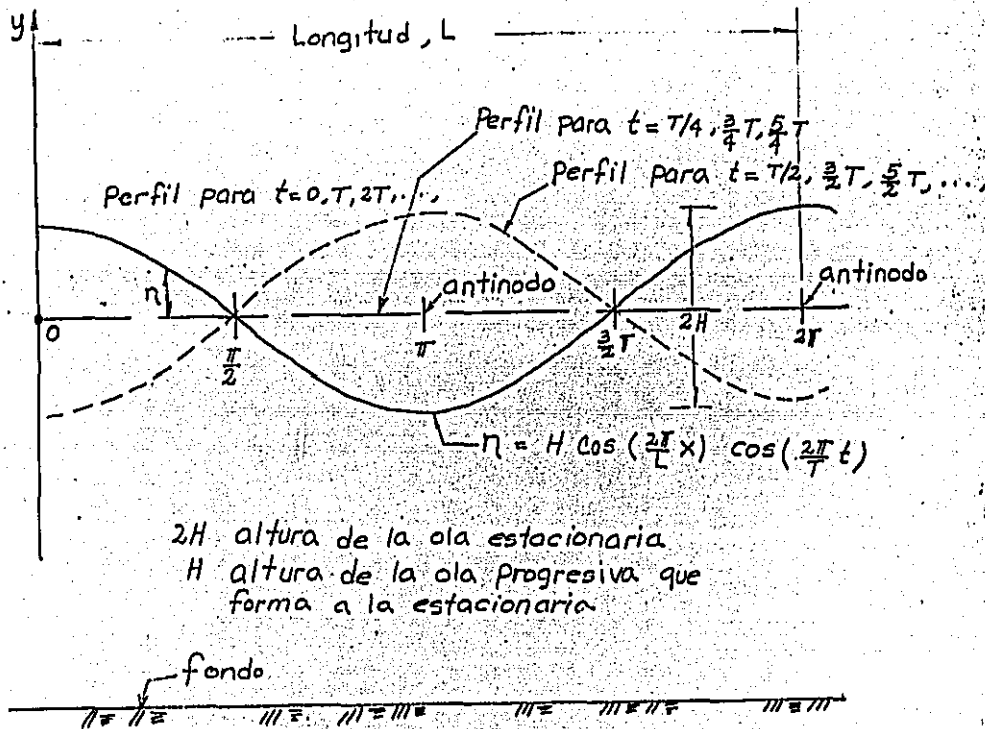


Fig. 5.6 Ondas estacionarias (clapotis).

En la tabla 5.2, se anotan las fórmulas del oleaje para la primera aproximación. El periodo de esta clase de oleaje ayuda a entender mejor el fenómeno de reflexión [7]

### 5.3.3 Teorías de amplitud finitas

Cuando la amplitud de las olas no están pequeña comparada con su longitud deben considerarse términos no lineales en los

Tabla 5.2. Compendio de ecuaciones de ondas estacionarias (teoría lineal)

(4)

| Característica de la onda                           | Expresión general $\frac{1}{2} < d/L < \frac{1}{2}$<br>(aguas intermedias)      | Aguas profundas<br>( $d/L > 1/2$ )                      | Aguas poco profundas<br>( $d/L < 1/25$ )                                      |
|---|---|---|---|
| Forma de la superficie ( $\eta$ )                   | $\eta = a \cos kx \cos \omega t$  |   |   |
| Relación de dispersión                              | $C = \frac{\sqrt{g}}{k} \tanh kd$   | $C = \sqrt{\frac{gL}{2\pi}}$                            | $C = \sqrt{gd}$   |
| Longitud (L)  | $L = \frac{gT^2}{2\pi} \tanh kd$  | $L = \frac{gT^2}{2\pi} = 1.56T^2$                       | $L = \frac{g}{\omega^2} = T^2 g d^{1/2}$                                      |
| Velocidad horizontal de la partícula (u)            | $u = -a \frac{\cosh(k(z+d))}{\sinh kd} \cos kx \sin \omega t$                   | $u = -a \omega e^{kz} \cos kx \sin \omega t$            | $u = -a \left(\frac{g}{d}\right)^{1/2} \cos kx \sin \omega t$                 |
| Velocidad vertical de la partícula (w)              | $w = a \omega \frac{\sinh(k(z+d))}{\sinh kd} \cos kx \cos \omega t$             | $w = a \omega e^{kz} \cos kx \cos \omega t$             | $w = 0$   |
| Aceleración horizontal de la partícula ( $a_x$ )    | $a_x = a \omega^2 \frac{\cosh(k(z+d))}{\sinh kd} \sin kx \cos \omega t$         | $a_x = a \omega^2 e^{kz} \sin kx \cos \omega t$         | $a_x = -a \left(\frac{g}{d}\right)^{1/2} \sin kx \cos \omega t$               |
| Aceleración vertical de la partícula ( $a_z$ )      | $a_z = a \omega^2 \frac{\sinh(k(z+d))}{\sinh kd} \cos kx \cos \omega t$         | $a_z = a \omega^2 e^{kz} \cos kx \cos \omega t$         | $a_z = 0$   |
| Desplazamiento horizontal de la partícula ( $\xi$ ) | $\xi = \frac{a \cosh(k(z+d))}{\sinh kd} \sin kx \cos \omega t$                  | $\xi = a e^{kz} \sin kx \cos \omega t$                  | $\xi = \frac{1}{\omega} \left(\frac{g}{d}\right)^{1/2} \sin kx \cos \omega t$ |
| Desplazamiento vertical de la partícula ( $\zeta$ ) | $\zeta = -\frac{a \sinh(k(z+d))}{\sinh kd} \cos kx \cos \omega t$               | $\zeta = -a e^{kz} \cos kx \cos \omega t$               | $\zeta = 0$   |
| Presión bajo la superficie (p)                      | $p = -\gamma z - \frac{\gamma a \cosh(k(z+d))}{\cosh kd} \cos kx \cos \omega t$ | $p = -\gamma z - \gamma a e^{kz} \cos kx \cos \omega t$ | $p = -\gamma z - \gamma a \cos kx \cos \omega t$                              |
| Energía total por unidad de cresta (E)              | $E = \frac{\gamma}{4} a^2 L$  | $E = \frac{\gamma g a^2 T^2}{8\pi}$                     | $E = \frac{\gamma a^2}{4} T(gd)^{1/2}$  |
| Potencial de velocidad ( $\phi$ )                   | $\phi = \frac{ga}{\omega} \frac{\cosh(k(z+d))}{\sinh kd} \cos kx \cos \omega t$ | $\phi = \frac{ga}{\omega} e^{kz} \cos kx \cos \omega t$ | $\phi = \frac{ga}{\omega} \cos kx \cos \omega t$                              |

desarrollos matemáticos del oleaje. El manejo de las ecuaciones en las características de las olas, es más complicado y de acuerdo a la profundidad relativa ( $d/L$ ), y la relación de profundidad a altura de ola ( $d/H$ ), se recomienda la aplicación de una teoría del oleaje [23].

### Teoría de Stokes

En 1847 y 1880, Stokes desarrolló una teoría para olas de amplitud finita, partiendo del teorema de Bernoulli deducido de las ecuaciones de Navier-Stokes. A diferencia de la teoría lineal la cual desprecia los términos que no son lineales, la teoría de Stokes considera términos correctivos basados en desarrollos en series de Taylor de tal manera que incluye efectos no lineales o de orden superior. Así por ejemplo, las olas obtenidas con esta teoría para varios órdenes de aproximación, dan perfiles de olas más angostos en las crestas y más planos en los valles que aquellos obtenidos con la teoría de pequeña amplitud, lo cual está más cercano a lo que realmente se observa en los océanos.

Uno de los efectos que no toma en cuenta la teoría lineal y que la teoría de Stokes sí considera es que en aguas intermedias y someras el nivel medio no coincide con el nivel de reposo; el nivel medio de ola es aquel en el cual el volumen de la cresta arriba de él es igual al del valle bajo él. Otro de los efectos que considera la teoría de Stokes es el hecho de que las trayectorias de las partículas no son cerradas, sino que al final de un periodo, la partícula termina en una posición ligeramente



delante de la posición inicial, es decir, existe un desplazamiento lento de toda la masa de agua en la dirección de avance de la ola.

En la Fig. 5.7 se muestra una trayectoria de las partículas de agua.

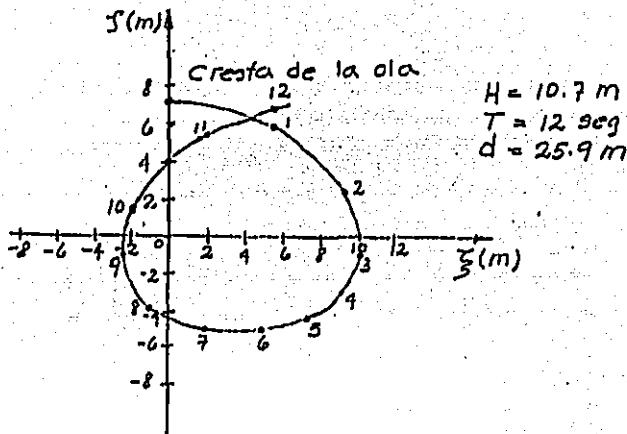


Fig. 5.7 Diagrama típico de la órbita de una partícula

Se llama velocidad de transporte de masa, al desplazamiento horizontal neto obtenido en un ciclo completo del oleaje dividido entre el periodo de éste, y se calcula con

$$\bar{u}(z) = \left[ \frac{\pi H}{L} \right]^2 \frac{c}{2} \frac{\cosh 2k(z+d)}{\sinh kd} \quad (5.21)$$

La velocidad de transporte de masa en aguas profundas está dada por

$$\bar{u} = \frac{\pi H}{L} c e^{2kz} \quad (5.22)$$

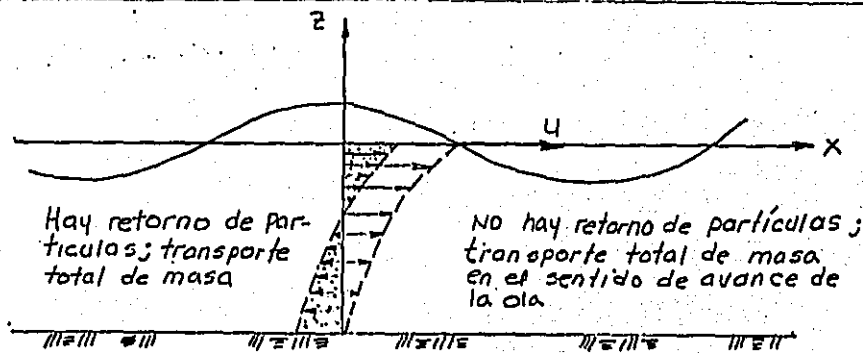


Fig. 5.8 Transporte de masa

En la tabla 5.3, se han reunido algunas fórmulas para calcular las características del oleaje de acuerdo con la teoría de Stokes, segunda aproximación.

Además de las teorías que se han visto en este trabajo, que son las que más se utilizan en los problemas de ingeniería en el orden establecido, existen otras como lo son la teoría cnoidal, teoría de la ola solitaria y la teoría trocoidal de Gersner, por mencionar las más importantes. El desarrollo de estas teorías no se incluye en este trabajo, pero el interesado puede recurrir a las Ref.6 y 20.

#### 5.4 Ondas oceánicas

Las olas generadas por el viento en realidad tienen una apariencia irregular y caótica.

Cuando se dispone de un registro de la elevación de la superficie libre encima de un punto fijo en el espacio, es difícil a simple

Tabla 5.3 Compendio de ecuaciones de la teoría de Stokes (segunda aproximación)

| Características de la onda                          | Expresión general<br>(ver las intermedias)   |
|---|--|
| Forma de la superficie ( $\eta$ )                   | $\eta = a \cos(kx - ct) + \frac{ka^2}{8} \frac{\cosh(kd) [2 - \cosh 2kd]}{\sinh^3 kd} \cos 2(kx - ct)$   |
| Celeridad ( $c$ )                                   | $C = \left[ \frac{g}{k} \tanh h \frac{2kd}{L} \right]^{1/2}$   |
| Transporte de masa ( $U$ )                          | $U = k^2 a^2 C \frac{\cosh^3 k(z+d)}{2 \sinh^2 kd}$  |
| Longitud ( $L$ )                                    | $L = \frac{2T}{\sigma} \tanh kd$   |
| Potencial de velocidad ( $\phi$ )                   | $\phi = a \left( \frac{\cosh k(z+d)}{\sinh kd} \right) \sin(kx - ct) + \frac{3}{4} \frac{ra^2 C}{L} \frac{\cosh^3 k(z+d)}{\sinh^4 kd} \sin 2(kx - ct)$   |
| Velocidad horizontal de la partícula ( $u$ )        | $u = ca \frac{\cosh k(z+d)}{\sinh kd} \cos(kx - ct) + \frac{3}{4} k a^2 \frac{\cosh 2k(z+d)}{\sinh^4 kd} \cos 2(kx - ct)$  |
| Velocidad vertical de la partícula ( $w$ )          | $w = ca \frac{\sinh k(z+d)}{\sinh kd} \sin(kx - ct) + \frac{3}{4} k a^2 \frac{\sinh 2k(z+d)}{\sinh^4 kd} \sin 2(kx - ct)$  |
| Desplazamiento horizontal de la partícula ( $\xi$ ) | $\xi = -a \frac{\cosh k(z+d)}{\sinh kd} \sin(kx - ct) + \frac{ka^2}{4} \left[ 1 - \frac{3}{2} \frac{\cosh 2k(z+d)}{\sinh^4 kd} \right] \sin 2(kx - ct) + \frac{1}{4} ka^2 \frac{\sinh 2k(z+d)}{\sinh^2 kd} ct$   |
| Desplazamiento vertical de la partícula ( $\zeta$ ) | $\zeta = a \frac{\sinh k(z+d)}{\sinh kd} \cos(kx - ct) + \frac{3}{8} \frac{ka^2 \sinh 2k(z+d)}{\sinh^4 kd} \cos 2(kx - ct) + \frac{1}{4} ka^2 \frac{\sinh 2k(z+d)}{\sinh^2 kd}$  |
| Aceleración horizontal de la partícula $a_x$        | $a_x = a \omega^2 \frac{\cosh k(z+d)}{\sinh kd} \sin(kx - ct) + \frac{3}{2} \frac{\omega^2 ka^2 \cosh 2k(z+d)}{\sinh^4 kd} \cos(kx - ct) \sin 2(kx - ct)$  |
| Aceleración vertical de la partícula $a_z$          | $a_z = -\omega^2 a \frac{\sinh k(z+d)}{\sinh kd} \cos(kx - ct) - \frac{3}{2} \frac{\omega^2 ka^2 \sinh 2k(z+d)}{\sinh^4 kd} \cos 2(kx - ct)$   |
| Presión bajo la superficie libre ( $p$ )            | $p = -\gamma z + a \frac{\cosh k(z+d)}{\cosh kd} \cos(kx - ct) + \frac{3}{4} \frac{ka^2 \tanh kd}{\sinh^2 kd} \left[ \frac{\cosh 2k(z+d)}{\sinh^2 kd} - \frac{1}{2} \right] \cos 2(kx - ct) - \frac{1}{4} ka^2 \frac{\tanh kd}{\sinh^2 kd} \cos 2k(z+d)$ |

vista estimar la altura y periodo de la ola; los procedimientos que se han propuestos, como los del inciso 5.4.1 al respecto permiten encontrar una sucesión de valores de ellos. Un análisis estadístico de los valores así encontrados permiten obtener algunos parámetros característicos de altura y periodo del registro

#### 5.4.1 Métodos para calcular altura y periodo de ola

Para definir altura y periodo de ola de registros como el de la fig. 5.9, se utilizan los métodos "máximo-mínimo" y "cruce-cero". Para el primero, la altura de ola ( $H_1$ ) es la diferencia entre dos ordenadas máxima y mínima consecutivas y el periodo ( $T_1$ ) es el intervalo de tiempo entre dos ordenadas máximas consecutivas. Para el segundo, la altura de ola ( $H_2$ ) es la máxima distancia vertical entre dos cruces hacia arriba consecutivos y el periodo ( $T_2$ ) es el intervalo de tiempo entre dichos cruces.

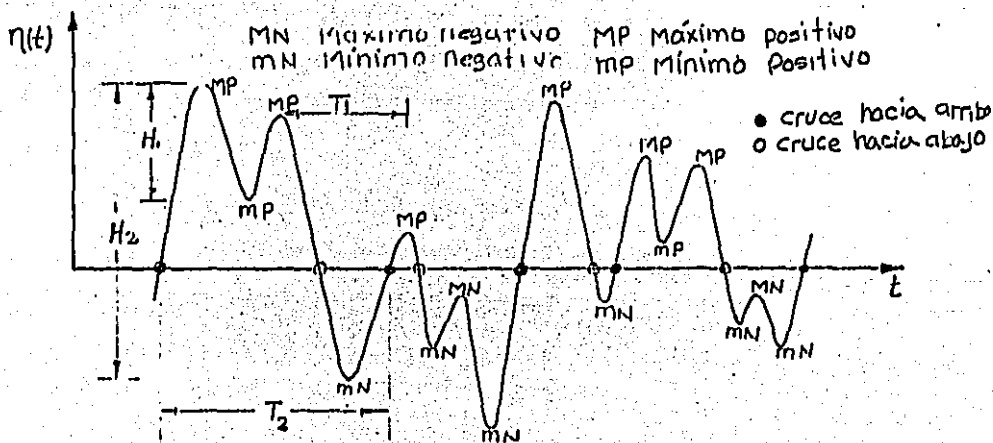


Fig.5.9 Registro de la elevación de la superficie libre del mar.

### 5.4.2 Estadísticas de las alturas de olas

Como se mencionó anteriormente la altura y periodo del oleaje son aleatorios y por ello el análisis para obtener los valores de referencias como son, por ejemplo, altura de ola significativa ( $H_{1/3}$ ) y la altura media ( $\bar{H}$ ), se debe efectuar utilizando las técnicas estadísticas. Para ello por supuesto es necesario contar con registros del oleaje.

En hidráulica marítima las dos técnicas o modelos más frecuentemente usados se llaman de distribución normal (o de Gauss) y la distribución de Rayleigh (ver capítulo 2).

Longuet-Higgins encontró que la probabilidad de ocurrencia  $p(H_i)$  de una altura de ola  $H_i$  contenida en el registro con  $N$  alturas puede ser obtenida a partir de la función de densidad de probabilidad de Rayleigh que se define, para el caso de alturas de ola, como

$$p(H_i) = \frac{2H_i}{H_{rms}^2} e^{-H_i^2/H_{rms}^2} \quad (5.23)$$

donde

$$H_{rms}^2 = \frac{1}{N} \sum_{i=1}^N H_i^2 \quad (\text{para valores discretos})$$

$H_{rms}$  media cuadrática de las altura de ola

$H_i$  altura de ola  $i$

$N$  número total de las alturas de ola

$H_{rms}$  raíz cuadrada de la altura media cuadrática

Para valores continuos se tiene

$$H_{rms}^2 = \int_0^{\infty} H^2 p(H) dH = 8 m_0 \quad (5.24)$$

donde  $m_0$  es igual a la varianccia del registro de elevaciones de la superficie libre

El valor de la media aritmética ( $\bar{H}$ ) y la altura máxima probable de la ola ( $H_{max}$ ), según Longuet- Higgins, en un registro con  $N$  alturas de olas, son obtenidas como

$$\bar{H} = \int_0^{\infty} H p(H) dH = \sqrt{2\pi m_0} \quad (5.25)$$

$$H_{max} = 0.707 H_{1/2} \sqrt{\log_e N} \quad (5.26)$$

La función de distribución correspondiente a la ecuación (5.22) está dada por

$$P(H_t) = \int_0^{H_t} p(H_t) dH_t = 1 - e^{-H_t^2/H_{rms}^2} \quad (5.27)$$

Con la ecuación (5.27) se obtiene la probabilidad de tener olas con altura menor o igual que  $H_t$ .

Si se desea calcular  $H_{1/n}$ , la altura de ola que tiene la probabilidad de ser excedida igual a  $1/n$ , siendo  $n$  el número de olas, se utiliza el siguiente procedimiento

Considerando una altura de ola  $H_{1/n}$  que corresponde al inicio de la

parte  $(1/n)$  de las olas más altas la ecuación (5.27) se puede escribir

$$1 - p(H_{1/n}) = \text{prob} (H > H_{1/n}) \equiv \int_{H_{1/n}}^{\infty} p(H) dH = 1/n \quad (5.28)$$

sustituyendo en la ecuación (5.28) el valor de  $p(H)$ , indicado por la ecuación (5.22) se obtiene

$$\frac{H_{1/n}}{H_{rms}} = (\ln n)^{1/2} \quad (5.29)$$

Despejando  $H_{1/n}$  y sustituyendo la ecuación (5.24) en (5.29)

$$H_{1/n} = \sqrt{8 m_0 l_n} \quad (5.30)$$

El valor medio de las alturas mayores que  $H_{1/n}$  se obtiene de

$$\bar{H}_{1/n} = \frac{\int_{H_{1/n}}^{\infty} H p(H) dH}{\int_{H_{1/n}}^{\infty} p(H) dH} = \frac{\int_{H_{1/n}}^{\infty} H p(H) dH}{1/n} = n \int_{H_{1/n}}^{\infty} H p(H) dH \quad (5.31)$$

Integrando la ec. (5.31) y tomando en cuenta la (5.29) se llega a

$$\bar{H}_{1/n} = H_{rms} \left\{ (\ln n)^{1/2} + \frac{n \sqrt{\pi}}{2} \left[ 1 - \text{erf} (\ln n)^{1/2} \right] \right\} \quad (5.32)$$

donde la función  $\text{erf}(x)$  se define como

$$\text{erf}(x) = \frac{2}{\sqrt{\pi}} \int_0^x e^{-t^2} dt \quad (5.33)$$

Los valores de  $\text{erf}(x)$  llamada error se puede obtener de tablas

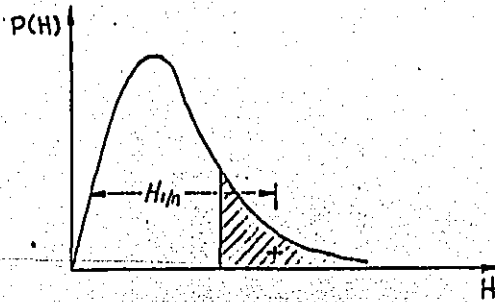


Fig. 5.10 Definición de la  $1/n$ -ésima ola más alta.

De la ec. (5.32), se encuentran las bien conocidas relaciones

$$\bar{H}_{1/10} = 2.03 \bar{H} \quad (5.34)$$

$$\bar{H}_{1/5} = 1.597 \bar{H} \quad (5.35)$$

Algunas otras relaciones de altura de ola, se reúnen en la tabla 5.4.

Del análisis estadístico de 25 registros del oleaje con duración de 20 minutos cada uno, Putz obtuvo las siguientes relaciones

$$\bar{H}_{1/5} = 1.603 \bar{H}$$

$$\bar{H}_{1/10} = 2.067 \bar{H}$$

$$H_{\max} = 2.998 \bar{H}$$

Estas mismas relaciones fueron verificadas con un registro de 300 olas, resultando



Tabla 5.4 Algunas relaciones de altura de ola basadas en la distribución Rayleigh [4]

| Altura característica                          | símbolo               | $\frac{H}{H_{rms}}$            | $\frac{H}{\sqrt{m_0}}$   | $\frac{H}{H_s}$ |
|--|-----------------------|--------------------------------|--------------------------|-----------------|
| Desviación estándar de la superficie libre     | $\sigma = \sqrt{m_0}$ | $\frac{1}{2\sqrt{2}} = 0.354$  | 1.                       | 0.25            |
| Raíz de la media cuadrática                    | $H_{rms}$             | 1.                             | $2\sqrt{2} = 2.828$      | 0.706           |
| Altura más frecuente (moda)                    | $H_F$                 | $\frac{1}{\sqrt{2}} = 0.707$   | 2.                       | 0.499           |
| Altura mediana (prob. igual a $\frac{1}{2}$ )  | $H_M$                 | $\sqrt{\ln 2} = 0.833$         | $\sqrt{8 \ln 2} = 2.355$ | 0.588           |
| Altura media                                   | $\bar{H}$             | $\frac{\sqrt{\pi}}{2} = 0.866$ | $\sqrt{2\pi} = 2.507$    | 0.626           |
| Altura significativa                           | $H_s = \bar{H}_1/3$   | 1.416                          | 4.005                    | 1. ✓            |
| Promedio de la décima de las olas más altas    | $\bar{H}_1/10$        | 1.8 ✓                          | 5.091                    | 1.271           |
| Promedio de la centésima de las olas más altas | $\bar{H}_1/100$       | 2.359 ✓                        | 6.672                    | 1.666           |

$$\bar{H}_{1/3} = 1.60 \bar{H}$$

$$\bar{H}_{1/10} = 2.032 \bar{H}$$

$$H_{max} = 2.832 \bar{H}$$

Se puede observar que estas relaciones no son muy diferentes respecto a las que se obtuvieron mediante la deducción teórica de Longuet-Higgins

#### 5.4.3 Estadística de los periodos de ola

La distribución de probabilidad de los periodos de ola para un espectro cualquiera es más difícil para ser tratada. Sobre la base de datos experimentales, Bretschneider (1959), ha supuesto que la función de densidad Rayleigh (fig.5.11), se mantiene para el cuadrado del periodo de la ola (por el método cruce-cero), mediante

$$p(T_i) = 2.7 \frac{(T_i)}{(\bar{T})^4} \exp \left[ -0.675 (T_i/\bar{T})^4 \right] \quad (5.36)$$

donde

$p(T_i)$  función de densidad de probabilidad de los periodos de ola

$\bar{T}$  media de los periodos de ola contenidos en el registro

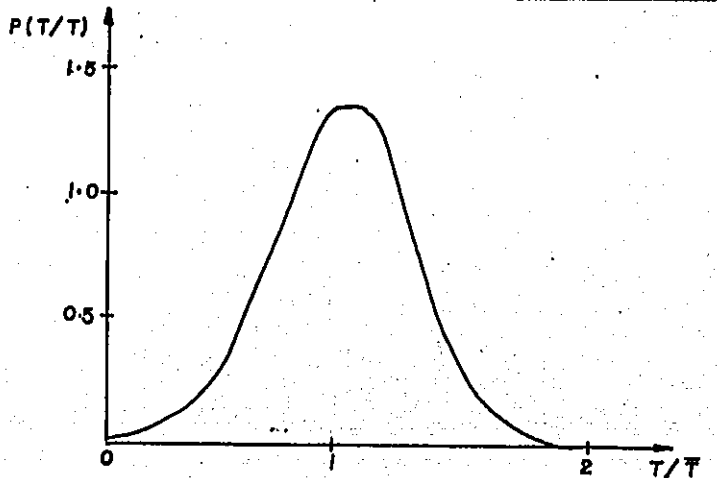


Fig. 5.11 Función de densidad del periodo de ola.

$\bar{T}$ , también puede ser valuado como

$$\bar{T} = T_z = \left( \frac{m_0}{H_z} \right)^{1/2} \quad (5.37)$$

La función de distribución correspondiente a la ec. (5.36) esta dada por

$$p(T_1) = 1 - e^{-0.675(T_1/\bar{T})^4} \quad (5.38)$$

donde  $p(T_1)$  es la probabilidad de tener periodos menores a  $T_1$ .

Para el análisis estadístico de los periodos, el periodo significativo ( $\bar{T}_{1/3}$ ) no es un parámetro estadístico de la función de densidad y por tanto su valor se recomienda calcularlo con las siguientes relaciones empíricas

$$\bar{T}_{1/3} = 1.1 \bar{T}$$

$$T_{1/3} = 3.86 \sqrt{H_{1/3}}$$

donde  $T_{1/3}$  y  $T$  están dados en seg y  $H_{1/3}$  en m.

En la tabla 5.5, se anotan algunas relaciones de interés de los periodos de ola.

Tabla 5.5 Algunas características de los periodos y frecuencias de las olas[4]

| Periodo o frecuencia  | Símbolo   | Descripción  | Ecuación  |
|-----------------------|-----------|--|---|
| Periodo de crestas    | $T_C$     | Periodo promedio entre crestas sucesivas                   | $T_C = \sqrt{m_2/m_4}$                                  |
| Periodo cruce-cero    | $T_2$     | Periodo promedio entre dos cruces hacia arriba sucesivos   | $T_2 = \sqrt{m_0/m_2}$                                  |
| Frecuencia de pico    | $f_p$     | Frecuencia en la cual $S(f)$ es máximo                     | $\frac{dS(f)}{df} = 0$ en $f=f_p$                       |
| Periodo de pico       | $T_p$     | Periodo en el cual $S(f)$ es máximo                        | $T_p = \frac{1}{f_p}$                                   |
| Periodo modal         | $T_0$     | Periodo en el cual $S(T)$ es un máximo                     | $\frac{dS(T)}{dT} = 0$ en $T=T_0$                       |
| Frecuencia media      | $\bar{f}$ | Primer momento respecto al origen                          | $\bar{f} = m_1/m_0$                                     |
| Periodo significativo | $T_s$     | Periodo promedio de la tercera parte de las olas más altas | $T_s = \sqrt[4]{4/5} f_p^{-1}$<br>(Bretschneider, 1977) |

## 6. ESPECTROS PROPUESTOS

En capítulos anteriores, se desarrolló un procedimiento para calcular la función de densidad espectral  $s(f)$ . Como se ha mencionado, al dibujar la curva que relaciona  $s(f)$  con la frecuencia  $f$  se obtiene el espectro del oleaje correspondiente y de éste sus características representativas.

Además del procedimiento expuesto, existen otras expresiones para calcular  $s(f)$ , propuestas por diferentes autores, basados tanto en análisis de datos como en consideraciones teóricas. Con el propósito de que se conozcan, se mencionan en este capítulo algunas de las más representativas, indicándose la expresión  $s(f)$ , propuesta por cada autor y su secuencia de cálculo. Una explicación más detallada de los espectros anteriores, se puede consultar en las Refs. 7, 12 y 15.

### 6.1 Espectro de Pierson-Moskowitz

Esta representado por la siguiente ecuación

$$s(f) = \frac{8.1 (10^3) g^2}{(2\pi)^4 f^5} \exp \left[ - 0.74 \left( \frac{g}{2\pi u_{19.5} f} \right)^4 \right] \quad (6.1)$$

donde  $s(f)$  densidad de energía, en  $m^2(s)$ .

$f$  frecuencia cíclica, en cps (ciclos por segundo).

$g$  aceleración de la gravedad, en  $m/s^2$ .

$u_{19.5}$  velocidad media del viento medida o calculada a la altura de 19.5 m. arriba del nivel medio del mar, en  $m/s$ .

La ec. (6.1) es válida para oleaje en completo estado de desarrollo y para velocidades de viento, medidas a 19.5 m, entre 10.3 y 23.1  $m/s$ . Esta ecuación se encuentra dibujada en la fig. 6.1, para diferentes valores de  $u_{19.5}$ .

Para calcular el valor de  $H_{1/3}$ , se procede de la siguiente manera.

a) De acuerdo con el valor de  $u_{19.5}$ , se escoge un espectro de los que aparecen en la fig. 6.1.

b) Se calcula el área total bajo el espectro seleccionado y se designa como  $A_w(f)$ .

c) Como el área bajo el espectro es igual a la energía y ésta a su vez es igual a la variancia y aceptando que las alturas de ola tengan una función de probabilidad Rayleigh

$$H_{1/3} = 4\sigma \quad (6.2)$$

del tal manera que

$$A_s(f) = \left[ \frac{1}{4} H_{1/3} \right]^2 \quad (6.3)$$

de donde se puede despejar  $H_{1/3}$  (altura de ola significante).

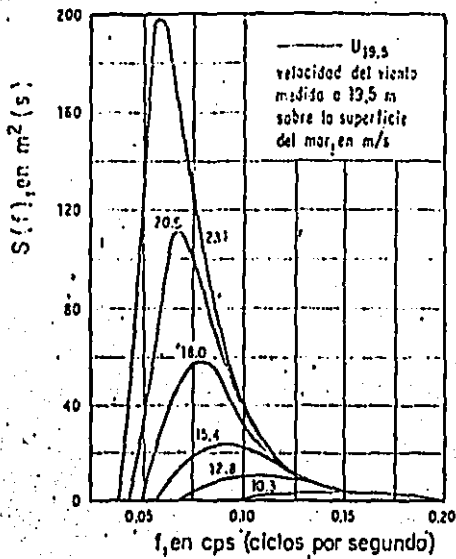


fig. 6.1 Espectro Pierson-Moskowitz

## 6.2 Espectro de Bretschneider (1959)

El autor propone la siguiente expresión

$$s(f) = 0.43 \left[ \frac{\bar{H}}{gT^2} \right]^2 \frac{g^2}{f^5} \exp \left[ -0.675 \left( \frac{1}{Tf} \right)^4 \right] \quad (6.4)$$

donde  $s(f)$  densidad de energía, en  $m^2(s)$   
 $f$  frecuencia ciclica, en cps (ciclos por segundos)  
 $H$  y  $T$  altura y periodo medio de la ola, en m y s,  
 respectivamente. Se obtiene a partir del registro

La ec. (6.4), es aplicable a oleaje generado por viento para longitudes de fetch finito y se dispone del registro del oleaje que permite obtener estadísticamente  $H$  y  $T$ .

Para estimar  $H_{1/3}$  en base a este espectro, se procede como a continuación se señala

- Del registro de oleaje, se calculan los valores de  $H$  y  $T$
- Con la expresión de la ec. (6.4), se estima y dibuja el espectro correspondiente a los valores de  $H$  y  $T$ .
- Se obtiene el área total bajo el espectro y se designa como  $A_w(f)$ .
- El valor de  $H_{1/3}$ , se calcula como en el inciso c) del método de Pierson-Moskowitz, esto es

$$A_w(f) = \left[ \frac{1}{4} H_{1/3} \right]^2$$

#### 6.4 Espectro de Mitsuyasu

Mitsuyasu propuso el siguiente espectro como una forma



generalizada

$$s(f) = 8.58 (10^{-4}) \left[ \frac{gF}{u_*^2} \right]^{-0.812} g^2 f^{-\frac{12}{5}} \exp \left[ -1.25 \left( \frac{gF}{u_*^2} \right)^{-1.82} \left( \frac{u_* f}{g} \right)^{-4} \right] \quad (6.5)$$

donde  $s(f)$  densidad de energía espectral, en  $m^2/s$

$g$  aceleración de la gravedad, en  $m/s^2$

$F$  longitud del fetch

$u_*$  velocidad de fricción del viento en la superficie del mar, en  $m/s$

Mitsuyasu recomienda la siguiente expresión como una aproximación a la ec. (6.5).

$$s(f) = \quad (6.6)$$

$$= 1.15(10^{-4}) \left[ \frac{gF}{u_{10}^2} \right]^{-0.812} g^2 f^{-5} \exp \left[ -9.96 \left( \frac{gF}{u_{10}^2} \right)^{-1.82} \left( \frac{u_{10} F}{g} \right)^4 \right]$$

## 7. APLICACIONES

Con la finalidad de ilustrar la aplicación a casos prácticos del método desarrollado en este trabajo, se analiza desde el punto de vista del análisis espectral y estadístico el registro de mediciones de presión de la estación localizada en Tuxpa, Veracruz, correspondiente a la cinta número 28, bloque de las 15 hrs. del día 5 de Junio de 1987. En la estación el sensor de presión se encuentra a 6.5 m. de profundidad. El intervalo de tiempo entre los valores medidos es de 0.5 seg.. En la tabla 7.1, aparece este registro.

### 7.1 Analisis espectral

El proceso que se siguió en este caso se presenta en los siguientes incisos.

#### 7.1.1 Obtención del registro de elevaciones de superficie libre del mar

Es necesario transformar los datos que se obtuvieron del sensor en

Tabla 11. Registros de presiones de la estación Tuxpan, Ver.  
(cinta 28; bloque de las 15 hrs. del día 5 de junio de 1987).

|       |       |       |       |       |       |       |       |       |       |
|-------|-------|-------|-------|-------|-------|-------|-------|-------|-------|
| 7.040 | 7.020 | 7.000 | 6.980 | 6.980 | 6.990 | 7.030 | 7.070 | 7.080 | 7.050 |
| 7.010 | 6.960 | 6.930 | 6.940 | 6.970 | 7.000 | 7.030 | 7.050 | 7.060 | 7.060 |
| 7.050 | 7.040 | 7.020 | 7.000 | 6.990 | 6.980 | 6.980 | 6.980 | 6.990 | 7.000 |
| 7.020 | 7.040 | 7.050 | 7.060 | 7.040 | 7.010 | 6.980 | 6.970 | 6.980 | 7.000 |
| 7.030 | 7.040 | 7.050 | 7.050 | 7.040 | 7.020 | 7.020 | 7.010 | 7.010 | 7.010 |
| 7.010 | 7.010 | 7.010 | 7.010 | 7.010 | 7.020 | 7.030 | 7.050 | 7.050 | 7.050 |
| 7.040 | 7.020 | 7.010 | 7.000 | 6.990 | 6.980 | 6.990 | 7.000 | 7.030 | 7.050 |
| 7.070 | 7.080 | 7.080 | 7.060 | 7.030 | 6.990 | 6.970 | 6.960 | 6.970 | 7.010 |
| 7.040 | 7.060 | 7.060 | 7.050 | 7.030 | 7.000 | 6.990 | 7.000 | 7.020 | 7.030 |
| 7.040 | 7.030 | 7.010 | 7.010 | 7.010 | 7.020 | 7.020 | 7.030 | 7.030 | 7.040 |
| 7.030 | 7.020 | 6.990 | 6.970 | 6.980 | 7.000 | 7.040 | 7.070 | 7.090 | 7.070 |
| 7.040 | 6.990 | 6.950 | 6.940 | 6.950 | 6.990 | 7.050 | 7.100 | 7.120 | 7.110 |
| 7.060 | 7.010 | 6.960 | 6.940 | 6.960 | 7.000 | 7.050 | 7.080 | 7.090 | 7.070 |
| 7.030 | 6.990 | 6.960 | 6.960 | 6.980 | 7.000 | 7.010 | 7.000 | 6.980 | 6.960 |
| 6.980 | 7.010 | 7.030 | 7.050 | 7.050 | 7.050 | 7.030 | 7.010 | 6.980 | 6.940 |
| 6.920 | 6.930 | 6.960 | 7.020 | 7.060 | 7.090 | 7.100 | 7.090 | 7.050 | 7.010 |
| 6.970 | 6.940 | 6.920 | 6.910 | 6.940 | 6.980 | 7.040 | 7.080 | 7.100 | 7.090 |
| 7.060 | 7.010 | 6.970 | 6.960 | 6.970 | 7.000 | 7.040 | 7.070 | 7.070 | 7.050 |
| 7.020 | 6.990 | 6.970 | 6.970 | 6.990 | 7.010 | 7.030 | 7.050 | 7.070 | 7.080 |
| 7.080 | 7.060 | 7.020 | 6.980 | 6.940 | 6.930 | 6.940 | 6.980 | 7.020 | 7.060 |
| 7.070 | 7.070 | 7.050 | 7.020 | 7.000 | 6.990 | 7.010 | 7.040 | 7.070 | 7.090 |
| 7.080 | 7.050 | 7.000 | 6.950 | 6.930 | 6.930 | 6.970 | 7.020 | 7.070 | 7.100 |
| 7.090 | 7.070 | 7.050 | 7.020 | 6.990 | 6.980 | 6.980 | 6.990 | 7.000 | 7.020 |
| 7.040 | 7.050 | 7.050 | 7.040 | 7.020 | 7.010 | 7.000 | 7.010 | 7.010 | 7.020 |
| 7.010 | 7.000 | 7.000 | 7.000 | 7.020 | 7.050 | 7.070 | 7.070 | 7.060 | 7.040 |
| 7.010 | 7.000 | 6.990 | 6.990 | 6.980 | 6.980 | 7.010 | 7.040 | 7.080 | 7.100 |
| 7.090 | 7.060 | 7.030 | 7.000 | 7.000 | 7.020 | 7.030 | 7.030 | 7.010 | 6.990 |
| 6.980 | 7.000 | 7.020 | 7.030 | 7.030 | 7.020 | 7.020 | 7.020 | 7.020 | 7.010 |
| 7.010 | 7.020 | 7.030 | 7.050 | 7.050 | 7.030 | 6.990 | 6.960 | 6.950 | 6.970 |
| 7.020 | 7.060 | 7.080 | 7.080 | 7.070 | 7.040 | 7.020 | 7.020 | 7.020 | 7.020 |
| 7.010 | 7.010 | 7.000 | 6.990 | 7.000 | 7.030 | 7.060 | 7.080 | 7.080 | 7.050 |
| 7.000 | 6.960 | 6.950 | 6.960 | 6.990 | 7.020 | 7.040 | 7.040 | 7.040 | 7.020 |
| 7.010 | 6.990 | 6.990 | 6.990 | 7.000 | 7.010 | 7.020 | 7.030 | 7.040 | 7.040 |
| 7.030 | 7.010 | 6.990 | 6.980 | 6.970 | 6.970 | 7.000 | 7.040 | 7.090 | 7.110 |
| 7.100 | 7.050 | 7.000 | 6.950 | 6.930 | 6.930 | 6.950 | 6.980 | 7.040 | 7.080 |
| 7.110 | 7.100 | 7.050 | 7.000 | 6.950 | 6.940 | 6.970 | 7.020 | 7.060 | 7.070 |
| 7.070 | 7.040 | 7.020 | 7.000 | 7.000 | 7.000 | 7.000 | 7.000 | 7.010 | 7.020 |
| 7.040 | 7.060 | 7.080 | 7.090 | 7.070 | 7.040 | 7.010 | 6.990 | 6.980 | 6.990 |
| 7.010 | 7.020 | 7.030 | 7.040 | 7.060 | 7.070 | 7.080 | 7.080 | 7.060 | 7.040 |
| 7.020 | 7.000 | 6.990 | 7.000 | 7.020 | 7.040 | 7.070 | 7.070 | 7.050 | 7.030 |
| 7.020 | 7.020 | 7.040 | 7.060 | 7.060 | 7.030 | 7.010 | 6.980 | 6.970 | 6.980 |
| 6.990 | 7.000 | 7.020 | 7.040 | 7.050 | 7.040 | 7.020 | 7.010 | 7.000 | 7.000 |
| 7.017 | 6.990 | 6.970 | 6.960 | 6.980 | 7.010 | 7.040 | 7.060 | 7.060 | 7.050 |
| 7.030 | 7.010 | 7.000 | 7.000 | 7.010 | 7.020 | 7.020 | 7.030 | 7.030 | 7.030 |
| 7.020 | 7.020 | 7.030 | 7.050 | 7.080 | 7.080 | 7.060 | 7.020 | 6.980 | 6.970 |
| 6.990 | 7.010 | 7.030 | 7.040 | 7.040 | 7.040 | 7.030 | 7.030 | 7.020 | 7.020 |
| 7.020 | 7.020 | 7.020 | 7.020 | 7.030 | 7.030 | 7.030 | 7.010 | 7.000 | 6.980 |
| 6.970 | 6.980 | 7.010 | 7.040 | 7.070 | 7.080 | 7.060 | 7.020 | 6.990 | 6.960 |
| 6.950 | 6.960 | 6.970 | 7.000 | 7.030 | 7.060 | 7.070 | 7.080 | 7.070 | 7.040 |
| 7.000 | 6.960 | 6.950 | 6.970 | 7.020 | 7.060 | 7.080 | 7.060 | 7.020 | 7.000 |
| 6.990 | 7.000 | 7.020 | 7.030 | 7.050 | 7.060 | 7.070 | 7.070 | 7.060 | 7.030 |
| 7.010 | 6.990 | 6.990 | 7.010 | 7.030 | 7.040 | 7.050 | 7.050 | 7.050 | 7.050 |

|       |       |       |       |       |       |       |       |       |       |
|-------|-------|-------|-------|-------|-------|-------|-------|-------|-------|
| 7.040 | 7.030 | 7.030 | 7.020 | 7.020 | 7.020 | 7.020 | 7.020 | 7.020 | 7.030 |
| 7.040 | 7.050 | 7.050 | 7.040 | 7.020 | 7.000 | 6.990 | 6.990 | 6.990 | 7.000 |
| 7.010 | 7.040 | 7.060 | 7.060 | 7.050 | 7.030 | 7.010 | 7.010 | 7.020 | 7.030 |
| 7.030 | 7.030 | 7.020 | 7.000 | 6.980 | 6.980 | 7.000 | 7.030 | 7.060 | 7.080 |
| 7.070 | 7.040 | 7.000 | 6.960 | 6.940 | 6.950 | 6.990 | 7.030 | 7.050 | 7.060 |
| 7.040 | 7.010 | 6.970 | 6.950 | 6.960 | 7.010 | 7.070 | 7.110 | 7.120 | 7.090 |
| 7.050 | 7.000 | 6.960 | 6.950 | 6.960 | 6.990 | 7.020 | 7.050 | 7.080 | 7.100 |
| 7.110 | 7.090 | 7.050 | 7.010 | 6.970 | 6.950 | 6.960 | 6.990 | 7.030 | 7.060 |
| 7.070 | 7.060 | 7.040 | 7.010 | 6.980 | 6.970 | 6.980 | 7.000 | 7.030 | 7.050 |
| 7.060 | 7.060 | 7.050 | 7.030 | 7.000 | 6.970 | 6.960 | 6.980 | 7.030 | 7.070 |
| 7.090 | 7.080 | 7.050 | 7.010 | 6.990 | 6.990 | 7.010 | 7.040 | 7.060 | 7.070 |
| 7.060 | 7.030 | 7.000 | 7.000 | 7.020 | 7.050 | 7.070 | 7.070 | 7.050 | 7.020 |
| 7.000 | 7.000 | 7.010 | 7.020 | 7.040 | 7.060 | 7.070 | 7.070 | 7.070 | 7.060 |
| 7.040 | 7.020 | 7.000 | 6.980 | 6.980 | 6.980 | 7.000 | 7.020 | 7.050 | 7.080 |
| 7.100 | 7.110 | 7.080 | 7.030 | 6.970 | 6.920 | 6.920 | 6.960 | 7.020 | 7.080 |
| 7.120 | 7.120 | 7.080 | 7.020 | 6.970 | 6.940 | 6.950 | 6.980 | 7.020 | 7.050 |
| 7.060 | 7.050 | 7.040 | 7.050 | 7.070 | 7.090 | 7.080 | 7.050 | 7.000 | 6.950 |
| 6.940 | 6.950 | 7.000 | 7.050 | 7.100 | 7.110 | 7.090 | 7.050 | 7.000 | 6.960 |
| 6.940 | 6.950 | 6.990 | 7.030 | 7.070 | 7.090 | 7.100 | 7.080 | 7.050 | 7.010 |
| 6.970 | 6.940 | 6.940 | 6.960 | 7.010 | 7.060 | 7.110 | 7.120 | 7.110 | 7.060 |
| 7.010 | 6.970 | 6.970 | 6.990 | 7.020 | 7.040 | 7.040 | 7.030 | 7.020 | 7.010 |
| 7.010 | 7.020 | 7.030 | 7.050 | 7.060 | 7.050 | 7.040 | 7.010 | 6.990 | 6.990 |
| 7.000 | 7.020 | 7.030 | 7.040 | 7.050 | 7.060 | 7.060 | 7.060 | 7.040 | 7.020 |
| 7.000 | 6.990 | 6.980 | 6.990 | 7.010 | 7.040 | 7.070 | 7.080 | 7.070 | 7.040 |
| 7.010 | 6.990 | 6.990 | 7.000 | 7.030 | 7.050 | 7.050 | 7.050 | 7.030 | 7.010 |
| 7.010 | 7.020 | 7.040 | 7.060 | 7.070 | 7.060 | 7.040 | 7.010 | 6.990 | 6.990 |
| 7.010 | 7.030 | 7.050 | 7.040 | 7.030 | 7.010 | 6.990 | 6.980 | 7.000 | 7.030 |
| 7.060 | 7.090 | 7.100 | 7.080 | 7.050 | 7.000 | 6.950 | 6.920 | 6.930 | 6.970 |
| 7.030 | 7.090 | 7.130 | 7.130 | 7.100 | 7.040 | 6.980 | 6.940 | 6.930 | 6.950 |
| 7.000 | 7.050 | 7.090 | 7.100 | 7.090 | 7.050 | 7.020 | 7.000 | 6.990 | 7.000 |
| 7.020 | 7.040 | 7.050 | 7.050 | 7.040 | 7.030 | 7.020 | 7.020 | 7.020 | 7.030 |
| 7.040 | 7.050 | 7.060 | 7.050 | 7.040 | 7.020 | 7.010 | 7.020 | 7.030 | 7.040 |
| 7.050 | 7.030 | 7.000 | 6.970 | 6.970 | 7.000 | 7.040 | 7.080 | 7.100 | 7.090 |
| 7.050 | 7.000 | 6.960 | 6.950 | 6.970 | 6.990 | 6.970 | 7.020 | 7.020 | 7.040 |
| 7.060 | 7.080 | 7.090 | 7.080 | 7.050 | 6.990 | 6.930 | 6.900 | 6.910 | 6.950 |
| 7.020 | 7.080 | 7.120 | 7.140 | 7.130 | 7.100 | 7.040 | 6.980 | 6.920 | 6.910 |
| 6.940 | 7.000 | 7.060 | 7.100 | 7.100 | 7.080 | 7.050 | 7.020 | 7.000 | 7.000 |
| 7.000 | 7.010 | 7.040 | 7.060 | 7.070 | 7.070 | 7.050 | 7.020 | 6.980 | 6.960 |
| 6.960 | 6.970 | 7.000 | 7.030 | 7.060 | 7.090 | 7.110 | 7.100 | 7.060 | 7.010 |
| 6.970 | 6.950 | 6.950 | 6.970 | 7.000 | 7.030 | 7.060 | 7.070 | 7.080 | 7.070 |
| 7.050 | 7.030 | 7.010 | 7.010 | 7.010 | 7.020 | 7.030 | 7.040 | 7.040 | 7.030 |
| 7.010 | 7.000 | 7.010 | 7.040 | 7.060 | 7.060 | 7.040 | 7.010 | 6.990 | 6.980 |
| 6.990 | 7.020 | 7.040 | 7.050 | 7.050 | 7.040 | 7.040 | 7.050 | 7.060 | 7.070 |
| 7.050 | 7.010 | 6.980 | 6.960 | 6.970 | 6.990 | 7.010 | 7.040 | 7.070 | 7.100 |
| 7.110 | 7.100 | 7.060 | 7.000 | 6.950 | 6.930 | 6.950 | 7.000 | 7.060 | 7.090 |
| 7.090 | 7.070 | 7.040 | 7.020 | 7.010 | 7.010 | 7.010 | 7.010 | 7.020 | 7.030 |
| 7.050 | 7.060 | 7.060 | 7.050 | 7.040 | 7.040 | 7.030 | 7.020 | 7.010 | 7.000 |
| 6.990 | 6.990 | 7.000 | 7.020 | 7.050 | 7.080 | 7.090 | 7.080 | 7.060 | 7.010 |
| 6.960 | 6.930 | 6.930 | 6.980 | 7.040 | 7.100 | 7.120 | 7.100 | 7.040 | 6.980 |
| 6.930 | 6.930 | 6.960 | 7.020 | 7.070 | 7.090 | 7.080 | 7.040 | 7.000 | 6.980 |
| 6.980 | 6.990 | 7.000 | 7.020 |       |       |       |       |       |       |

el punto en estudio a elevaciones de superficie libre del mar, para obtener su perfil, puesto que éste solo registra presiones. Esto se realizó de acuerdo con la teoría lineal del oleaje, para el registro de presiones con que se cuenta.

La expresión que relaciona a la presión y la elevación de la superficie libre es

$$\frac{p}{\gamma} + z = K \eta \quad (7.1)$$

donde

- p presión a la profundidad z
- $\gamma$  peso específico del agua
- $\eta$  elevación de la superficie libre
- k factor de respuesta de presión

Las dos últimas variables están dadas como

$$\eta = a \cos (kx - \sigma t) \quad (7.2)$$

$$K = \frac{\cosh k(z+d)}{\cosh kd} \quad (7.3)$$

donde

- a amplitud del oleaje
- k número de onda (igual al recíproco de la longitud L)

- multiplicada por dos veces  $\pi$  ;  $k=2\pi/L$ )  
 $\sigma$  frecuencia angular (igual al recíproco del periodo T  
multiplicado por dos veces  $\pi$  ;  $\sigma=2\pi/T$ )  
d profundidad del fondo  
x distancia a lo largo de la ola  
t tiempo

Para calcular  $\eta$  en una posición fija en el espacio, conviene hacer en al ec.(7.2),  $x = 0$ . Sin embargo, en este caso se consideró que podría obtenerse a partir de la ec.(7.1) como

$$\eta(t) = \left( \frac{p(t)}{\gamma} + z \right) \frac{1}{K} \quad (7.4)$$

Para el caso del sensor de presión, se propuso que  $d = 6.5$  m y por medio del método "cruce-cero" (inciso 5.4.1), se estimaron del registro de presiones, los periodos. Del conjunto de valores de periodos se obtuvo su media aritmética, la cual resultó ser  $T = 5.30$  seg..

Se encontró para un periodo  $T = 5.30$  seg. y profundidad  $d = 6.5$  m, la longitud de la ola de acuerdo a la ec.(5.1) resultando  $L = 35.70$  m. Para  $z = -d = -6.5$  m se obtuvo con la ec.( 7.3) que  $k' = 0.5785$ . Aceptando que para el agua de mar  $\gamma = 1.025$  ton/m<sup>3</sup> y tomando en cuenta que la presión esta dada en columna de agua, la ec.(7.4) quedó en este caso como

$$\eta(t) = ( p'(t) - 6.5 ) 1.7285 \quad (7.5)$$

siendo  $p'(t) = p(t)/\gamma$ , la presión que aparece en el registro del sensor

Con la ec.(7.5), se obtuvo el registro de elevaciones de superficie libre del mar.

### 7.1.2 Cálculo de la función de densidad espectral $s(f)$

Para obtener la función de densidad espectral primero se propone estimar el valor de varios parámetros (inciso 4.5).

Aunque en este caso se especificó el intervalo de tiempo  $\Delta t$  entre los valores descritos como 0.5 seg. y el tiempo de registro  $T$ , como 512 seg. = 8.533 min., se considera adecuado el tamaño de  $\Delta t$  porque la frecuencia máxima es (ver ec.(4.449))

$$f_m = \frac{1}{2\Delta t} = \frac{1}{2(0.5)} = 1.0 \text{ hz}$$

y de este modo se abarca a las ondas generadas por el viento llamadas de gravedad en la región donde tiene mayor amplitud, como se aprecia en la clasificación de las ondas oceánicas de Munk, 1951 [19].

En cuanto al tiempo de registro, si se escoge el valor de 4 para el parámetro  $q$ , se tiene que el error estándar normal es (ver ec.(4.52))

$$\varepsilon = \frac{1}{q^2} = \frac{1}{4^2} = 0.0625$$

La magnitud de este error se estima adecuada (inciso 4.6).

El tiempo  $T_{\bullet}$  resulta ser (ver ec.(4.34))

$$T_{\bullet} = \frac{T}{q} = \frac{512}{4} = 128 \text{ seg} = 2.13 \text{ min}$$

El ancho de frecuencia (ver ec.(4.36))

$$B_{\bullet} = \frac{1}{T_{\bullet}} = \frac{1}{128} = 0.00781 \text{ hz}$$

El número de grados de libertad es (ver ec. (4.47))

$$n = 2q = 2(4) = 8$$

Las variables  $\chi^2$  (ji cuadrada) para  $\alpha = 5\%$  y  $n = 8$ , de la tabla (2.1) resultaron ser (inciso 2.2.3)

$$\chi_{10;0.05}^2 = 15.51$$

$$\chi_{10;0.95}^2 = 2.73$$

El intervalo de confianza del 95% para la función de densidad espectral es (inciso 2.4)

$$\frac{8 s(f)}{\chi_{8;0.05}^2} \leq s(f) \leq \frac{8 s(f)}{\chi_{8;0.95}^2}$$

$$0.5158 s(f) \leq s(f) \leq 2.93 s(f)$$



De acuerdo a lo visto en los incisos 4.5 y 4.6 se estima la función de densidad espectral con los dos promedios a saber

a) Promedio de varias funciones de densidad espectral

Se forman 4 conjuntos con los valores de  $f(t)$ . Cada conjunto tiene un grupo de  $N$  valores (ver ec.(4.53)), donde

$$N = \frac{T}{\Delta t} = \frac{128}{0.5} = 256$$

y las frecuencias tienen un ancho de

$$\Delta f = \frac{1}{T} = B_0 = 0.00781 \text{ hz}$$

Utilizando la transformada rápida de Fourier (inciso 3.4), se obtuvieron 4 funciones de densidad espectral muestral  $\hat{S}_i(f)$ . En la tabla 7.2 se consigna la primera de ellas y en la 7.3 se anota la promedio de las 4 calculadas. Los valores de esta última tabla corresponden a la función de densidad espectral buscada, ella se muestra en la fig.7.2.

La función ventana fue la de la fig. 4.9c

De cada una de las funciones de densidad espectral se obtuvo, (espectro de dos lados).

|          | $m_0$<br>$10^{-8} \text{ m}^2$ | $m_1$<br>$10^{-4} \text{ m}^2/\text{s}$ | $m_2$<br>$10^{-5} \text{ m}^2/\text{s}^2$ | $m_4$<br>$10^{-6} \text{ m}^2/\text{s}^4$ |
|----------|--------------------------------|---|---|---|
| $S_1(f)$ | 2.0438                         | 3.6828                                  | 7.2105                                    | 4.9999                                    |
| $S_2(f)$ | 1.4612                         | 2.6924                                  | 5.6430                                    | 5.0374                                    |
| $S_3(f)$ | 2.2242                         | 4.2171                                  | 8.4845                                    | 5.0238                                    |
| $S_4(f)$ | 2.6350                         | 4.8671                                  | 9.6185                                    | 6.6608                                    |

De la función de densidad espectral se obtuvo los momentos respectivos (ver ec.(4.57)), (espectro de dos lados).

$$m_0 = 2.0911 (10^{-8}) \text{ m}^2$$

$$m_1 = 3.8648 (10^{-4}) \text{ m}^2/\text{seg}$$

$$m_2 = 7.7391 (10^{-5}) \text{ m}^2/\text{seg}^2$$

$$m_4 = 5.4305 (10^{-6}) \text{ m}^2/\text{seg}^4$$

El parámetro ancho de banda fue

$$e = 0.6874$$

El periodo promedio es

$$\bar{T} = \sqrt{\frac{m_0}{m_2}} = 5.20 \text{ seg}$$

Tabla 7.2 Función de densidad espectral (espectro no 1)

| k  | f      | S(k)   |
|----|--------|--------|
| 0  | 0.0000 | 0.0000 |
| 1  | 0.0078 | 0.0004 |
| 2  | 0.0156 | 0.0013 |
| 3  | 0.0234 | 0.0001 |
| 4  | 0.0313 | 0.0006 |
| 5  | 0.0391 | 0.0002 |
| 6  | 0.0469 | 0.0002 |
| 7  | 0.0547 | 0.0000 |
| 8  | 0.0625 | 0.0002 |
| 9  | 0.0703 | 0.0003 |
| 10 | 0.0781 | 0.0006 |
| 11 | 0.0859 | 0.0001 |
| 12 | 0.0938 | 0.0002 |
| 13 | 0.1016 | 0.0002 |
| 14 | 0.1094 | 0.0005 |
| 15 | 0.1172 | 0.0039 |
| 16 | 0.1250 | 0.0030 |
| 17 | 0.1328 | 0.0042 |
| 18 | 0.1406 | 0.0032 |
| 19 | 0.1484 | 0.0055 |
| 20 | 0.1563 | 0.0092 |
| 21 | 0.1641 | 0.0154 |
| 22 | 0.1719 | 0.0063 |
| 23 | 0.1797 | 0.0083 |
| 24 | 0.1875 | 0.0155 |
| 25 | 0.1953 | 0.0113 |
| 26 | 0.2031 | 0.0146 |
| 27 | 0.2109 | 0.0050 |
| 28 | 0.2188 | 0.0108 |
| 29 | 0.2266 | 0.0003 |
| 30 | 0.2344 | 0.0038 |
| 31 | 0.2422 | 0.0008 |
| 32 | 0.2500 | 0.0024 |
| 33 | 0.2578 | 0.0000 |
| 34 | 0.2656 | 0.0002 |
| 35 | 0.2734 | 0.0001 |
| 36 | 0.2813 | 0.0001 |
| 37 | 0.2891 | 0.0004 |
| 38 | 0.2969 | 0.0002 |
| 39 | 0.3047 | 0.0001 |
| 40 | 0.3125 | 0.0001 |
| 41 | 0.3203 | 0.0000 |
| 42 | 0.3281 | 0.0002 |
| 43 | 0.3359 | 0.0001 |
| 44 | 0.3438 | 0.0001 |
| 45 | 0.3516 | 0.0000 |
| 46 | 0.3594 | 0.0000 |
| 47 | 0.3672 | 0.0000 |
| 48 | 0.3750 | 0.0000 |
| 49 | 0.3828 | 0.0000 |
| 50 | 0.3906 | 0.0000 |

Tabla 7.3 Función de densidad espectral (promedio de varias funciones)

| k  | f       | s(f)    |
|----|---------|---------|
| 1  | 0.00000 | 0.00032 |
| 2  | 0.00781 | 0.00075 |
| 3  | 0.01563 | 0.00031 |
| 4  | 0.02344 | 0.00053 |
| 5  | 0.03125 | 0.00067 |
| 6  | 0.03906 | 0.00018 |
| 7  | 0.04688 | 0.00011 |
| 8  | 0.05469 | 0.00027 |
| 9  | 0.06250 | 0.00012 |
| 10 | 0.07031 | 0.00017 |
| 11 | 0.07813 | 0.00007 |
| 12 | 0.08594 | 0.00013 |
| 13 | 0.09375 | 0.00023 |
| 14 | 0.10156 | 0.00053 |
| 15 | 0.10938 | 0.00167 |
| 16 | 0.11719 | 0.00128 |
| 17 | 0.12500 | 0.00475 |
| 18 | 0.13281 | 0.00594 |
| 19 | 0.14063 | 0.00278 |
| 20 | 0.14844 | 0.00534 |
| 21 | 0.15625 | 0.01475 |
| 22 | 0.16406 | 0.01279 |
| 23 | 0.17188 | 0.01699 |
| 24 | 0.17969 | 0.01234 |
| 25 | 0.18750 | 0.01049 |
| 26 | 0.19531 | 0.01204 |
| 27 | 0.20313 | 0.00235 |
| 28 | 0.21094 | 0.00639 |
| 29 | 0.21875 | 0.00464 |
| 30 | 0.22656 | 0.00446 |
| 31 | 0.23438 | 0.00175 |
| 32 | 0.24219 | 0.00321 |
| 33 | 0.25000 | 0.00072 |
| 34 | 0.25781 | 0.00101 |
| 35 | 0.26563 | 0.00071 |
| 36 | 0.27344 | 0.00067 |
| 37 | 0.28125 | 0.00021 |
| 38 | 0.28906 | 0.00038 |
| 39 | 0.29688 | 0.00027 |
| 40 | 0.30469 | 0.00012 |
| 41 | 0.31250 | 0.00020 |
| 42 | 0.32031 | 0.00016 |
| 43 | 0.32813 | 0.00017 |
| 44 | 0.33594 | 0.00009 |
| 45 | 0.34375 | 0.00006 |
| 46 | 0.35156 | 0.00004 |
| 47 | 0.35938 | 0.00003 |
| 48 | 0.36719 | 0.00005 |
| 49 | 0.37500 | 0.00003 |
| 50 | 0.38281 | 0.00002 |

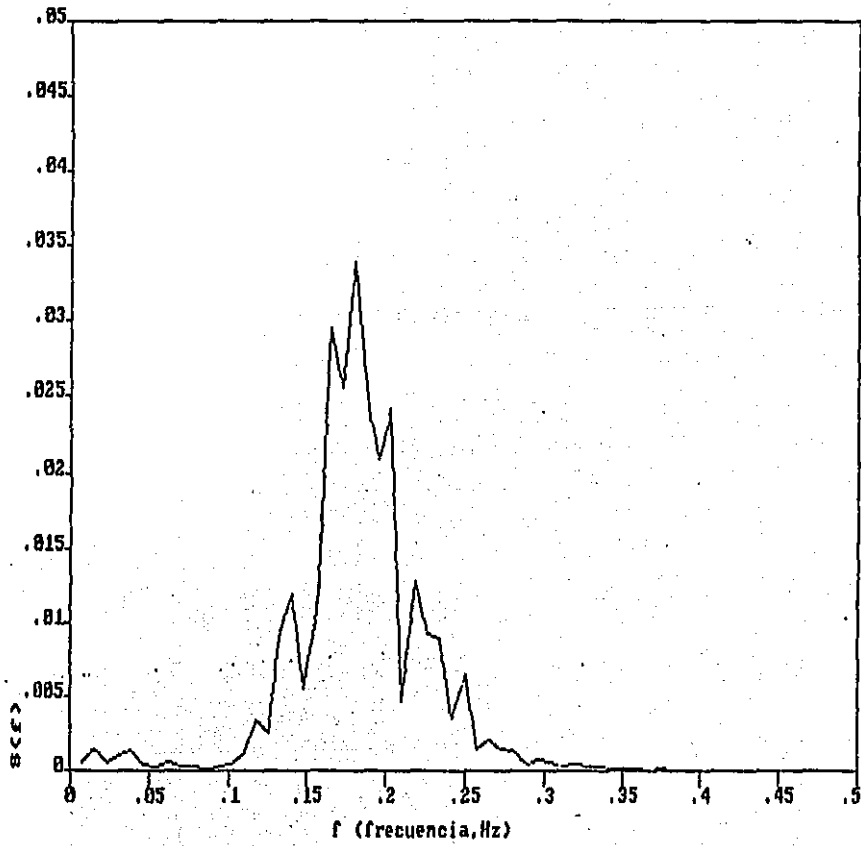


Fig. 7.2 Función de densidad espectral (promedio de varias funciones)

Este valor es muy parecido al obtenido con el registro de presiones (5.30 seg.).

b) Promedio de ordenadas en una función de densidad espectral

En este caso se consideró que el número de valores por transformar fue

$$N = 1024$$

de donde resultó que el ancho de frecuencia es

$$\Delta f = \frac{1}{T} = \frac{1}{512} = 0.00195 \text{ hz}$$

$$B_{\bullet} = \frac{q}{T} = q \Delta f = 0.00781 \text{ hz}$$

También se utilizó la ventana  $h(t)$  mostrada en la fig. 4.9 y se encontró que, según la ec.(4.11), la función de densidad espectral corresponde al conjunto de valores apuntados en la tabla 7.3 y dibujados en la fig. 7.4.

Los momentos de las función de densidad espectral resultaron ser (espectro. de dos lados)

$$m_0 = 2.3200 (10^{-3}) \text{ m}^2$$

$$m_1 = 4.2618 (10^{-4}) \text{ m}^2/\text{seg}$$

$$m_2 = 8.5582 (10^{-5}) \text{ m}^2/\text{seg}^2$$

$$m_4 = 6.0660 (10^{-6}) \text{ m}^2/\text{seg}^4$$

El parámetro ancho de banda es

$$\epsilon = 0.6925$$

El periodo promedio es

$$\bar{T} = \sqrt{\frac{m_0}{m_2}} = 5.21 \text{ seg}$$

Este valor es parecido al obtenido con el registro de presiones (5.30 seg.).

## 7.2 Analisis estadístico

La secuencia que se siguió en este caso, es presenta en los incisos siguientes.

### 7.2.1 Ajuste de las alturas de ola a una distribución Rayleigh

Por medio del método "cruce-cero" se obtuvieron 96 alturas de ola y periodos los cuales aparecen en la tabla 7.4.

Para ajustar el parámetro  $\alpha$  de la distribución Rayleigh (inciso 5.4.2).

$$p = 1 - e^{-H^2/2\alpha^2} \quad (7.6)$$

se siguieron dos procedimientos

Tabla 7.3 Función de densidad espectral (promedio de varias frecuencias)

| k  | f        | S(f)     |
|----|----------|----------|
| 1  | 0.004883 | 0.001079 |
| 2  | 0.012695 | 0.000827 |
| 3  | 0.020508 | 0.000375 |
| 4  | 0.028320 | 0.000962 |
| 5  | 0.036133 | 0.000228 |
| 6  | 0.043945 | 0.000630 |
| 7  | 0.051758 | 0.000219 |
| 8  | 0.059570 | 0.000190 |
| 9  | 0.067383 | 0.000241 |
| 10 | 0.075195 | 0.000193 |
| 11 | 0.083008 | 0.000020 |
| 12 | 0.090820 | 0.000104 |
| 13 | 0.098633 | 0.000116 |
| 14 | 0.106445 | 0.001013 |
| 15 | 0.114258 | 0.001283 |
| 16 | 0.122070 | 0.001293 |
| 17 | 0.129883 | 0.003668 |
| 18 | 0.137695 | 0.009776 |
| 19 | 0.145508 | 0.002075 |
| 20 | 0.153320 | 0.003921 |
| 21 | 0.161133 | 0.007928 |
| 22 | 0.168945 | 0.019320 |
| 23 | 0.176758 | 0.018091 |
| 24 | 0.184570 | 0.008349 |
| 25 | 0.192383 | 0.019707 |
| 26 | 0.200195 | 0.007118 |
| 27 | 0.208008 | 0.011039 |
| 28 | 0.215820 | 0.007184 |
| 29 | 0.223633 | 0.002472 |
| 30 | 0.231445 | 0.005286 |
| 31 | 0.239258 | 0.002439 |
| 32 | 0.247070 | 0.004300 |
| 33 | 0.254883 | 0.001632 |
| 34 | 0.262695 | 0.000762 |
| 35 | 0.270508 | 0.000796 |
| 36 | 0.278320 | 0.000687 |
| 37 | 0.286133 | 0.000595 |
| 38 | 0.293945 | 0.000365 |
| 39 | 0.301758 | 0.000469 |
| 40 | 0.309570 | 0.000057 |
| 41 | 0.317383 | 0.000147 |
| 42 | 0.325195 | 0.000352 |
| 43 | 0.333008 | 0.000163 |
| 44 | 0.340820 | 0.000195 |
| 45 | 0.348633 | 0.000063 |
| 46 | 0.356445 | 0.000050 |
| 47 | 0.364258 | 0.000027 |
| 48 | 0.372070 | 0.000047 |
| 49 | 0.379883 | 0.000032 |
| 50 | 0.387695 | 0.000020 |



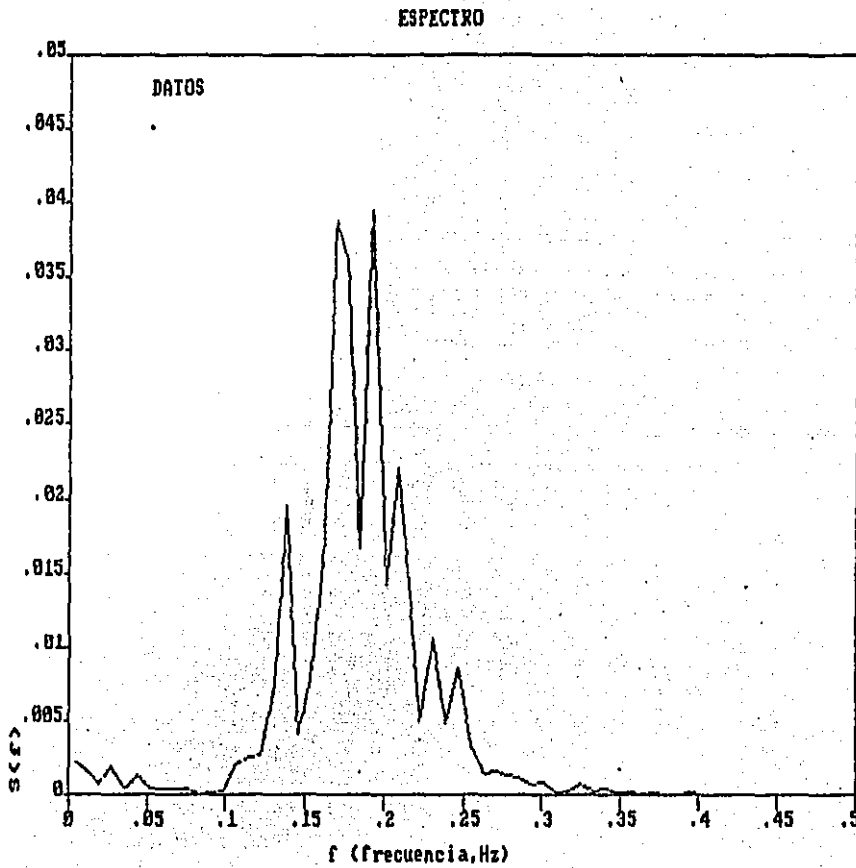


Fig. 7.4 Función de densidad espectral (promedio de varias frecuencias)

## a) Ajuste por mínimos cuadrados

De la ec.(7.6), se tiene que para cada altura de ola, la probabilidad de no exceder  $H$  es.

$$p = 1 - e^{-H^2/2\alpha^2}$$

$$\frac{1}{1-p} = e^{H^2/2\alpha^2}$$

En función del periodo de retorno es igual a.

$$T = e^{H^2/2\alpha^2}$$

$$\ln T = \frac{1}{2\alpha^2} H^2$$

cambiando de variable

$$z = \beta H^2 \quad (7.7)$$

por lo que la suma de los errores es

$$s = \sum (\beta H_i^2 - z_i)^2$$

$$\frac{\partial s}{\partial \beta} = 2 \sum (\beta H_i^2 - z_i) H_i^2 = 0$$

$$\beta = \frac{\sum z_i H_i^2}{\sum H_i^4}$$

El coeficiente de correlación lineal resulta

$$r = \sqrt{\frac{\sum (z_i H_i^2 - \bar{z})^2}{\sum (z_i - \bar{z})^2}}$$

Tabla 7.4 Cálculo de las características de las olas con el método

cruce-cero

## a) Alturas de ola

|        |        |        |        |        |
|--------|--------|--------|--------|--------|
| 0.1728 | 0.1729 | 0.1210 | 0.1210 | 0.1556 |
| 0.3284 | 0.3083 | 0.2593 | 0.1383 | 0.1556 |
| 0.0691 | 0.1210 | 0.2074 | 0.1210 | 0.0519 |
| 0.1210 | 0.2593 | 0.3111 | 0.2247 | 0.2074 |
| 0.3111 | 0.0928 | 0.0864 | 0.1383 | 0.2420 |
| 0.3284 | 0.3976 | 0.1383 | 0.2247 | 0.1729 |
| 0.2593 | 0.1383 | 0.2766 | 0.1901 | 0.0864 |
| 0.1901 | 0.2766 | 0.1210 | 0.0694 | 0.1383 |
| 0.1901 | 0.3111 | 0.1556 | 0.1164 | 0.0784 |
| 0.0346 | 0.1729 | 0.1556 | 0.2547 | 0.1383 |
| 0.1210 | 0.2766 | 0.3284 | 0.1901 | 0.0864 |
| 0.2074 | 0.2766 | 0.2938 | 0.1210 | 0.1901 |
| 0.1556 | 0.2593 | 0.1510 | 0.2593 | 0.2593 |
| 0.0519 | 0.1210 | 0.1383 | 0.0864 | 0.1556 |
| 0.1555 | 0.1037 | 0.0173 | 0.1901 | 0.0346 |
| 0.1556 | 0.0691 | 0.1383 | 0.1637 | 0.3610 |
| 0.1729 | 0.2938 | 0.1037 | 0.2247 | 0.2247 |
| 0.1556 | 0.1383 | 0.0519 | 0.1037 | 0.0873 |
| 0.0864 | 0.2420 | 0.1901 | 0.2938 | 0.2766 |
| 0.1729 |        |        |        |        |

## b) Periodos de ola

|      |      |      |      |      |
|------|------|------|------|------|
| 5.00 | 7.50 | 4.50 | 8.00 | 6.00 |
| 6.00 | 4.50 | 4.00 | 4.50 | 5.00 |
| 5.00 | 8.00 | 6.00 | 6.00 | 5.00 |
| 5.00 | 6.50 | 4.00 | 5.50 | 6.00 |
| 7.50 | 6.00 | 4.50 | 3.50 | 4.50 |
| 4.50 | 7.00 | 5.50 | 5.50 | 5.00 |
| 5.50 | 5.00 | 6.00 | 6.00 | 6.50 |
| 3.50 | 5.50 | 6.50 | 5.50 | 2.50 |
| 5.00 | 6.00 | 4.50 | 5.50 | 5.50 |
| 4.00 | 5.50 | 7.50 | 6.50 | 4.00 |
| 4.00 | 5.00 | 4.50 | 5.50 | 5.50 |
| 5.00 | 5.00 | 4.50 | 4.00 | 4.50 |
| 7.50 | 5.50 | 5.00 | 7.00 | 5.00 |
| 6.00 | 5.00 | 3.50 | 5.00 | 6.50 |
| 4.50 | 4.00 | 4.50 | 4.00 | 5.50 |
| 5.50 | 5.00 | 4.00 | 4.50 | 4.00 |
| 6.50 | 6.00 | 5.50 | 5.00 | 5.50 |
| 6.00 | 5.50 | 3.50 | 4.50 | 7.50 |
| 5.50 | 5.50 | 7.50 | 5.00 | 5.00 |
| 5.00 |      |      |      |      |

En la tabla 7.5 se anotan los valores y sumas de interés utilizados para estimar el valor del coeficiente de correlación  $r$ , para el caso del registro en estudio

Los periodos de retorno se calculan después de ordenar de mayor a menor las alturas de olas y por medio de la ec.(7.8), se encontró que

$$\beta = 27.7927$$

por lo que

$$2\alpha^2 = 0.1897$$

y al utilizar la ec.(7.9); el coeficiente de correlación fue de

$$r = 0.9338$$

b) Ajuste por momentos

Mediante el ajuste por momentos, se sabe que [4]

$$2\alpha^2 = H_{rms}$$

De acuerdo a los valores de altura de ola que se obtuvieron del registro

$$H_{rms} = 0.1960$$

Tabla 7.8 Cálculo por mínimos cuadrados del parámetro  $\beta$ 

| $i$ | $T_{ri}$ | $H_i$  | $Z_i$  | $H_i^2 Z_i \times 10^2$ | $H_i^4 \times 10^4$ |
|-----|----------|--------|--------|-------------------------|---------------------|
| 1   | 97.0000  | 0.3976 | 4.5747 | 72.3284                 | 249.9713            |
| 2   | 48.5000  | 0.3610 | 3.8816 | 50.5896                 | 169.8672            |
| 3   | 32.3333  | 0.3284 | 3.4761 | 37.4867                 | 116.2975            |
| 4   | 32.3333  | 0.3284 | 3.4761 | 37.4867                 | 116.2975            |
| 5   | 32.3333  | 0.3284 | 3.4761 | 37.4867                 | 116.2975            |
| 6   | 16.1667  | 0.3111 | 2.7830 | 26.9316                 | 93.6507             |
| 7   | 16.1667  | 0.3111 | 2.7830 | 26.9316                 | 93.6507             |
| 8   | 16.1667  | 0.3111 | 2.7830 | 26.9316                 | 93.6507             |
| 9   | 10.7778  | 0.3083 | 2.3775 | 22.6017                 | 90.3746             |
| 10  | 9.7000   | 0.2938 | 2.2721 | 19.6094                 | 74.4845             |
| 11  | 9.7000   | 0.2938 | 2.2721 | 19.6094                 | 74.4845             |
| 12  | 9.7000   | 0.2938 | 2.2721 | 19.6094                 | 74.4845             |
| 13  | 7.4615   | 0.2766 | 2.0098 | 15.3785                 | 58.5521             |
| 14  | 7.4615   | 0.2766 | 2.0098 | 15.3785                 | 58.5521             |
| 15  | 7.4615   | 0.2766 | 2.0098 | 15.3785                 | 58.5521             |
| 16  | 7.4615   | 0.2766 | 2.0098 | 15.3785                 | 58.5521             |
| 17  | 7.4615   | 0.2766 | 2.0098 | 15.3785                 | 58.5521             |
| 18  | 5.3889   | 0.2593 | 1.6843 | 11.3261                 | 45.2167             |
| 19  | 5.3889   | 0.2593 | 1.6843 | 11.3261                 | 45.2167             |
| 20  | 5.3889   | 0.2593 | 1.6843 | 11.3261                 | 45.2167             |
| 21  | 5.3889   | 0.2593 | 1.6843 | 11.3261                 | 45.2167             |
| 22  | 5.3889   | 0.2593 | 1.6843 | 11.3261                 | 45.2167             |
| 23  | 5.3889   | 0.2593 | 1.6843 | 11.3261                 | 45.2167             |
| 24  | 5.3889   | 0.2547 | 1.6843 | 10.9282                 | 42.0959             |
| 25  | 3.8800   | 0.2420 | 1.3558 | 7.9407                  | 34.3004             |
| 26  | 3.8800   | 0.2420 | 1.3558 | 7.9407                  | 34.3004             |
| 27  | 3.5926   | 0.2247 | 1.2789 | 6.4569                  | 25.4913             |
| 28  | 3.5926   | 0.2247 | 1.2789 | 6.4569                  | 25.4913             |
| 29  | 3.5926   | 0.2247 | 1.2789 | 6.4569                  | 25.4913             |
| 30  | 3.5926   | 0.2247 | 1.2789 | 6.4569                  | 25.4913             |
| 31  | 3.1290   | 0.2074 | 1.1407 | 4.9062                  | 18.4989             |
| 32  | 3.1290   | 0.2074 | 1.1407 | 4.9062                  | 18.4989             |
| 33  | 3.1290   | 0.2074 | 1.1407 | 4.9062                  | 18.4989             |
| 34  | 2.8529   | 0.1901 | 1.0483 | 3.7877                  | 13.0544             |
| 35  | 2.8529   | 0.1901 | 1.0483 | 3.7877                  | 13.0544             |
| 36  | 2.8529   | 0.1901 | 1.0483 | 3.7877                  | 13.0544             |
| 37  | 2.8529   | 0.1901 | 1.0483 | 3.7877                  | 13.0544             |
| 38  | 2.8529   | 0.1901 | 1.0483 | 3.7877                  | 13.0544             |
| 39  | 2.8529   | 0.1901 | 1.0483 | 3.7877                  | 13.0544             |
| 40  | 2.8529   | 0.1901 | 1.0483 | 3.7877                  | 13.0544             |
| 41  | 2.3659   | 0.1729 | 0.8612 | 2.5752                  | 8.9423              |
| 42  | 2.3659   | 0.1729 | 0.8612 | 2.5752                  | 8.9423              |
| 43  | 2.3659   | 0.1729 | 0.8612 | 2.5752                  | 8.9423              |
| 44  | 2.3659   | 0.1729 | 0.8612 | 2.5752                  | 8.9423              |
| 45  | 2.3659   | 0.1729 | 0.8612 | 2.5752                  | 8.9423              |
| 46  | 2.1087   | 0.1728 | 0.7461 | 2.2271                  | 8.9106              |
| 47  | 2.0638   | 0.1637 | 0.7245 | 1.9425                  | 7.1876              |
| 48  | 2.0208   | 0.1556 | 0.7035 | 1.7037                  | 5.8647              |
| 49  | 2.0208   | 0.1556 | 0.7035 | 1.7037                  | 5.8647              |
| 50  | 2.0208   | 0.1556 | 0.7035 | 1.7037                  | 5.8647              |
| 51  | 2.0208   | 0.1556 | 0.7035 | 1.7037                  | 5.8647              |
| 52  | 2.0208   | 0.1556 | 0.7035 | 1.7037                  | 5.8647              |

|    |        |        |        |        |        |
|----|--------|--------|--------|--------|--------|
| 53 | 2.0208 | 0.1556 | 0.7035 | 1.7037 | 5.8647 |
| 54 | 2.0208 | 0.1556 | 0.7035 | 1.7037 | 5.8647 |
| 55 | 2.0208 | 0.1556 | 0.7035 | 1.7037 | 5.8647 |
| 56 | 1.7321 | 0.1555 | 0.5493 | 1.3277 | 5.8416 |
| 57 | 1.7018 | 0.1510 | 0.5317 | 1.2127 | 5.2021 |
| 58 | 1.6724 | 0.1383 | 0.5143 | 0.9838 | 3.6595 |
| 59 | 1.6724 | 0.1383 | 0.5143 | 0.9838 | 3.6595 |
| 60 | 1.6724 | 0.1383 | 0.5143 | 0.9838 | 3.6595 |
| 61 | 1.6724 | 0.1383 | 0.5143 | 0.9838 | 3.6595 |
| 62 | 1.6724 | 0.1383 | 0.5143 | 0.9838 | 3.6595 |
| 63 | 1.6724 | 0.1383 | 0.5143 | 0.9838 | 3.6595 |
| 64 | 1.6724 | 0.1383 | 0.5143 | 0.9838 | 3.6595 |
| 65 | 1.6724 | 0.1383 | 0.5143 | 0.9838 | 3.6595 |
| 66 | 1.6724 | 0.1383 | 0.5143 | 0.9838 | 3.6595 |
| 67 | 1.4478 | 0.1210 | 0.3700 | 0.5418 | 2.1438 |
| 68 | 1.4478 | 0.1210 | 0.3700 | 0.5418 | 2.1438 |
| 69 | 1.4478 | 0.1210 | 0.3700 | 0.5418 | 2.1438 |
| 70 | 1.4478 | 0.1210 | 0.3700 | 0.5418 | 2.1438 |
| 71 | 1.4478 | 0.1210 | 0.3700 | 0.5418 | 2.1438 |
| 72 | 1.4478 | 0.1210 | 0.3700 | 0.5418 | 2.1438 |
| 73 | 1.4478 | 0.1210 | 0.3700 | 0.5418 | 2.1438 |
| 74 | 1.4478 | 0.1210 | 0.3700 | 0.5418 | 2.1438 |
| 75 | 1.4478 | 0.1210 | 0.3700 | 0.5418 | 2.1438 |
| 76 | 1.2763 | 0.1164 | 0.2440 | 0.3306 | 1.8362 |
| 77 | 1.2597 | 0.1037 | 0.2309 | 0.2482 | 1.1562 |
| 78 | 1.2597 | 0.1037 | 0.2309 | 0.2482 | 1.1562 |
| 79 | 2.2597 | 0.1037 | 0.8152 | 0.8766 | 1.1562 |
| 80 | 1.2125 | 0.0928 | 0.1927 | 0.1660 | 0.7423 |
| 81 | 1.1975 | 0.0873 | 0.1802 | 0.1374 | 0.5810 |
| 82 | 1.1829 | 0.0864 | 0.1680 | 0.1253 | 0.5569 |
| 83 | 1.1829 | 0.0864 | 0.1680 | 0.1253 | 0.5569 |
| 84 | 1.1829 | 0.0864 | 0.1680 | 0.1253 | 0.5569 |
| 85 | 1.1829 | 0.0864 | 0.1680 | 0.1253 | 0.5569 |
| 86 | 1.1829 | 0.0864 | 0.1680 | 0.1253 | 0.5569 |
| 87 | 1.1149 | 0.0784 | 0.1088 | 0.0669 | 0.3782 |
| 88 | 1.1023 | 0.0694 | 0.0974 | 0.0469 | 0.2318 |
| 89 | 1.0899 | 0.0691 | 0.0861 | 0.0411 | 0.2277 |
| 90 | 1.0899 | 0.0691 | 0.0861 | 0.0411 | 0.2277 |
| 91 | 1.0659 | 0.0519 | 0.0638 | 0.0172 | 0.0727 |
| 92 | 1.0659 | 0.0519 | 0.0638 | 0.0172 | 0.0727 |
| 93 | 1.0659 | 0.0519 | 0.0638 | 0.0172 | 0.0727 |
| 94 | 1.0319 | 0.0346 | 0.0314 | 0.0038 | 0.0144 |
| 95 | 1.0319 | 0.0346 | 0.0314 | 0.0038 | 0.0144 |
| 96 | 1.0104 | 0.0173 | 0.0103 | 0.0003 | 0.0009 |

Suma 686.1565 2468.8370  
 Beta=6.861564 / .2468837 = 27.7927

$2*(\text{alfa})^2 = .1896857$

Coefficiente de correlacion  $r = .9338413$

el cual es muy parecido a 0.1897. Por ello, se estima que las alturas de ola si se distribuyen según una función del tipo Rayleigh.

En la fig. 7.5, se muestra la distribución ajustada respecto a los datos.

Una vez conocido que los datos se ajustan a una función de distribución Rayleigh, se puede utilizar las expresiones derivadas de la misma para obtener los valores de las alturas de ola.

### 7.2.2 Valores estadísticos de las alturas de olas

I. Obtención de los valores estadísticos de las alturas de olas a partir de la función de distribución Rayleigh.

$$H_{rms} = \alpha \sqrt{2} = 0.1960$$

$$m_0 = \frac{H_{rms}^2}{8} = 0.004802$$

y con esto los siguientes valores:

a) Altura de ola media ( $\bar{H}$ )

$$\bar{H} = \sqrt{2\pi m_0} = \sqrt{2\pi (0.00480)} = 0.1737 \text{ m}$$

b) Altura significativa ( $\bar{H}_{1/3}$ )

$$\bar{H}_{1/3} = 1.597 \bar{H} = 1.597 (0.1737) = 0.2774 \text{ m}$$

## COMPARACION ENTRE LAS DISTRIBUCIONES

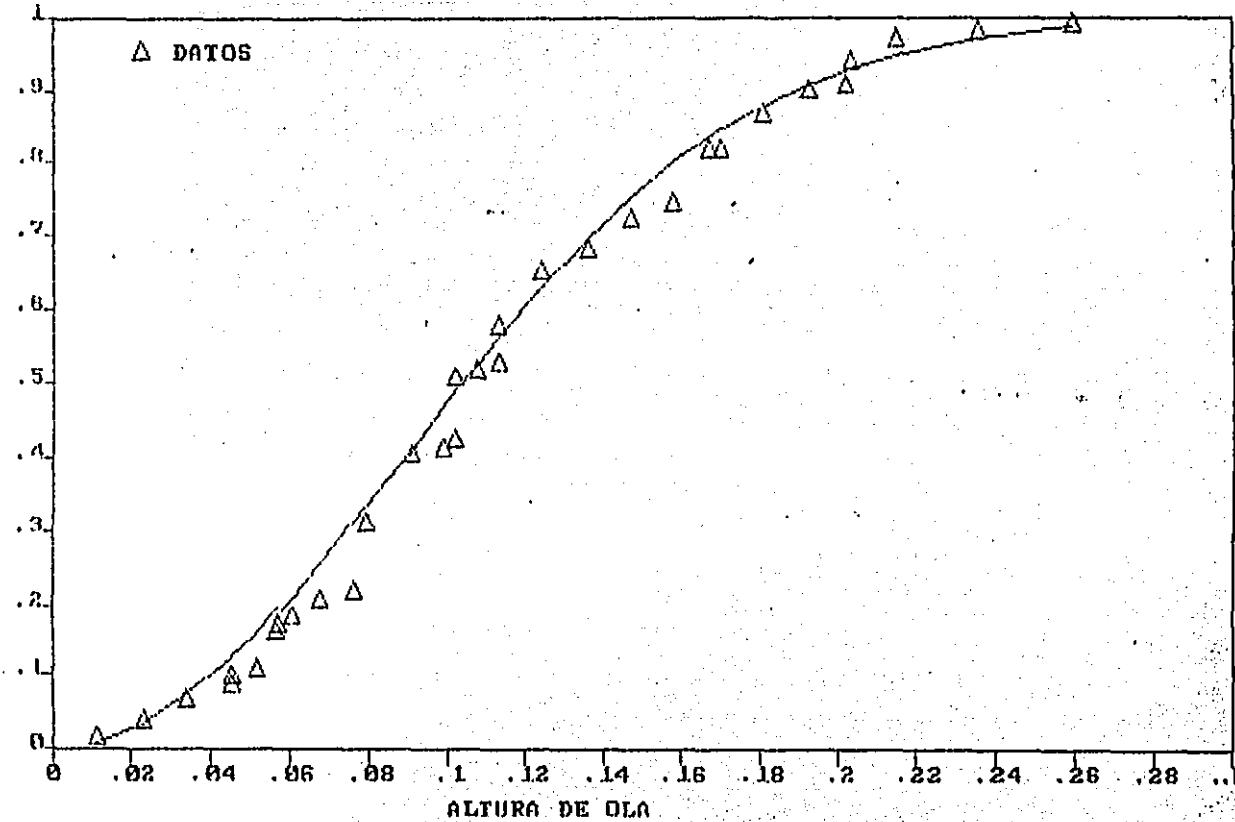


Fig. 7.8 Distribución de las alturas de ola



c) Altura un tercio ( $H_{1/3}$ )

$$H_{1/3} = H_{rms} \sqrt{\ln n} = 0.196 \sqrt{\ln 3} = 0.2054 \text{ m}$$

d) Altura ( $\bar{H}_{1/10}$ )

$$\bar{H}_{1/10} = 2.03 \bar{H} = 2.03 (0.1737) = 0.3526 \text{ m}$$

e) Altura un décimo ( $H_{1/10}$ )

$$H_{1/10} = H_{rms} \sqrt{\ln n} = 0.1960 \sqrt{\ln 10} = 0.1596 \text{ m}$$

f) Altura ( $\bar{H}_{1/50}$ )

$$\bar{H}_{1/50} = 2.2083 H_{rms} = 2.2083 (0.1960) = 0.4330 \text{ m}$$

g) Altura ( $H_{1/50}$ )

$$H_{1/50} = H_{rms} \sqrt{\ln n} = 0.1960 \sqrt{\ln 50} = 0.3878 \text{ m}$$

h) Altura máxima esperada en 10 cruces hacia arriba ( $n_0 = 10$ )

$$\zeta = (2 \ln N_0)^{1/2} + \frac{0.5772}{(2 \ln N_0)^{1/2}}$$

$$\zeta = (2 \ln 10)^{1/2} + \frac{0.5772}{(2 \ln 10)^{1/2}} = 2.4146$$

$$\bar{\eta}_{\max} = \zeta \sqrt{m_0} = 2.4146 (0.00480)^{1/2} = 0.1674 \text{ m}$$

$$\bar{H}_{\max} = 2 \bar{\eta}_{\max} = 2 (0.1674) = 0.3348 \text{ m}$$

i) Altura máxima esperada en 15 cruces hacia arriba ( $n_0 = 15$ )

$$\zeta = (2 \ln 15)^{1/2} + \frac{0.5772}{(2 \ln 15)^{1/2}} = 2.5753$$

$$\bar{\eta}_{\max} = \zeta \sqrt{m_0} = 2.5353 (0.00480)^{1/2} = 0.1784 \text{ m}$$

$$\bar{H}_{\max} = 2 \bar{\eta}_{\max} = 2 (0.1784) = 0.3569 \text{ m}$$

II. Obtención de los valores estadísticos de las alturas de olas a partir del conjunto de 96 alturas de ola.

a) Altura de ola media ( $\bar{H}$ )

$$\bar{H} = \frac{\sum H}{N} = \frac{17.057}{96} = 0.1777 \text{ m}$$

b) Altura significativa ( $\bar{H}_{1/3}$ )

El tercio de las alturas de ola con mayor altura de un grupo de 96 es 32

$$\begin{aligned} \bar{H}_{1/3} &= \frac{1}{32} \left[ 0.3976 + 0.3670 + 0.3284 (3) + 0.3111 (3) + \right. \\ &\quad \left. 0.3083 + 0.2938 (3) + 0.2766 (5) + 0.2593 (6) + \right. \\ &\quad \left. 0.2547 + 0.4840 (2) + 0.2244 (4) + 0.2074 (2) \right] = \\ &= 0.2771 \text{ m} \end{aligned}$$

c) Altura un tercio ( $H_{1/3}$ )

Del conjunto de alturas de ola se encuentra que la altura tal que 32 olas son más altas o iguales a ella es

$$H_{1/9} = 0.2074 \text{ m}$$

d) Altura ( $\bar{H}_{1/10}$ )

El 10% de las olas con mayor altura del grupo de 96 es 10

$$\bar{H}_{1/10} = \frac{1}{10} \left[ 0.3976 + 0.3610 + 0.3284 (3) + 0.3111 (3) + 0.3083 + 0.2938 \right] = 0.3279 \text{ m}$$

e) Altura un décimo ( $H_{1/10}$ )

Del conjuntos de 96 alturas de olas, se encuentra la altura tal que 10 olas son mayores o iguales a ella

$$H_{1/10} = 0.2938 \text{ m}$$

f) Altura ( $\bar{H}_{1/50}$ )

La 1/50 parte de las olas con mayor altura de un grupo de 96 olas es

$$\bar{H}_{1/50} = \frac{1}{2} \left[ 0.3976 + 0.3610 \right] = 0.3792 \text{ m}$$

g) Altura ( $H_{1/50}$ )

Del conjunto de 96 alturas de olas, se encuentra la altura tal que 2 olas son más altas o iguales que ella es

$$H_{1/50} = 0.3671 \text{ m}$$

h) Altura máxima esperada en 10 cruces hacia arriba ( $N_0 = 10$ )

De cada conjunto de 10 cruces hacia arriba, se escogió la elevación máxima, obteniéndose los valores

(0.0991, 0.1683, 0.1337, 0.1510, 0.0991, 0.1683, 0.1683, 0.1857 y 0.2028)

siendo su promedio

$$\bar{\eta}_{\max} = 0.1529$$

$$H_{\max} = 2 \bar{\eta}_{\max} = 2 (0.1529) = 0.3057 \text{ m}$$

i) Altura máxima esperada en 15 cruces hacia arriba ( $N_0 = 15$ )

De cada conjunto de 15 cruces hacia arriba, se escogió la elevación máxima, obteniéndose

(0.1683, 0.1337, 0.1510, 0.1683, 0.1683, 0.2028)

siendo su promedio

$$\bar{\eta}_{\max} = 0.1674$$

$$H_{\max} = 2 \bar{\eta}_{\max} = 2 (0.1654) = 0.3308 \text{ m}$$

### 7.2.3 Ajuste de los periodos de ola a una distribución Rayleigh

Los periodos siguen una distribución del tipo Rayleigh dada por la ec.(5.38)

$$p = 1 - e^{-\theta \tau^4}$$

siendo  $\tau = T/\bar{T}$

Para ajustar el parámetro  $\theta$ , se siguen dos procedimientos

a) Ajuste por mínimos cuadrados

En términos del periodo de retorno  $T_r$ , la ec.(7.10) queda

$$T_r = \frac{1}{1-p} = e^{\theta \tau^4}$$

Por lo que al obtener el logaritmo natural en ambos miembros y haciendo cambio de variable, se tiene

$$\ln T_r = \theta \tau^4$$

$$z = \theta \tau^4$$

por lo que la suma de los errores es

$$s = \sum (\theta \tau_i^4 - z_i)^2$$

$$\frac{\partial s}{\partial \theta} = 2 \sum (\theta \tau_i^4 - z_i) \tau_i^4 = 0$$

$$\theta = \frac{\sum z_i \tau_i^4}{\sum \tau_i^4}$$

El coeficiente de correlación lineal es

$$r = \sqrt{\frac{\sum (z_{osl} - \bar{z})^2}{\sum (z_i - \bar{z})^2}}$$

En la tabla 7.6, se anotan los valores y sumas de interés utilizados para estimar el valor del coeficiente de correlación  $r$ , para el caso del registro en estudio, de esta manera se encontró que

$$\theta = 0.1145$$

y el coeficiente de correlación fue

$$r = 0.992308$$

b) Ajuste por momentos

En este caso se tiene de acuerdo a la ec. (5.38) que

$$\theta = 0.675$$

Se estima que los periodos del registro si siguen la distribución de probabilidad propuesta (Fig. 7.6).

Sabiendo que los periodos se ajustan a una distribución Rayleigh,

Tabla 7.8 Cálculo por mínimos cuadrados del parámetro  $\theta$ 

| $i$ | $T_i$   | $T_i$  | $Z_i$  | $T_i^2 Z_i$ | $T_i^4$ |
|-----|---------|--------|--------|-------------|---------|
| 1   | 97.0000 | 0.7529 | 4.5747 | 1.4703      | 0.1033  |
| 2   | 97.0000 | 0.7529 | 4.5747 | 1.4703      | 0.1033  |
| 3   | 32.3333 | 0.7059 | 3.4761 | 0.8630      | 0.0616  |
| 4   | 32.3333 | 0.7059 | 3.4761 | 0.8630      | 0.0616  |
| 5   | 32.3333 | 0.7059 | 3.4761 | 0.8630      | 0.0616  |
| 6   | 32.3333 | 0.7059 | 3.4761 | 0.8630      | 0.0616  |
| 7   | 32.3333 | 0.7059 | 3.4761 | 0.8630      | 0.0616  |
| 8   | 32.3333 | 0.7059 | 3.4761 | 0.8630      | 0.0616  |
| 9   | 10.7778 | 0.6588 | 2.3775 | 0.4479      | 0.0355  |
| 10  | 10.7778 | 0.6588 | 2.3775 | 0.4479      | 0.0355  |
| 11  | 8.8182  | 0.6118 | 2.1768 | 0.3049      | 0.0196  |
| 12  | 8.8182  | 0.6118 | 2.1768 | 0.3049      | 0.0196  |
| 13  | 8.8182  | 0.6118 | 2.1768 | 0.3049      | 0.0196  |
| 14  | 8.8182  | 0.6118 | 2.1768 | 0.3049      | 0.0196  |
| 15  | 8.8182  | 0.6118 | 2.1768 | 0.3049      | 0.0196  |
| 16  | 8.8182  | 0.6118 | 2.1768 | 0.3049      | 0.0196  |
| 17  | 5.7059  | 0.5647 | 1.7415 | 0.1771      | 0.0103  |
| 18  | 5.7059  | 0.5647 | 1.7415 | 0.1771      | 0.0103  |
| 19  | 5.7059  | 0.5647 | 1.7415 | 0.1771      | 0.0103  |
| 20  | 5.7059  | 0.5647 | 1.7415 | 0.1771      | 0.0103  |
| 21  | 5.7059  | 0.5647 | 1.7415 | 0.1771      | 0.0103  |
| 22  | 5.7059  | 0.5647 | 1.7415 | 0.1771      | 0.0103  |
| 23  | 5.7059  | 0.5647 | 1.7415 | 0.1771      | 0.0103  |
| 24  | 5.7059  | 0.5647 | 1.7415 | 0.1771      | 0.0103  |
| 25  | 5.7059  | 0.5647 | 1.7415 | 0.1771      | 0.0103  |
| 26  | 5.7059  | 0.5647 | 1.7415 | 0.1771      | 0.0103  |
| 27  | 5.7059  | 0.5647 | 1.7415 | 0.1771      | 0.0103  |
| 28  | 5.7059  | 0.5647 | 1.7415 | 0.1771      | 0.0103  |
| 29  | 3.3448  | 0.5176 | 1.2074 | 0.0867      | 0.0052  |
| 30  | 3.3448  | 0.5176 | 1.2074 | 0.0867      | 0.0052  |
| 31  | 3.3448  | 0.5176 | 1.2074 | 0.0867      | 0.0052  |
| 32  | 3.3448  | 0.5176 | 1.2074 | 0.0867      | 0.0052  |
| 33  | 3.3448  | 0.5176 | 1.2074 | 0.0867      | 0.0052  |
| 34  | 3.3448  | 0.5176 | 1.2074 | 0.0867      | 0.0052  |
| 35  | 3.3448  | 0.5176 | 1.2074 | 0.0867      | 0.0052  |
| 36  | 3.3448  | 0.5176 | 1.2074 | 0.0867      | 0.0052  |
| 37  | 3.3448  | 0.5176 | 1.2074 | 0.0867      | 0.0052  |
| 38  | 3.3448  | 0.5176 | 1.2074 | 0.0867      | 0.0052  |
| 39  | 3.3448  | 0.5176 | 1.2074 | 0.0867      | 0.0052  |
| 40  | 3.3448  | 0.5176 | 1.2074 | 0.0867      | 0.0052  |
| 41  | 3.3448  | 0.5176 | 1.2074 | 0.0867      | 0.0052  |
| 42  | 3.3448  | 0.5176 | 1.2074 | 0.0867      | 0.0052  |
| 43  | 3.3448  | 0.5176 | 1.2074 | 0.0867      | 0.0052  |
| 44  | 3.3448  | 0.5176 | 1.2074 | 0.0867      | 0.0052  |
| 45  | 3.3448  | 0.5176 | 1.2074 | 0.0867      | 0.0052  |
| 46  | 3.3448  | 0.5176 | 1.2074 | 0.0867      | 0.0052  |
| 47  | 3.3448  | 0.5176 | 1.2074 | 0.0867      | 0.0052  |
| 48  | 2.0208  | 0.4706 | 0.7035 | 0.0345      | 0.0024  |
| 49  | 2.0208  | 0.4706 | 0.7035 | 0.0345      | 0.0024  |
| 50  | 2.0208  | 0.4706 | 0.7035 | 0.0345      | 0.0024  |
| 51  | 2.0208  | 0.4706 | 0.7035 | 0.0345      | 0.0024  |
| 52  | 2.0208  | 0.4706 | 0.7035 | 0.0345      | 0.0024  |

|    |        |        |        |        |        |
|----|--------|--------|--------|--------|--------|
| 53 | 2.0208 | 0.4706 | 0.7035 | 0.0345 | 0.0024 |
| 54 | 2.0208 | 0.4706 | 0.7035 | 0.0345 | 0.0024 |
| 55 | 2.0208 | 0.4706 | 0.7035 | 0.0345 | 0.0024 |
| 56 | 2.0208 | 0.4706 | 0.7035 | 0.0345 | 0.0024 |
| 57 | 2.0208 | 0.4706 | 0.7035 | 0.0345 | 0.0024 |
| 58 | 2.0208 | 0.4706 | 0.7035 | 0.0345 | 0.0024 |
| 59 | 2.0208 | 0.4706 | 0.7035 | 0.0345 | 0.0024 |
| 60 | 2.0208 | 0.4706 | 0.7035 | 0.0345 | 0.0024 |
| 61 | 2.0208 | 0.4706 | 0.7035 | 0.0345 | 0.0024 |
| 62 | 2.0208 | 0.4706 | 0.7035 | 0.0345 | 0.0024 |
| 63 | 2.0208 | 0.4706 | 0.7035 | 0.0345 | 0.0024 |
| 64 | 2.0208 | 0.4706 | 0.7035 | 0.0345 | 0.0024 |
| 65 | 2.0208 | 0.4706 | 0.7035 | 0.0345 | 0.0024 |
| 66 | 2.0208 | 0.4706 | 0.7035 | 0.0345 | 0.0024 |
| 67 | 2.0208 | 0.4706 | 0.7035 | 0.0345 | 0.0024 |
| 68 | 1.4265 | 0.4235 | 0.3552 | 0.0114 | 0.0010 |
| 69 | 1.4265 | 0.4235 | 0.3552 | 0.0114 | 0.0010 |
| 70 | 1.4265 | 0.4235 | 0.3552 | 0.0114 | 0.0010 |
| 71 | 1.4265 | 0.4235 | 0.3552 | 0.0114 | 0.0010 |
| 72 | 1.4265 | 0.4235 | 0.3552 | 0.0114 | 0.0010 |
| 73 | 1.4265 | 0.4235 | 0.3552 | 0.0114 | 0.0010 |
| 74 | 1.4265 | 0.4235 | 0.3552 | 0.0114 | 0.0010 |
| 75 | 1.4265 | 0.4235 | 0.3552 | 0.0114 | 0.0010 |
| 76 | 1.4265 | 0.4235 | 0.3552 | 0.0114 | 0.0010 |
| 77 | 1.4265 | 0.4235 | 0.3552 | 0.0114 | 0.0010 |
| 78 | 1.4265 | 0.4235 | 0.3552 | 0.0114 | 0.0010 |
| 79 | 1.4265 | 0.4235 | 0.3552 | 0.0114 | 0.0010 |
| 80 | 1.4265 | 0.4235 | 0.3552 | 0.0114 | 0.0010 |
| 81 | 1.4265 | 0.4235 | 0.3552 | 0.0114 | 0.0010 |
| 82 | 1.1829 | 0.3765 | 0.1680 | 0.0034 | 0.0004 |
| 83 | 1.1829 | 0.3765 | 0.1680 | 0.0034 | 0.0004 |
| 84 | 1.1829 | 0.3765 | 0.1680 | 0.0034 | 0.0004 |
| 85 | 1.1829 | 0.3765 | 0.1680 | 0.0034 | 0.0004 |
| 86 | 1.1829 | 0.3765 | 0.1680 | 0.0034 | 0.0004 |
| 87 | 1.1829 | 0.3765 | 0.1680 | 0.0034 | 0.0004 |
| 88 | 1.1829 | 0.3765 | 0.1680 | 0.0034 | 0.0004 |
| 89 | 1.1829 | 0.3765 | 0.1680 | 0.0034 | 0.0004 |
| 90 | 1.1829 | 0.3765 | 0.1680 | 0.0034 | 0.0004 |
| 91 | 1.1829 | 0.3765 | 0.1680 | 0.0034 | 0.0004 |
| 92 | 1.0543 | 0.3294 | 0.0529 | 0.0006 | 0.0001 |
| 93 | 1.0543 | 0.3294 | 0.0529 | 0.0006 | 0.0001 |
| 94 | 1.0543 | 0.3294 | 0.0529 | 0.0006 | 0.0001 |
| 95 | 1.0543 | 0.3294 | 0.0529 | 0.0006 | 0.0001 |
| 96 | 1.0104 | 0.2353 | 0.0103 | 0.0000 | 0.0000 |

Suma

15.5026      1.0544

$$\text{Theta} = 15.50261 / 1.054379 = 14.70308$$

$$\text{coeficiente de correlacion } r = .9923081$$



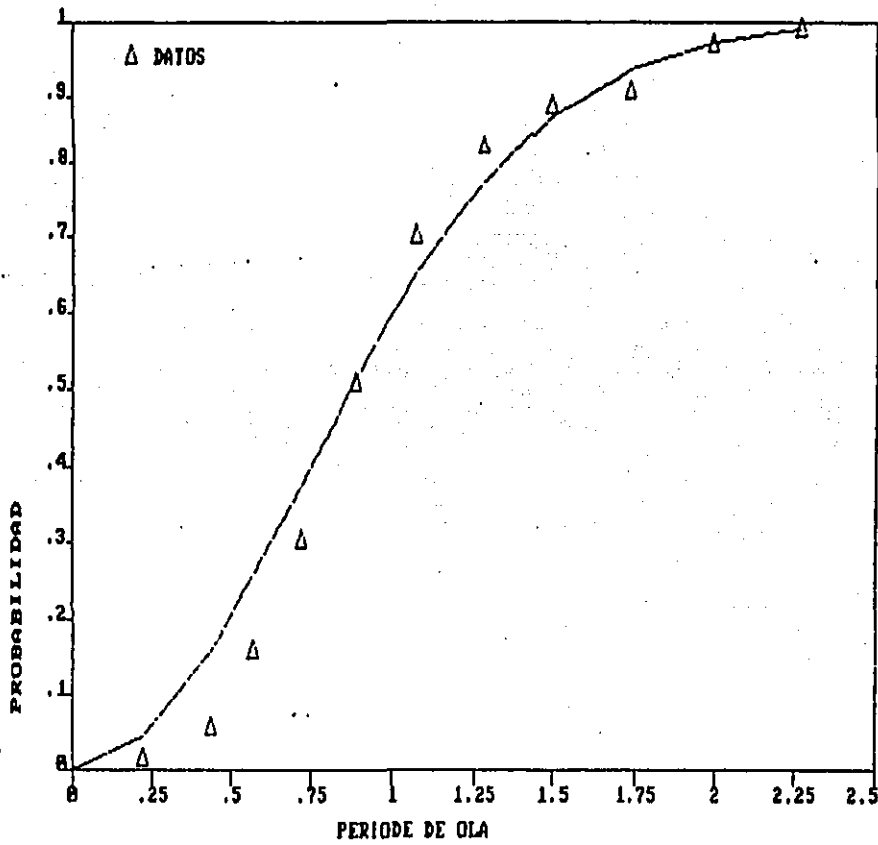


Fig. 7.6 Distribución de los periodos de ola

se procede a estimar algunos valores de los mismos.

#### 7.2.4 Valores estadísticos de los periodos de ola

I. Obtención de los valores estadísticos de los periodos de ola a partir de la función de distribución Rayleigh usual ( $\theta = 0.675$ )

a) Periodo promedio ( $\bar{T}$ )

$$\bar{T}_{1/n} = 1.1032 \bar{T} \sqrt[4]{\ln n} \quad (7.10)$$

de la ecuación anterior para  $n = 2$

$$\bar{T}_{1/2} = 1.1032 \bar{T} \sqrt[4]{\ln 2} = 5.302 \text{ seg}$$

b) Periodo modal o más frecuente ( $T_F$ )

$$T_F = 1.026 \bar{T} = 1.026 (5.302) = 5.44 \text{ seg}$$

c) Periodo significante ( $T_{1/3}$ )

No se define a partir de la función de distribución de probabilidad.

d) Periodo ( $T_{1/3}$ ) (no es el significante)

De la ec. (7.10) para  $n = 3$

$$T_{1/3} = 1.1032 \bar{T} \sqrt[4]{\ln 3} = 1.1294 \bar{T} = 1.1294 (5.302) = 5.99 \text{ seg}$$

e) Periodo ( $\bar{T}_{1/10}$ )

de ec. (7.10) para  $n = 10$

$$\bar{T}_{1/10} = 1.1032 \bar{T} \sqrt[4]{\ln 10} = 1.359 \bar{T} = 1.359 (5.302) = 7.20 \text{ seg}$$

II. Obtención de los valores estadísticos de los periodos de ola a partir de la distribución de probabilidad ajustada por mínimos cuadrados.

En este ejercicio resultó que  $\theta = 0.9189$

a) Periodo promedio ( $T$ )

de la ec. 7.10, para  $n = 2$

$$T_{1/2} = \frac{1}{\sqrt[4]{\theta}} \bar{T} \sqrt[4]{\ln 2} = \frac{1}{\sqrt[4]{0.9189}} (5.302) \sqrt[4]{\ln 2} = 4.45 \text{ seg}$$

b) Periodo más frecuente ( $T_F$ )

$$T_F = \frac{1}{\sqrt[4]{\theta}} \bar{T} (0.9306) = \frac{1}{\sqrt[4]{0.9189}} (5.302) (0.9306) = 5.05 \text{ seg}$$

c) Periodo significativo ( $T_{1/3}$ )

No se define a partir de la función de distribución de probabilidad

d) Periodo ( $T_{1/3}$ ) (no es el significativo)

De la ec. (7.10), para  $n = 3$

$$T_{1/3} = \frac{1}{\sqrt[4]{\theta}} \bar{T} \sqrt[4]{\ln 3} = \frac{1}{\sqrt[4]{0.9189}} (5.302) \sqrt[4]{\ln 3} = 5.56 \text{ seg}$$

e) Periodo ( $T_{1/10}$ )

De la ec. (7.10), para  $n = 10$

$$T_{1/10} = \frac{1}{\sqrt[4]{\theta}} \bar{T} \sqrt[4]{\ln 10} = \frac{1}{\sqrt[4]{0.9189}} (5.302) \sqrt[4]{\ln 10} = 6.69 \text{ seg}$$

III. Obtención de los valores estadísticos de los periodos de ola a partir del conjunto de periodos obtenidos del registro

a) Periodo promedio ( $\bar{T}$ )

$$\bar{T} = \frac{\sum T}{N} = \frac{509}{96} = 5.302 \text{ seg}$$

b) Periodo modal o más frecuente ( $T_m$ )

El periodo que más se presentó fue el de 5 seg., apareciendo en 19 olas, por ello el periodo modal es 5 seg.

c) Periodo significativo ( $\bar{T}_{1/3}$ )

El promedio de periodos del tercio de las olas con mayor altura del grupo de 96 es

$$\begin{aligned} \bar{T}_{1/3} &= \frac{1}{32} \left[ 10 (5) + 12 (5.5) + 6 (6) + 2 (6.5) + 7 + 8 \right] \\ &= 5.625 \text{ seg} \end{aligned}$$

d) Periodo ( $T_{1/3}$ ) (no es el significativo)

El periodo tal que se supera o iguala en 32 ocasiones es

$$T_{1/3} = 6.5 \text{ seg}$$

e) Periodo ( $T_{1/10}$ )

El periodo que se supera o iguala en 10 ocasiones es

$$T_{1/10} = 7 \text{ seg}$$

IV. Obtención de los valores estadísticos de los periodos de ola a partir del espectro

Del espectro obtenido con varias funciones de densidad espectral.

a) Periodo promedio ( $\bar{T}$ )

$$\bar{T} = \sqrt{\frac{m_0}{m_2}} = \sqrt{\frac{2.0911(10^{-3})}{m_2}} = 5.20 \text{ seg}$$

b) Periodo más frecuente ( $T_p$ )

No se encuentra con el espectro

c) Periodo significativo ( $T_{1/3}$ )

$$T_s = \sqrt[4]{4/5} (0.0858) f_p^{-1} = 5.5 \text{ seg}$$

### 7.2.5 Parámetro ancho de banda espectral ( $\epsilon$ )

Del registro de elevaciones de superficie libre del mar, se tiene que

$$NMP = 98$$

$$NMN = 4$$

por lo que de la ec. (4.59)

$$r = \frac{1}{2} \left[ 1 - \frac{NMP - NMN}{NMP + NMN} \right] = \frac{1}{2} \left[ 1 - \frac{98 - 4}{98 + 4} \right] = 0.0392$$

$$\epsilon^2 = 1 - (1 - 2(0.0392))^2 = 0.1507$$

$$= 0.3882$$

Del espectro obtenido con varias funciones de densidad espectral

$$\epsilon = \left[ 1 - \frac{m_2}{m_0 m_4} \right]^{1/2} = \left[ 1 - \frac{(1.9448(10^{-5}))^2}{(2.0686(10^{-6}))(3.5038(10^{-7}))} \right] = 0.6915$$

se aprecia diferencia entre los dos métodos para obtener  $\epsilon$ .

## 7.3 Resumen

Se presenta en la tabla 7.7, el resumen de las características más representativas del registro de elevaciones de la superficie libre del mar del ejemplo. Ellas se calcularon mediante diferentes procedimientos.

Tabla 7.7 Resumen de resultados

|                         | valor obtenido a partir de |                           |                              |                              |
|-------------------------|----------------------------|---------------------------|------------------------------|------------------------------|
|                         | función Ray-<br>leig       | conjunto de<br>96 valores | espec. prom.<br>varias funs. | espec. prom.<br>varias frec. |
| $H_{rms}$               | 0.189                      | 0.1980                    | 0.182                        | 0.192                        |
| $m_0$                   | 0.004802                   | -                         | 0.004182                     | 0.00484                      |
| $\bar{H}$               | 0.173                      | 0.177                     | 0.162                        | 0.170                        |
| $\bar{H}_{1/3}$         | 0.277                      | 0.277                     | 0.258                        | 0.272                        |
| $H_{1/3}$               | 0.205                      | 0.207                     | 0.192                        | 0.202                        |
| $\bar{H}_{1/10}$        | 0.353                      | 0.328                     | 0.330                        | 0.347                        |
| $H_{1/10}$              | 0.160                      | 0.294                     | 0.278                        | 0.292                        |
| $\bar{H}_{1/50}$        | 0.433                      | 0.379                     | 0.404                        | 0.425                        |
| $H_{1/50}$              | 0.388                      | 0.367                     | 0.362                        | 0.381                        |
| $\bar{H}_{m\acute{a}x}$ | 0.335                      | 0.306                     | 0.312                        | 0.329                        |
| $H_{m\acute{a}x}$       | 0.357                      | 0.331                     | 0.333                        | 0.175                        |
| $\bar{T}$               | 5.3                        | 5.3                       | 5.3                          | 5.2                          |
| $T_F$                   | 5.4                        | 5.0                       |                              |                              |
| $\bar{T}_{1/3}$         |                            | 5.6                       | 5.5                          | 5.5                          |
| $T_{1/3}$               | 6.0                        | 6.5                       |                              |                              |
| $T_{1/10}$              | 7.2                        | 7.0                       | 7.2                          | 7.1                          |
| $e$                     |                            | 0.388                     | 0.687                        |                              |

Además de los cálculos presentados en la tabla 7.7, se realizó para el espectro obtenido de varias funciones de densidad espectral (4 para el caso del registro del ejemplo), un análisis en relación con los periodos, longitud y altura de ola y porcentajes de energía, observándose los resultados que se presentan en la tabla 7.8.

La mayor energía (80%) se concentra entre los periodos 7.5 a 4.0 seg, con longitudes y alturas de ola entre 55.5 a 23.5 m y 0.02 a 0.065 m respectivamente.

Lo mismo se realizó para el espectro obtenido del promedio de varias frecuencias, resultando que el 80% de la energía se concentra entre los periodos con 7.5 a 4.0 seg, y longitudes y alturas de ola de 57.0 a 22.0 m y 0.015 a 0.05 seg, respectivamente (ver tabla 7.9)

Se observa que en los dos espectros se presentan resultados similares.



Tabla 7.8 Relaciones entre la función de densidad espectral  
obtenida del promedio de varias funciones y algunas  
características (T, H, L y EP,%)

| f       | B(f)    | T         | L          | H       | EP(%)   |
|---------|---------|-----------|------------|---------|---------|
| 0.00000 | 0.00032 | 0.00000   | 0.00000    | 0.00000 | 0.00000 |
| 0.00781 | 0.00075 | 128.00000 | 1021.84300 | 0.00631 | 0.00238 |
| 0.01563 | 0.00031 | 64.00000  | 510.51360  | 0.00970 | 0.00563 |
| 0.02344 | 0.00053 | 42.66667  | 339.88860  | 0.00625 | 0.00233 |
| 0.03125 | 0.00067 | 32.00000  | 254.44010  | 0.00817 | 0.00399 |
| 0.03906 | 0.00018 | 25.60000  | 203.06250  | 0.00918 | 0.00504 |
| 0.04688 | 0.00011 | 21.33334  | 168.71930  | 0.00480 | 0.00138 |
| 0.05469 | 0.00027 | 18.28572  | 144.11040  | 0.00378 | 0.00085 |
| 0.06250 | 0.00012 | 16.00000  | 125.58540  | 0.00579 | 0.00201 |
| 0.07031 | 0.00017 | 14.22222  | 111.11600  | 0.00387 | 0.00089 |
| 0.07813 | 0.00007 | 12.80000  | 99.48534   | 0.00466 | 0.00130 |
| 0.08594 | 0.00013 | 11.63636  | 89.91974   | 0.00305 | 0.00055 |
| 0.09375 | 0.00023 | 10.66667  | 81.90254   | 0.00407 | 0.00099 |
| 0.10156 | 0.00053 | 9.84615   | 75.07611   | 0.00533 | 0.00170 |
| 0.10938 | 0.00167 | 9.14286   | 69.18596   | 0.00817 | 0.00399 |
| 0.11719 | 0.00128 | 8.53333   | 64.04438   | 0.01445 | 0.01247 |
| 0.12500 | 0.00475 | 8.00000   | 59.51190   | 0.01265 | 0.00957 |
| 0.13281 | 0.00594 | 7.52941   | 55.48005   | 0.02436 | 0.03549 |
| 0.14063 | 0.00278 | 7.11111   | 51.86659   | 0.02725 | 0.04439 |
| 0.14844 | 0.00534 | 6.73684   | 48.60535   | 0.01863 | 0.02075 |
| 0.15625 | 0.01475 | 6.40000   | 45.64389   | 0.02584 | 0.03992 |
| 0.16406 | 0.01279 | 6.09524   | 42.94049   | 0.04294 | 0.11021 |
| 0.17188 | 0.01699 | 5.81818   | 40.45940   | 0.03999 | 0.09558 |
| 0.17969 | 0.01234 | 5.56522   | 38.17320   | 0.04608 | 0.12695 |
| 0.18750 | 0.01049 | 5.33333   | 36.05803   | 0.03928 | 0.09222 |
| 0.19531 | 0.01204 | 5.12000   | 34.09366   | 0.03621 | 0.07839 |
| 0.20313 | 0.00235 | 4.92308   | 32.26517   | 0.03879 | 0.08995 |
| 0.21094 | 0.00639 | 4.74074   | 30.55707   | 0.01713 | 0.01754 |
| 0.21875 | 0.00464 | 4.57143   | 28.95923   | 0.02826 | 0.04776 |
| 0.22656 | 0.00446 | 4.41379   | 27.46032   | 0.02409 | 0.03469 |
| 0.23438 | 0.00175 | 4.26667   | 26.05320   | 0.02362 | 0.03336 |
| 0.24219 | 0.00321 | 4.12903   | 24.73011   | 0.01478 | 0.01306 |
| 0.25000 | 0.00072 | 4.00000   | 23.48450   | 0.02004 | 0.02401 |
| 0.25781 | 0.00101 | 3.87879   | 22.31219   | 0.00951 | 0.00540 |
| 0.26563 | 0.00071 | 3.76471   | 21.20783   | 0.01126 | 0.00758 |
| 0.27344 | 0.00067 | 3.65714   | 20.16664   | 0.00943 | 0.00532 |
| 0.28125 | 0.00021 | 3.55556   | 19.18684   | 0.00913 | 0.00498 |
| 0.28906 | 0.00038 | 3.45946   | 18.26365   | 0.00510 | 0.00155 |
| 0.29688 | 0.00027 | 3.36842   | 17.39411   | 0.00693 | 0.00287 |
| 0.30469 | 0.00012 | 3.28205   | 16.57642   | 0.00578 | 0.00199 |
| 0.31250 | 0.00020 | 3.20000   | 15.80640   | 0.00380 | 0.00086 |
| 0.32031 | 0.00016 | 3.12195   | 15.08287   | 0.00502 | 0.00150 |
| 0.32813 | 0.00017 | 3.04762   | 14.40166   | 0.00451 | 0.00121 |
| 0.33594 | 0.00009 | 2.97674   | 13.76157   | 0.00466 | 0.00130 |
| 0.34375 | 0.00006 | 2.90909   | 13.15962   | 0.00328 | 0.00064 |
| 0.35156 | 0.00004 | 2.84444   | 12.59403   | 0.00279 | 0.00046 |
| 0.35938 | 0.00003 | 2.78261   | 12.06128   | 0.00232 | 0.00032 |
| 0.36719 | 0.00005 | 2.72340   | 11.56059   | 0.00206 | 0.00025 |
| 0.37500 | 0.00003 | 2.66667   | 11.08857   | 0.00241 | 0.00035 |
| 0.38281 | 0.00002 | 2.61224   | 10.64396   | 0.00194 | 0.00023 |

Tabla 7.9 Relaciones entre la función de densidad espectral obtenida del promedio de varias frecuencias y algunas características (T,H, L y EP).

| f        | S(f)     | T          | L           | H        | EP(%)    |
|----------|----------|------------|-------------|----------|----------|
| 0.004883 | 0.001079 | 204.800000 | 1635.214000 | 0.008211 | 0.007265 |
| 0.012695 | 0.000827 | 78.769230  | 628.551800  | 0.007190 | 0.005571 |
| 0.020508 | 0.000375 | 48.761910  | 388.662900  | 0.004841 | 0.002526 |
| 0.028320 | 0.000962 | 35.310350  | 280.976500  | 0.007752 | 0.006476 |
| 0.036133 | 0.000228 | 27.675680  | 219.739400  | 0.003775 | 0.001536 |
| 0.043945 | 0.000630 | 22.755560  | 180.178400  | 0.006273 | 0.004240 |
| 0.051758 | 0.000219 | 19.320760  | 152.477500  | 0.003703 | 0.001478 |
| 0.059570 | 0.000190 | 16.786880  | 131.970800  | 0.003447 | 0.001280 |
| 0.067383 | 0.000241 | 14.840580  | 116.156300  | 0.009877 | 0.001620 |
| 0.075195 | 0.000193 | 13.298700  | 103.570200  | 0.003472 | 0.001299 |
| 0.083008 | 0.000020 | 12.047060  | 93.301970   | 0.001110 | 0.000133 |
| 0.090820 | 0.000104 | 11.010750  | 84.752540   | 0.002547 | 0.000699 |
| 0.098633 | 0.000116 | 10.138610  | 77.514280   | 0.002688 | 0.000779 |
| 0.106445 | 0.001013 | 9.394495   | 71.298130   | 0.007956 | 0.006821 |
| 0.114258 | 0.001283 | 8.752137   | 65.894920   | 0.008955 | 0.008641 |
| 0.122070 | 0.001293 | 8.192001   | 61.147890   | 0.008989 | 0.008707 |
| 0.129883 | 0.003668 | 7.699249   | 56.939030   | 0.015141 | 0.024703 |
| 0.137695 | 0.009776 | 7.262411   | 53.177160   | 0.024718 | 0.065838 |
| 0.145508 | 0.002075 | 6.872484   | 49.790760   | 0.011387 | 0.013972 |
| 0.153320 | 0.003921 | 6.522293   | 46.722630   | 0.015654 | 0.026407 |
| 0.161133 | 0.007928 | 6.206061   | 43.926250   | 0.022260 | 0.053396 |
| 0.168945 | 0.019320 | 5.919075   | 41.365300   | 0.034749 | 0.130118 |
| 0.176758 | 0.018091 | 5.657459   | 39.009360   | 0.033626 | 0.121842 |
| 0.184570 | 0.008349 | 5.417990   | 36.832220   | 0.022844 | 0.056232 |
| 0.192383 | 0.019707 | 5.197970   | 34.813620   | 0.035095 | 0.132724 |
| 0.200195 | 0.007118 | 4.995122   | 32.935650   | 0.021092 | 0.047940 |
| 0.208008 | 0.011039 | 4.807512   | 31.184050   | 0.026266 | 0.074346 |
| 0.215820 | 0.007184 | 4.633485   | 29.546280   | 0.021190 | 0.048385 |
| 0.223633 | 0.002472 | 4.471616   | 28.011620   | 0.012429 | 0.016646 |
| 0.231445 | 0.005286 | 4.320675   | 26.571110   | 0.018176 | 0.035598 |
| 0.239258 | 0.002439 | 4.179592   | 25.217030   | 0.012347 | 0.016426 |
| 0.247070 | 0.004300 | 4.047431   | 23.942810   | 0.016393 | 0.028958 |
| 0.254883 | 0.001632 | 3.923372   | 22.743690   | 0.010101 | 0.010994 |
| 0.262695 | 0.000762 | 3.806692   | 21.614290   | 0.006900 | 0.005130 |
| 0.270508 | 0.000796 | 3.696751   | 20.549860   | 0.007052 | 0.005359 |
| 0.278320 | 0.000687 | 3.592983   | 19.547410   | 0.006552 | 0.004625 |
| 0.286133 | 0.000595 | 3.494881   | 18.603370   | 0.006096 | 0.004004 |
| 0.293945 | 0.000365 | 3.401993   | 17.714150   | 0.004776 | 0.002458 |
| 0.301758 | 0.000469 | 3.313916   | 16.877390   | 0.005413 | 0.003158 |
| 0.309570 | 0.000057 | 3.230284   | 16.089490   | 0.001882 | 0.000382 |
| 0.317383 | 0.000147 | 3.150769   | 15.348680   | 0.003034 | 0.000992 |
| 0.325195 | 0.000352 | 3.075075   | 14.651970   | 0.004692 | 0.002372 |
| 0.333008 | 0.000163 | 3.002933   | 13.996980   | 0.003190 | 0.001097 |
| 0.340820 | 0.000195 | 2.934098   | 13.381330   | 0.003489 | 0.001312 |
| 0.348633 | 0.000063 | 2.868348   | 12.802030   | 0.001985 | 0.000425 |
| 0.356445 | 0.000050 | 2.805480   | 12.257300   | 0.001764 | 0.000335 |
| 0.364258 | 0.000027 | 2.745309   | 11.744750   | 0.001307 | 0.000184 |
| 0.372070 | 0.000047 | 2.687664   | 11.262000   | 0.001711 | 0.000315 |
| 0.379883 | 0.000032 | 2.632391   | 10.807860   | 0.001418 | 0.000217 |
| 0.387695 | 0.000020 | 2.579345   | 10.379340   | 0.001132 | 0.000138 |

## 8. CONCLUSIONES Y RECOMENDACIONES

Se presenta en este trabajo un desarrollo matemático del estudio espectral del oleaje fundamentado en el análisis de Fourier, el cual es un procedimiento para conocer las alturas y periodos de la ola. A partir de la función de densidad espectral del oleaje es posible obtener algunos valores característicos como son la altura y periodo significativo, las cuales son de interés en el diseño de estructuras marítimas. Esta técnica no es complicada, ya que para aplicarla basta con disponer de registros de la presión debida al oleaje en un lugar en estudio y seguir el procedimiento que se incluye en el desarrollo del ejemplo (capítulo 7).

Los aspectos más importantes que se toman en cuenta en el análisis espectral son:

- a) La obtención de la función de densidad espectral  $s(f)$ .
- b) El uso de la transformada discreta de Fourier por medio del algoritmo de la transformada rápida, ya que éste reduce y simplifica significativamente el tiempo de cálculo. Se

recomienda utilizar el procedimiento que se incluye en el cuadro 3.1, para lo cual se presenta un ejemplo donde se detalla su uso intentando lograr su comprensión.

- c) Es conveniente utilizar una función llamada "ventana" que resalte las componentes más importantes del oleaje y que distorsione lo menos posible los resultados al aplicar la transformada de Fourier. En este trabajo se empleó la función descrita por la ec. (4.19).
- d) La función de densidad espectral se debe estimar con base en los promedios de una o varias funciones como se propone en el capítulo 4. Los resultados obtenidos en el ejemplo de aplicación mostraron que es indistinto utilizar cualquiera de los dos procedimientos de promedios sugeridos, ya que se obtuvieron espectros similares. Sin embargo, se debe tener presente el estimar adecuadamente los parámetros que se mencionan en los incisos 4.5 y 4.6 ( $t$ ,  $T$ ,  $q$ ,  $B$ , etc.).
- e) Al comparar los resultados tanto del análisis estadístico como del espectral, se observa que son similares, es decir, existe una mínima diferencia entre los valores obtenidos con los dos procedimientos con la ventaja de que la aplicación del análisis espectral es más rápida, sobre todo cuando se utiliza una microcomputadora.
- f) Por último se remarca que el método del análisis espectral es útil en el estudio del oleaje de corta duración, y para

calcular las características de diseño se requiere del análisis de largo plazo. Esto se hace con base en el estudio de registro de varios años, estimándose para cada año su altura de ola <sup>#</sup>significante máxima, para que de acuerdo al tipo de estructura marítima se pueda definir la ola de diseño asociada a cierta probabilidad de ocurrencia.

## ANEXO A

La finalidad de esta sección, es mostrar el programa que se utilizó en el ejemplo, para ello se incluye el listado y los resultados de una corrida utilizando los datos del ejercicio que se presenta en el capítulo 3.

Programa de computador en lenguaje BASIC, empleado en la solución del ejemplo de aplicación.

```

10 REM *** OBTIENE EL ESPECTRO DE UN CONJUNTO DE DATOS ***
20 REM EL PROGRAMA SE LLAMA ESPECTRO
30 DIM A(2,128),B(2,128),L(1000)
40 PRINT "NUMERO DE DATOS, N";
50 READ N
55 PRINT "DT, EN SEG": READ DT
56 FM = 1 / (N ^ DT)
60 FOR I = 1 TO N
70 PRINT "A" I;
80 READ A(1,I)
90 B(1,I) = 0
100 NEXT I
104 DATA 8,1
105 DATA 3.6481,7.1018,0.2716,-3.1821,1.3520,1.5585,-5.2716,-5.4782
110 G = INT (LOG (N) ^ 1.443)
120 L1 = 1
130 X = 2 ^ 3.14159 / N
140 PRINT "DATOS POR TRANSFORMAR"
150 PRINT " "
180 PRINT " "
190 FOR I=1 TO N
200 PRINT I, A(1,I)
210 NEXT I
215 PRINT:PRINT:PRINT
220 S = N / (2 ^ L1)
230 L1 = L1 + 1
240 PRINT "ITERACION NO." L1
250 PRINT
252 PRINT"  K          f          Re(x(k))    Im(x(k))
253 PRINT
260 M = 1
270 E = G + 1 - L1
280 K1 = 0
290 K = M
300 GOSUB 1030
310 IF J > E THEN 340
320 P = 0

```

```

330 GOTO 460
340 J2 = J - E
350 FOR I = 1 TO J2
360 L(I) = L(I + E)
370 NEXT I
380 J2 = J2 + 1
390 FOR I = J2 TO J
400 L(I) = 0
410 NEXT I
420 P = 0
430 FOR I = 1 TO J
440 P = P + L(I) * 2 ^ (G - I)
450 NEXT I
460 X1 = X * P
470 C1 = COS (X1)
480 D1 = - 1 * SIN (X1)
490 M1 = M + S
500 A(2,M) = A(1,M) + C1 * A(1,M1) - D1 * B(1,M1)
510 B(2,M) = B(1,M) + C1 * B(1,M1) + D1 * A(1,M1)
520 K1 = K1 + 1
530 M = M + 1
540 IF K1 = S THEN 560
550 GOTO 490
560 K1 = 0
570 P = P + N / 2
580 X1 = X * P
590 C1 = COS (X1)
600 D1 = SIN (X1) * ( -1)
610 K = M - S
620 M1 = K + S
630 A(2,M1) = A(1,K) + C1 * A(1,M1) - D1 * B(1,M1)
640 B(2,M1) = B(1,K) + C1 * B(1,M1) + D1 * A(1,M1)
650 K1 = K1 + 1
660 M = M + 1
670 IF K1 = S THEN 690
680 GOTO 610
690 IF M > N THEN 710
700 GOTO 280
710 IF L1 > G THEN 770
720 FOR I = 1 TO N
730 B(1,I) = B(2,I)
740 A(1,I) = A(2,I)
750 NEXT I
752 FOR I=1 TO N
754 PRINT USING"###";I;:PRINT USING"#####.###";FM,A(1,I),B(1,I)
756 NEXT I
758 PRINT:PRINT:PRINT
760 GOTO 220
770 FOR M = 1 TO N
780 K = M
790 GOSUB 1030
800 P = 0
810 FOR I = 1 TO J
820 P = P + L(I) * 2 ^ (G - I)
830 NEXT I
840 P = P + 1
850 A(1,P) = A(2,M)
860 B(1,P) = B(2,M)

```

Para ejecutar el programa, los datos se proporcionan por medio de la instrucción DATA. Por ejemplo si escogemos los 8 primeros valores de la función coseno del ejercicio del capítulo 3 y corremos el programa, se tienen los siguientes resultados.

## DATOS POR TRANSFORMAR

|   |         |
|---|---------|
| 1 | 3.6481  |
| 2 | 7.1018  |
| 3 | .2716   |
| 4 | -3.1821 |
| 5 | 1.352   |
| 6 | 1.5585  |
| 7 | -5.2716 |
| 8 | -5.4782 |

Resultados correspondientes a la primer etapa o columna 1 del cuadro

3.1.

| K | Re(x(k)) | Im(x(k)) |
|---|----------|----------|
| 1 | 5.0001   | 0.0000   |
| 2 | 8.6603   | 0.0000   |
| 3 | -5.0000  | 0.0000   |
| 4 | -8.6603  | 0.0000   |
| 5 | 2.2961   | -0.0000  |
| 6 | 5.5433   | -0.0000  |
| 7 | 5.5432   | 0.0000   |
| 8 | 2.2961   | 0.0000   |

Resultados correspondientes a la segunda etapa o columna 2 del cuadro

3.1.

| K | Re(x(k)) | Im(x(k)) |
|---|----------|----------|
| 1 | 0.0001   | 0.0000   |
| 2 | 0.0000   | 0.0000   |
| 3 | 10.0001  | 0.0000   |
| 4 | 17.3206  | 0.0000   |
| 5 | 2.2961   | -5.5432  |
| 6 | 5.5433   | -2.2961  |
| 7 | 2.2961   | 5.5432   |
| 8 | 5.5433   | 2.2961   |



Resultados correspondientes a la tercer etapa o columna 3 del cuadro 3.1

| K. | Re(x(k)) | Im(x(k)) |
|----|----------|----------|
| 1  | 0.0001   | 0.0000   |
| 2  | 0.0001   | 0.0000   |
| 3  | 10.0001  | -17.3206 |
| 4  | 10.0000  | 17.3206  |
| 5  | 4.5922   | -11.0865 |
| 6  | -0.0000  | 0.0001   |
| 7  | -0.0000  | -0.0001  |
| 8  | 4.5921   | 11.0865  |

| k | f      | Re(x(k)) | Im(x(k)) | S(k)    | a(k)   | O(k)    |
|---|--------|----------|----------|---------|--------|---------|
| 0 | 0.0000 | 0.0001   | 0.0000   | 0.0000  |        |         |
| 1 | 0.1250 | 4.5922   | -11.0865 | 17.9999 | 3.0000 | 0.3927  |
| 2 | 0.2500 | 10.0001  | -17.3206 | 50.0007 | 5.0000 | 0.5236  |
| 3 | 0.3750 | -0.0000  | -0.0001  | 0.0000  | 0.0000 | 0.0000  |
| 4 | 0.5000 | 0.0001   | 0.0000   | 0.0000  | 0.0000 | 0.0000  |
| 5 | 0.6250 | -0.0000  | 0.0001   | 0.0000  | 0.0000 | 0.0000  |
| 6 | 0.7500 | 10.0000  | 17.3206  | 50.0005 | 5.0000 | -0.5236 |
| 7 | 0.8750 | 4.5921   | 11.0865  | 17.9997 | 3.0000 | -0.3927 |
| 8 | 1.0000 | 0.0000   | 0.0000   | 0.0000  | 0.0000 | 0.0000  |

Las columnas 2 y 4 de los resultados anteriores corresponden al paso 10 del cuadro 3.1; donde  $s(k)$ , es la función densidad espectral obtenida con la ec. 4.11,  $a(k)$  es la amplitud de la ola estimada como  $a(k) = (2 * s(k) \Delta f)^{1/2}$  y  $O(k)$  es el ángulo de fase calculado de  $O(k) = \text{ang tan} (Im / Re)$ .

Notese que los resultados son los mismos que los obtenidos manualmente (ver ejercicio del capítulo 3).

## O NOTACION.

|                  |  |
|------------------|--|
| $a_n$            |  |
| $b_n$            | Coefficientes de Fourier.  |
| $c_n$            |  |
| $a$              | Amplitud de ola, otros.  |
| $C_{xy}, C_{yx}$ | Covariancia.   |
| $C_{xx}, C_{yy}$ | Autocovariancia.   |
| $d$              | Parámetro de la función de densidad de probabilidad normal, profundidad respecto al nivel de aguas tranquilas. |
| $B_o$            | Ancho de frecuencia, intervalo de frecuencia.  |
| $A_o$            | Area total bajo el espectro.   |
| $E\{ \}$         | Esperanza matemática de $\{ \}$ .  |
| $f( )$           | Función de la variable $( )$ .   |
| $F(z)$           | Función de probabilidad normal estandarizada   |
| $f$              | Frecuencia ciclica.  |
| $F(f)$           | Tranfrmada de Fourier de $f(t)$ .  |
| $F(fk)$          | Transformada discreta de Fourier de $f(t)$ .   |
| $\approx$        |  |
| $F(f)$           | Conjugado complejo de $F(f)$ .   |
| $f_c$            | Frecuencia más grande de la componente de la tranformada de $f(t)$ , frecuencia de corte.                      |
| $f_m$            | Frecuencia más grande en el cálculo de $s(f)$ .  |
| $f_p$            | Frecuencia de pico.  |
| $\bar{f}$        | Frecuencia media.  |
| $H$              | Altura de ola.   |
| $H_{1/n}$        | Altura de ola con probabilidad $1/n$ de ser excedida.  |

|                  |   |
|------------------|---|
| $H_F$            | Altura de ola más frecuente.  |
| $\bar{H}_{1/3}$  | Altura de ola significativa.  |
| $h(t)$           | Función ventana.  |
| $K$              | Factor de respuesta de presión.   |
| $m$              | Parámetro de la función de densidad de distribución de probabilidad normal. |
| $MN$             | Máximo negativo.  |
| $MP$             | Máximo positivo.  |
| $mN$             | Mínimo negativo.  |
| $mP$             | Mínimo positivo.  |
| $m_n$            | Momento de orden $n$ .  |
| $N$              | Número de puntos discretizados.   |
| $NMP$            | Número de máximos positivos.  |
| $NMN$            | Número de máximos negativos.  |
| $NmP$            | Número de mínimos positivos.  |
| $NmN$            | Número de mínimos negativos.  |
| $NAT$            | Nivel de aguas tranquilas.  |
| $p(T)$           | Distribución de probabilidad de los periodos de ola.                        |
| $p(H)$           | Distribución de probabilidad de las alturas de ola.                         |
| $m_o$            | Area bajo el espectro.  |
| $p$              | Presión.  |
| $R_{xy}, R_{yx}$ | Función de correlación.   |
| $R_{xx}, R_{yy}$ | Función de autocorrelación.   |
| $r_{xx}$         | Coefficiente de autocorrelación.  |
| $r_{yx}$         | Coefficiente de correlación.  |
| $r$              | Proporción de máximos negativos.  |
| $s(f)$           | Función de densidad espectral de $f(t)$ .                                   |

|                |   |
|----------------|---|
| $s(f)$         | Función de densidad espectral de $f(t)$ con duración finita.            |
| $t$            | tiempo.   |
| $T$            | Periodo.  |
| $T_c$          | Tiempo más grande de la antitransformada de $F(f)$ .                    |
| $T_0$          | Intervalo de tiempo.  |
| $\bar{T}$      | Periodo medio.  |
| $T_{1/3}, T_0$ | Periodo significativa.  |
| $T_0$          | Periodo modal.  |
| $V_x$          | Variación.  |
| $x$            | Variable.   |
| $x(t)$         | Función en el tiempo.   |
| $y(t)$         | Función en el tiempo.   |
| $Y(f)$         | Transformada de Fourier de $y(t)$ .                                     |
| $\approx$      |   |
| $Y(f)$         | Conjugado complejo de $F(f)$ .  |
| $z$            | Número complejo.  |
| $z$            | Variable normal estandarizada.  |
| $\Gamma(\nu)$  | Función gamma de parámetro $\nu$ .                                      |
| $\delta(t)$    | Función impulso unitario.   |
| $\Delta( )$    | Incremento en ( ).  |
| $\eta$         | Ordenada del nivel de aguas tranquilas a la superficie de la ola.       |
| $H_x$          | Media de la variable aleatoria con distribución normal de probabilidad. |
| $H_x^2$        | Media poblacional.  |
| $\tau$         | Orden de la función de autocorrelación.                                 |
| $\epsilon_r$   | Error normal estandar.  |
| $\sigma_x^2$   | Media de la variable aleatoria con distribución                         |

normal de probabilidad.

- $\phi(f)$  Espectro de un lado.
- $\chi^2$  Variable aleatoria, (suma de los cuadrados de las variables independientes con distribución normal estandar).
- $\nu$  Número de variables aleatorias independientes.
- $\theta$  Estadístico de una muestra aleatoria.
- $\epsilon$  Parámetro ancho de banda espectral.

## REFERENCIAS

1. Bringham E. O., The Fast Fourier Transform, Prentice Hall, USA, 1974.
2. Carmona J. I., Ecuaciones Diferenciales, Alhambra Mexicana", México, 1985.
3. Demidovich B., Problemas y Ejercicios de Análisis Matemático, MIR, Moscú, 1987.
4. Fuentes M. O. A. y Sánchez B. J. L., "Compendio de Hidráulica Marítima", México, Instituto de Ingeniería, UNAM, 1985, Proy. 4314.
5. Fuentes M. O., "Diseño Optimo de Escolleras", Informe Interno del Instituto de Ingeniería, UNAM, Proy. 3328, 58 pp..
6. Horikawa K., Coastal Engineering, Halsted Pressbook.
7. Hsu Hwei P., Análisis de Fourier, Fondo Educativo Interamericano, USA, 1973.
8. Ippen A., Estuary and Coastline Hydrodynamic, Mc Graw Hill, Nueva York, 1966.
9. Kinsman. B., Wind Waves, Prentice-Hall, Englewood Cliffs, Nueva Jersey, USA, 1965.

10. Kaplan W., Cálculo Avanzado, CECSA, México, 1983.
11. Kreysig E., Matemáticas Avanzada para Ingeniería, Limusa, México, 1980.
12. Maza A. J. A., "Hidráulica Marítima", cap. A.2.13 del manual de CFE, México, 1983, 468 pp
13. Memorias. "VI Congreso Nacional de Hdráulica", Mérida, Yucatán, 1980.
14. Olivera S. y Zuñiga B., Serie de Probabilidad y estadística, Impos Editores, S.A., México, 1979.
15. Papoulis A., Signal Analysis, Mc Graw Hill, USA, 1977.
16. Silvester R., Coastal Engineering (Vol 1, 2), Elsevier scientific Publishing Co., Nueva York, 1974.
17. Sorensen R., Basic Coastal Engineering, John Wiley and Sons, Nueva York, 1978.
18. Spiegel M. R., Transformadas de Laplace, Serie Schaum, Mc Graw Hill, México, 1971.
19. Spiegel M. R., "Probabilidad y Estadística", Serie Schaum, Mc Graw Hill, México, 1975.

20. U.S. Army Coastal Engineering Research Center, Shore protection Manual. Vol. 1,2 y 3, USA, 1977.
21. Willie C. R., Matemáticas Superiores para Ingenieros, Mc Graw Hill, México, 1971.
22. Williams W. E., Series de Fourier y Problemas con Valores en la Frontera. Selección de Problemas Resueltos, Limusa.
23. Wiegel R. L., Oceanographical Engineering, Prentice-Hall, Englewood Cliffs, Nueva Jersey, USA, 1964.